

Trabajo de Fin de Grado

Grado en Ingeniería en Tecnologías Industriales

Análisis de sistemas del balance de planta en  
vehículos propulsados por pila de combustible de  
hidrógeno

Autor: Pelayo Delfín Capote

Tutor: José Alfredo Iranzo Paricio

Co-tutora: María del Carmen Pavón Moreno

**Dpto. de Ingeniería Energética**  
**Escuela Técnica Superior de Ingeniería**  
**Universidad de Sevilla**

Sevilla, 2021





Trabajo de Fin de Grado  
Grado en Ingeniería en Tecnologías Industriales

# **Análisis de sistemas del balance de planta en vehículos propulsados por pila de combustible de hidrógeno**

Autor:

Pelayo Delfín Capote

Tutor:

José Alfredo Iranzo Paricio

Co-tutora:

María del Carmen Pavón Moreno

Dpto. de de Ingeniería Energética  
Escuela Técnica Superior de Ingeniería  
Universidad de Sevilla  
Sevilla, 2021



Trabajo de Fin de Grado: Análisis de sistemas del balance de planta en vehículos propulsados por pila de combustible de hidrógeno

Autor: Pelayo Delfín Capote  
Tutor: José Alfredo Iranzo Paricio  
Co-tutora: María del Carmen Pavón Moreno

El tribunal nombrado para juzgar el Proyecto arriba indicado, compuesto por los siguientes miembros:

Presidente:

Vocales:

Secretario:

Acuerdan otorgarle la calificación de:

Sevilla, 2021

El Secretario del Tribunal



*A mi familia*  
*A mis amigos*



# Agradecimientos

---

Gracias a Alfredo Iranzo y a María del Carmen Pavón, mis tutores, por su tremenda dedicación, ayuda, amabilidad y disponibilidad.

Gracias a mis padres por haberme dado la oportunidad y por haber confiado siempre en mí. Gracias a mi familia por los constantes ánimos y muestras de apoyo.

Gracias a mis amigos de la escuela, a los que considero mi familia sevillana. Me voy de la escuela habiendo aprendido una gran variedad de materias, pero la más importante no la he aprendido en los libros, sino que esta carrera es de fondo y no se hace en solitario. Sin duda, sin ellos no hubiera sido posible.

*Pelayo Delfín Capote*

*Grado en Ingeniería en Tecnologías Industriales*

*Sevilla, 2021*



En primer lugar, en el presente trabajo se realiza una introducción acerca del papel clave que tiene el hidrógeno en el futuro como vector energético. Se pretende hacer un énfasis en la relevancia del hidrógeno verde y el aprovechamiento de las intermitencias de las energías renovables para su producción al igual que los diferentes métodos de producción sin emisiones contaminantes. Se estudian las dificultades actuales para poder implementar el hidrógeno a gran escala y también las previsiones en el uso de esta tecnología en el mundo del transporte.

En segundo lugar, se estudian los componentes que forman parte de una pila de combustible y del balance de planta. Por otro lado, al tratarse de una tecnología en desarrollo examinaremos las innovaciones de fabricantes que optimizan el balance de planta para su posterior aplicación. También se analiza el efecto de ciertas variables en la operación del sistema.

Por último, tomando como valores de referencia los determinados por el Joint Research Centre (JRC) de la Comisión Europea para aplicaciones en automoción se estudian los diferentes parámetros relevantes a través del desarrollo de un modelo para un stack de pila de combustible. Del mismo modo, se realiza un estudio paramétrico a través de un modelo desarrollado para el Balance de Planta (BoP) del sistema de propulsión de un vehículo, donde se realizará un estudio paramétrico para observar el efecto de variables de operación en las prestaciones finales del sistema.



In the first place, in this work an introduction is made about the key role that hydrogen has in the future as an energy vector. It is intended to emphasize the relevance of green hydrogen and the use of the intermitencies of renewable energies for its production as well as the different production methods without polluting emissions. The current difficulties to be able to implement hydrogen on a large scale and the forecasts in the use of this technology in the world of transport are studied.

Second, the components that are part of a fuel cell and the plant balance are studied. On the other hand, as it is a technology in development, we will examine the innovations of manufacturers that optimize the plant balance for its subsequent application. The effect of certain variables on the operation of the system is also analyzed.

Finally, taking as reference values those determined by the Joint Research Center (JRC) of the European Commission for automotive applications, the different relevant parameters are studied through the development of a model for a fuel cell stack. In the same way, a parametric study is carried out through a model developed for the Plant Balance (BoP) of the propulsion system of a vehicle, where a parametric study will be carried out to observe the effect of operating variables on the final performance of the vehicle. system.

# Índice

---

<b>Agradecimientos</b>	<b>ix</b>
<b>Resumen</b>	<b>xi</b>
<b>Abstract</b>	<b>xiii</b>
<b>Índice</b>	<b>xiv</b>
<b>Índice de Tablas</b>	<b>xvi</b>
<b>Índice de Figuras</b>	<b>xvii</b>
<b>Índice de Ecuaciones</b>	<b>xx</b>
<b>1 Introducción</b>	<b>1</b>
1.1 Problemática Energética	1
1.2 Interés del Hidrógeno como Vector Energético	4
1.3 Métodos de Producción de Hidrógeno	5
1.4 Almacenamiento, Transporte y Seguridad del Hidrógeno	12
1.5 Aplicaciones	13
1.6 Comparativa con vehículos eléctricos con batería y vehículos de combustión interna.	14
1.7 Motor de combustión interna alimentado con hidrógeno	17
<b>2 Pila de Combustible</b>	<b>15</b>
2.1 Introducción	15
2.2 Tipos	16
2.3 PEMFC	16
2.3.1 Curva de Polarización	18
<b>3 Balance de Planta</b>	<b>27</b>
3.1 Introducción	27
3.2 Sistema de suministro de aire	28
3.2.1 Efectos que provocan la variación de los parámetros de entrada	29
3.2.2 Humidificación	30
3.2.3 Compresor	32
3.3 Sistema de gestión de hidrógeno	33
3.3.1 Funcionamiento de Eyector	34
3.3.2 PEM como bomba de recirculación de hidrógeno	34
3.4 Sistema de gestión térmica	36
<b>4 Descripción del Modelo Matemático</b>	<b>38</b>
4.1 Pila de combustible	38

4.1.1	Ecuación de Nernst	38
4.1.2	Pérdidas	39
4.2	Compresor	41
4.3	Balance de materia	42
4.3.1	Entrada	43
4.3.2	Salida	45
4.4	Balance de energía	47
4.5	Rendimientos	48
<b>5</b>	<b>Modelo de Referencia</b>	<b>50</b>
5.1	Curvas de polarización y densidad de potencia	51
5.2	Curvas de potencia y calor disipado	52
5.3	Ventajas de la recirculación	53
<b>6</b>	<b>Estudio Paramétrico</b>	<b>55</b>
6.1	Ratio estequiométrico	55
6.1.1	Curva de polarización	55
6.1.2	Pérdidas	56
6.1.3	Influencia del consumo del turbocompresor en la curva de potencia	57
6.1.4	Rendimiento del sistema	58
6.1.5	Estudio en voltaje nominal	59
6.1.6	Estudio a potencia constante	60
6.2	Temperatura de operación del stack	62
6.2.1	Curva de polarización y pérdidas	62
6.2.2	Potencia y calor disipado	63
6.2.3	Estudio a voltaje nominal	63
6.2.4	Estudio a potencia constante	64
	<b>Conclusiones</b>	<b>66</b>
	<b>Referencias</b>	<b>68</b>
	<b>Glosario</b>	<b>71</b>
	<b>Anexo</b>	<b>72</b>

# ÍNDICE DE TABLAS

---

Tabla 1. Comparativa de las eficiencias ‘Well-to-Wheels’ y de producción, transporte y uso de la energía entre los FCEV, BEV y ICE. [19]	16
Tabla 2. Características de las pilas de combustible más utilizadas. [25]	16
Tabla 3. Variables de entrada del modelo del BoP.	38
Tabla 4. Valores de referencia de los parámetros de operación según el JRC de la Comisión Europea para aplicaciones en automoción [41].	50

# ÍNDICE DE FIGURAS

Figura 1. Evolución de las emisiones de $CO_2$ expresadas en Gigatoneladas durante el periodo entre 1990 y 2020. [3]	2
Figura 2. Evolución de las emisiones contaminantes de los diferentes tipos de transporte durante 2020 y 2030. [4]	2
Figura 3. Evolución del stock mundial de vehículos eléctricos en el mundo. [3]	3
Figura 4. Representación gráfica del porcentaje de utilización mundial de energías renovables. [5]	4
Figura 5. Emisiones globales de $CO_2$ en el transporte. [4]	4
Figura 6. Ciclo del carbono neutral. [3]	5
Figura 7. Esquema de los tipos de energía utilizados para los diferentes procesos de producción de hidrógeno. [6]	6
Figura 8. Esquema de la conversión de combustibles mediante reformado. [7]	7
Figura 9. Esquema del funcionamiento de los dos tipos de ciclos termoquímicos. [9]	8
Figura 10. Ubicación del reactor en concentradores solares. [9]	9
Figura 11. Esquema del funcionamiento de la electrolisis en una PEM. [11]	9
Figura 12. Esquema del funcionamiento de un electrolizador de alcalino líquido. [12]	10
Figura 13. Funcionamiento de una celda fotoelectroquímica. [14]	10
Figura 14. Diferentes tipos de configuración de sistemas fotoelectroquímicos. [9]	11
Figura 15. Depósito de almacenamiento de hidrógeno de un FCEV. [17]	12
Figura 16. Pronóstico del despliegue de los tres métodos principales de suministro de hidrógeno. [19]	13
Figura 17. Principales aplicaciones del hidrógeno. [20]	14
Figura 18. Esquema explicativo del papel del hidrógeno en la integración de las renovables y de la descarbonización del uso de la energía. [20]	14
Figura 19. Predicción del TCO de los FCEV, BEC, ICEV. [19]	15
Figura 20. Curvas de eficiencia vs autonomía y peso de batería vs autonomía [22].	15
Figura 21. Eficiencia Tank-to-Wheels de un FCEV. [19]	17
Figura 22. Motor de combustión interna alternativo propulsado con hidrógeno. [24]	18
Figura 23. Funcionamiento de una pila de combustible alimentada con hidrógeno. [19]	15
Figura 24. Esquema de los componentes y materiales de una MEA de una PEM. [26]	17
Figura 25. Reacciones que ocurren en el ánodo y cátodo de una PEM. [28]	17
Figura 26. Apilamiento de celdas formando un 'stack' [26]	18
Figura 27. Representación de la variación de las pérdidas de potencial con la densidad de corriente. [30]	18
Figura 28. Curva de polarización y densidad de potencia de una PEMFC [26]	19
Figura 29. Balance de planta de un vehículo propulsado por hidrógeno.	27
Figura 30. Balance de planta de un vehículo propulsado por pila de combustible de hidrógeno. [31]	28
Figura 31. Balance de planta del sistema de suministro de aire. [32]	29
Figura 32. Variación neta del volataje frente a la presión de operación para diferentes relaciones de exceso de aire [33].	29
Figura 33. Influencia de la presión de operación en el contenido de agua en el aire. [33]	30

Figura 34. Influencia de la humedad de la membrana sobre la resistencia específica de la membrana. [33]	30
Figura 35. Balance de ambos volúmenes de control en el humidificador con membrana.	31
Figura 36. Tipos de humidificación en PEMFC. [33]	31
Figura 37. Humidificación interna de Toyota Mirai mediante recirculación. [17]	32
Figura 38. Comparativa de compresores para FCEV.	32
Figura 39. Compresor centrífugo eléctrico con dos etapas de compresión.	33
Figura 40. Balance de planta del sistema de gestión de hidrógeno. [32]	34
Figura 41. Diagrama de flujos y partes de un eyector.	34
Figura 42. Funcionamiento de compresor electroquímico. [34]	35
Figura 43. Dos tipos de integración del compresor electroquímico en el stack. [34]	35
Figura 44. Balance de planta del sistema de gestión térmica. [32]	36
Figura 45. Balance de materia a la PEMFC. [39]	42
Figura 46. Diagrama esquemático del transporte de agua en la PEMFC. [40]	46
Figura 47. Diagrama representativo de los flujos energéticos de entrada y salida. [39]	47
Figura 51. Esquema del balance de planta utilizado para el estudio paramétrico.	51
Figura 48. Curvas de polarización, densidad de potencia del stack, densidad de potencia neta del sistema y densidad de potencia consumida por el turbocompresor.	52
Figura 49. Curvas de potencia producida por el stack, potencia neta del sistema, calor disipado por el stack y potencia consumida por el turbocompresor expresadas en Watios.	53
Figura 50. Curva comparativa del rendimiento del stack y del sistema con y sin recirculación.	54
Figura 52. Curva de polarización para diferentes valores del ratio estequiométrico del oxígeno.	56
Figura 53. Curva de las pérdidas para diferentes valores del ratio estequiométrico del oxígeno.	57
Figura 54. Curva de la potencia del stack para los valores del ratio estequiométrico del oxígeno.	57
Figura 55. Curvas de densidad de potencia neta y densidad de potencia consumida por el turbocompresor en función de la densidad de corriente para los diferentes valores del ratio estequiométrico del oxígeno.	58
Figura 56. Variación del rendimiento del sistema en función de la densidad de corriente para diferentes ratios estequiométricos del oxígeno.	59
Figura 57. Representación de la variación del calor disipado por el stack al circuito de refrigeración, potencia y potencia neta de la pila a 0,65 V en función del ratio estequiométrico	59
Figura 58. Gráfica del rendimiento de la pila y del sistema con y sin recirculación a 0,65 V en función del ratio estequiométrico.	60
Figura 59. Curva del rendimiento de la pila y del sistema con y sin recirculación para diferentes valores del ratio estequiométrico a una potencia constante de 90 kW.	61
Figura 60. Consumo de hidrógeno con y sin recirculación y ahorro de combustible para los diferentes ratios estequiométricos a potencia constante igual a 90 kW.	61
Figura 61. Curva de polarización y pérdidas óhmicas y por concentración para los diferentes valores de la temperatura del stack.	62
Figura 62. Curva de la potencia del stack y calor disipado para las tres diferentes temperaturas del stack.	63
Figura 63. Representación de la potencia del stack, sistema y calor disipado para las diferentes temperaturas a 0,65 V.	64
Figura 64. Curva del rendimiento del sistema con recirculación para las diferentes temperaturas de operación del stack.	64

Figura 65. Variaciones del rendimiento con y sin recirculación del sistema y del stack en función de los valores de la temperatura del stack. 65

# ÍNDICE DE ECUACIONES

---

Ecuación 1-1. Reacción endotérmica de vapor de agua y metano.	6
Ecuación 1-2. Formación de hidrógeno a través de óxido de carbono y vapor de agua.	6
Ecuación 1-3. Reacción de la combustión del metano.	7
Ecuación 1-4. Reacción global de la electrolisis.	11
Ecuación 1-5. Reacción catódica de la electrolisis.	11
Ecuación 2-1. Reacción global de una PEM alimentada con hidrógeno.	15
Ecuación 4-1. Voltaje de salida de una celda.	38
Ecuación 4-2. Voltaje a circuito abierto es sensiblemente inferior al voltaje de nernst.	38
Ecuación 4-3. Voltaje de salida del stack.	38
Ecuación 4-4. Ecuación de Nernst en función de la temperatura y presiones parciales del hidrógeno y oxígeno.	39
Ecuación 4-5. Expresión del modelo para las pérdidas por activación.	40
Ecuación 4-6. Ecuación del modelo para las pérdidas óhmicas.	40
Ecuación 4-7. Expresión del modelo para las pérdidas por concentración.	40
Ecuación 4-8. Potencia eléctrica generada por el stack.	41
Ecuación 4-9. Trabajo consumido por un turbocompresor.	41
Ecuación 4-10. Potencia consumida por un turbocompresor.	41
Ecuación 4-11. Potencia real consumida por un turbocompresor.	41
Ecuación 4-12. Relación de compresión.	41
Ecuación 4-13. Relación isentrópica.	42
Ecuación 4-14. Pérdidas parásitas.	42
Ecuación 4-15. Potencia neta suministrada por el sistema.	42
Ecuación 4-16. Balance de materia del hidrógeno en el ánodo.	43
Ecuación 4-17. Balance de materia del oxígeno en el cátodo.	43
Ecuación 4-18. Balance de materia global para una pila de combustible.	43
Ecuación 4-19. Caudal de hidrógeno a la entrada.	43
Ecuación 4-20. Caudal de oxígeno a la entrada.	43
Ecuación 4-21. Caudal de nitrógeno a la entrada.	43
Ecuación 4-22. Caudal de aire a la entrada.	43
Ecuación 4-23. Caudal de agua presente en el aire de entrada del cátodo	44
Ecuación 4-24. Caudal de agua presente en el hidrógeno a la entrada del ánodo.	44
Ecuación 4-25. Presión de saturación en función de la temperatura del cátodo o ánodo.	44
Ecuación 4-26. Humedad relativa.	44
Ecuación 4-27. Ley de Dalton.	44
Ecuación 4-28. Caudal generado de agua en el cátodo.	45
Ecuación 4-29. Caudal consumido de hidrógeno en el ánodo.	45

Ecuación 4-30. Caudal consumido de oxígeno en el cátodo.	45
Ecuación 4-31. Caudal de salida del hidrógeno.	45
Ecuación 4-32. Caudal de salida del oxígeno.	45
Ecuación 4-33. Balance del contenido de agua en el cátodo.	45
Ecuación 4-34. Caudal de vapor de agua a la salida del cátodo.	46
Ecuación 4-35. Relación entre caudal de agua debido al arrastre electroosmótico y caudal de agua debido a la difusión inversa.	46
Ecuación 4-36. Balance de agua en el ánodo.	46
Ecuación 4-37. Caudal de vapor de agua a la salida del ánodo.	47
Ecuación 4-38. Caudal de agua líquida a la salida del ánodo.	47
Ecuación 4-39. Balance de energía aplicado al stack.	47
Ecuación 4-40. Expresión general para el cálculo de la entalpía de los gases secos.	48
Ecuación 4-41. Entalpía del vapor de agua.	48
Ecuación 4-42. Entalpía del agua líquida	48
Ecuación 4-43. Entalpía del hidrógeno.	48
Ecuación 4-44. Poder calorífico superior para cero grados Celsius.	48
Ecuación 4-45. Rendimiento del stack.	48
Ecuación 4-46. Caudal consumido del tanque de alimentación.	48
Ecuación 4-47. Rendimiento del stack recirculando el hidrógeno.	49
Ecuación 4-48. Balance de materia en la recirculación.	49
Ecuación 4-49. Caudal de purga en la recirculación.	49
Ecuación 4-50. Rendimiento del sistema en función del rendimiento del stack y las pérdidas parásitas.	49
Ecuación 4-51. Rendimiento del sistema en función de la potencia neta del sistema y potencia del stack.	49

# 1 INTRODUCCIÓN

---

## 1.1 Problemática Energética

Resulta evidente que nuestro planeta va a ser incapaz de soportar nuestra demanda casi exponencial de energía, ya que vivimos en un entorno cerrado con recursos limitados. La época de la revolución industrial supuso un punto de inflexión, un cambio drástico, potenciando la producción y el transporte. El aprovechamiento de combustibles fósiles como recurso energético o ha supuesto un desarrollo en la tecnología. Este cambio ha tenido como consecuencia una tremenda explosión demográfica jamás vista antes por la especie humana. La naturaleza ha necesitado miles de millones de años en producir las reservas de combustibles fósiles que llevamos consumiendo durante los últimos siglos. Se prevé que a este ritmo se agoten como mucho en un par de siglos, lo que supone un plazo insignificante comparado con el tiempo que ha tardado en producirse [1]. Es por este mismo motivo y por la contaminación que provocan, que es necesario reducir las emisiones de  $CO_2$  y otros gases contaminantes responsables del efecto invernadero y por ende el cambio climático mediante alternativas en la producción y consumo de la energía. Durante décadas, los países responsables de estas emisiones han hecho esfuerzos para combatir esta amenaza. Comenzó en 1992, en Río de Janeiro, durante la Conferencia de las Naciones Unidas sobre el Medio Ambiente y el Desarrollo. Se creó la Convención Marco de Naciones Unidas sobre el Cambio Climático (CMNUCC). Fue el primer consenso internacional en abordar el problema del calentamiento global. Sin embargo, no fue hasta 1998 cuando se firmó el Protocolo de Kioto. Éste supuso el primer compromiso internacional para poner freno a las emisiones. Aunque fue firmado en marzo de 1998 no entró en vigor hasta el 16 de febrero de 2005. Actualmente, la legislación se rige mediante el acuerdo de París firmado por 196 países en 2015, que contiene los elementos necesarios para luchar contra la contaminación a partir de 2020, puesto que el periodo previo a 2020 se encuentra cubierto por el protocolo de Kioto (Enmienda de Doha) [2].

Las emisiones reflejan un crecimiento positivo y se prevé que continúe esta tendencia si no se actúa. Durante el periodo entre 1990 y 2020 podemos observar en la siguiente figura la evolución de emisiones de  $CO_2$  en gigatoneladas expulsadas a la atmósfera. La disminución sufrida en 2020 hace referencia al momento en el que el mundo y sobre todo el transporte sufrió una tremenda paralización debida a la pandemia global causada por el virus Covid-19. Este crecimiento en gran parte se debe al aumento de demanda global en la movilidad. Las necesidades y facilidades han promovido el uso del transporte, que representa el 25% de las emisiones de dióxido de carbono a la atmósfera. Por lo tanto, para poder cumplir con los objetivos de reducción de emisiones de  $CO_2$ , necesitamos implantar un nuevo escenario.

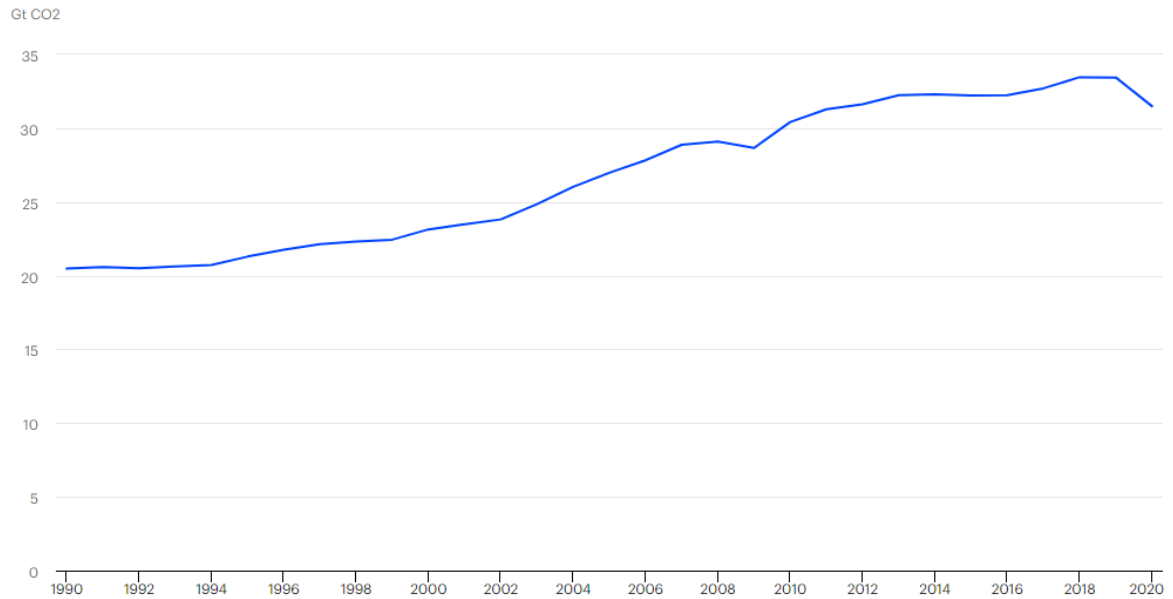


Figura 1. Evolución de las emisiones de  $CO_2$  expresadas en Gigatoneladas durante el periodo entre 1990 y 2020. [3]

En la siguiente figura, se observa el peso que tiene cada tipo de transporte y de cómo se prevé que evolucionen sus emisiones hasta el 2030.

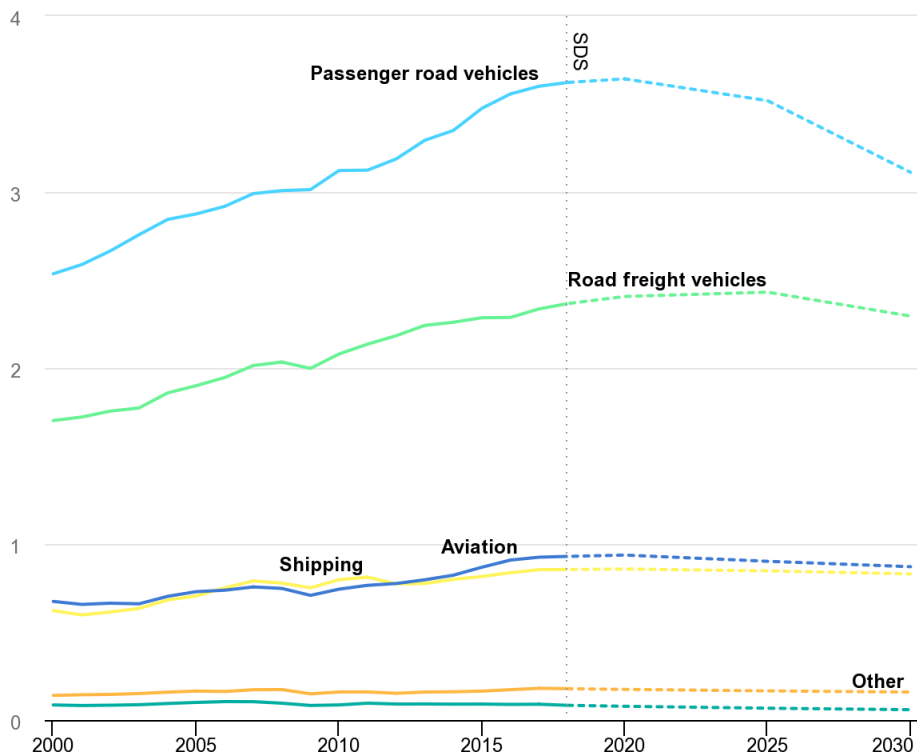


Figura 2. Evolución de las emisiones contaminantes de los diferentes tipos de transporte durante 2020 y 2030. [4]

Como podemos observar, tanto como los vehículos personales, es decir los passenger road vehicles, que incluyen a los coches, motos, autobuses y taxis como los road freight vehicles, que incluye a los camiones,

son los más emiten y también los que más incremento han experimentado. Entre ambos en 2018 representaron el 74.5%, concretamente 45,1% y 29,4% respectivamente. El sector del transporte, en particular de la automoción por lo tanto se enfrenta a un cambio necesario, puesto que se prevé que para 2070 incremente en un 60% la compra de vehículos personales y se duplique el uso del transporte global. [4]

Para paliar esta disyuntiva a lo largo de los años hemos experimentado un auge en la producción de los vehículos eléctricos, representado en la figura 3 y de energías renovables para producir esta electricidad, como vemos en la figura 4. Motivo por el cual vemos como decae la curva en la gráfica, sobre todo en los passenger road vehicles. De hecho, para 2070 se espera llegar a un escenario nulo de emisiones contaminantes por parte de la automoción, como podemos ver en la siguiente figura 5.

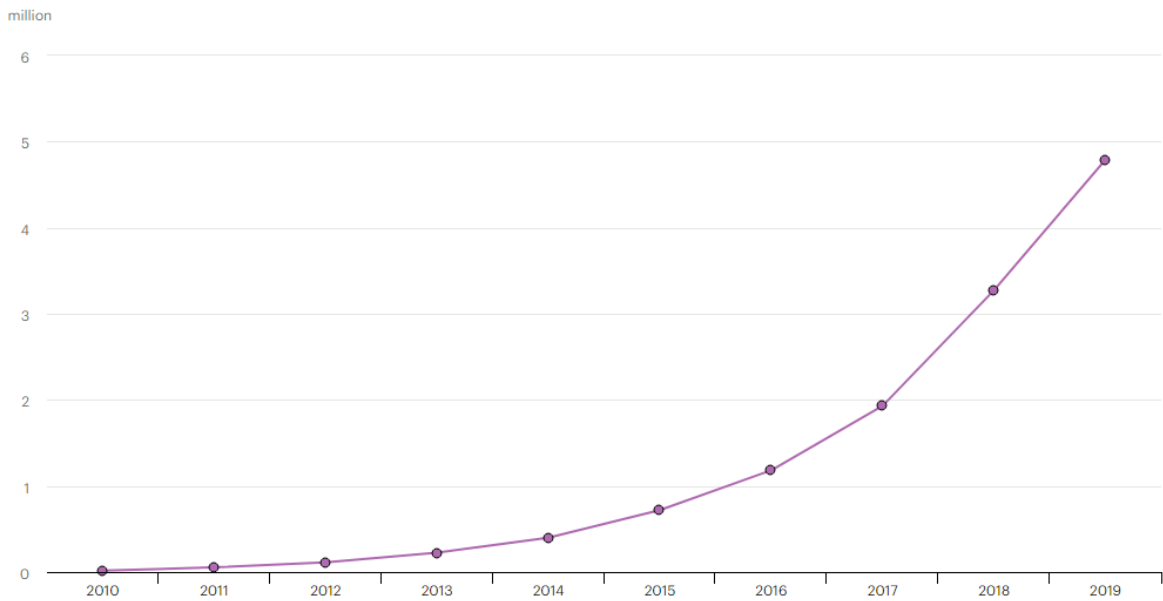


Figura 3. Evolución del stock mundial de vehículos eléctricos en el mundo. [3]

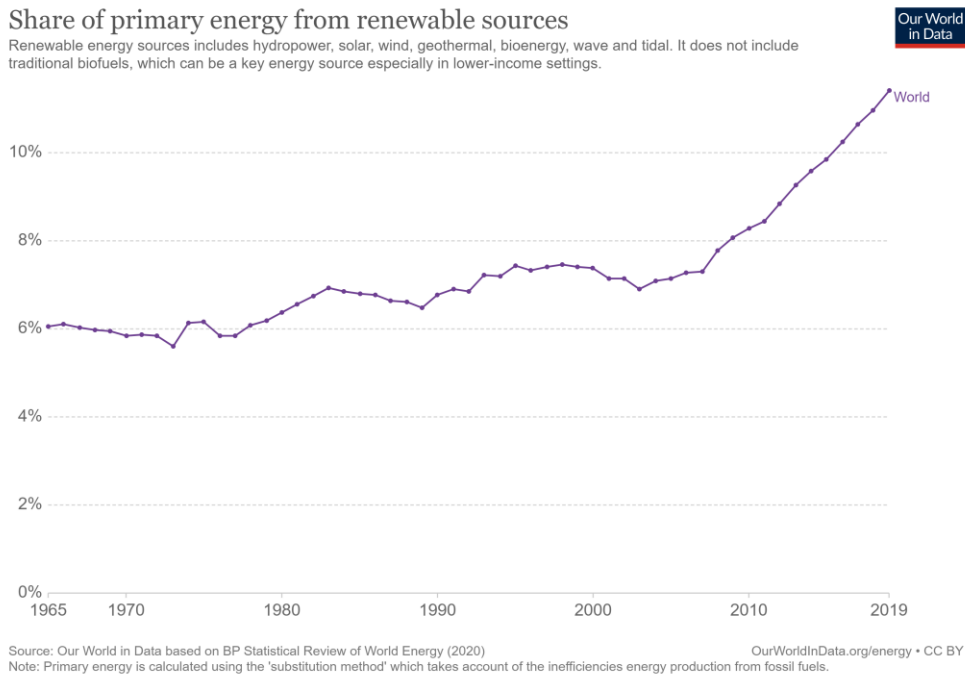


Figura 4. Representación gráfica del porcentaje de utilización mundial de energías renovables. [5]

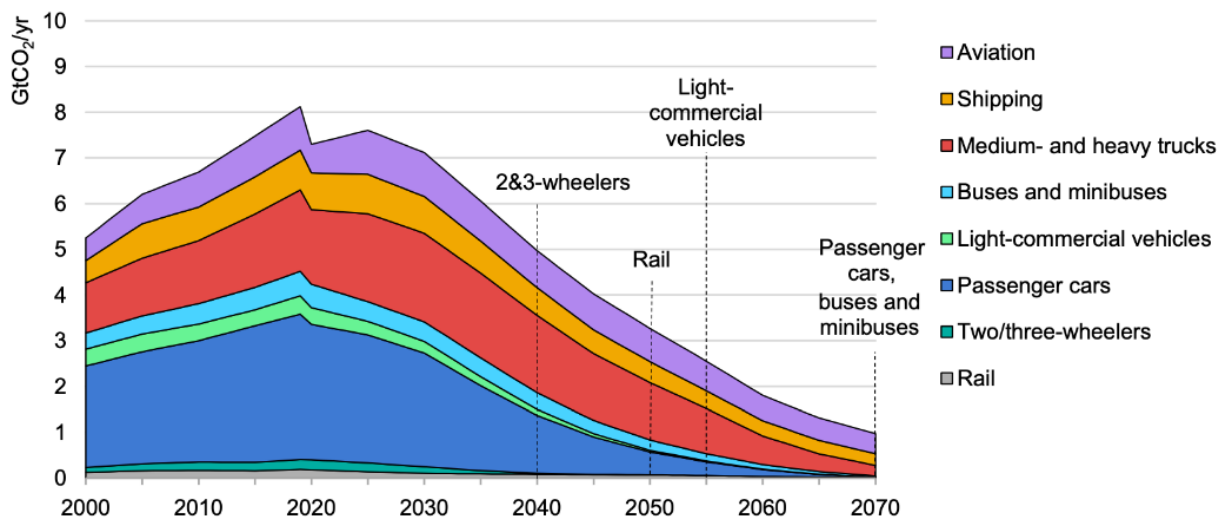


Figura 5. Emisiones globales de CO<sub>2</sub> en el transporte. [4]

Dentro de los vehículos propulsados por motores eléctricos, existen dos tipos en la actualidad. Uno almacena la energía eléctrica en unas baterías y otro la genera dentro del propio vehículo a través de una pila de combustible que utiliza hidrogeno como combustible. Éste último será objetivo en el trabajo y veremos más adelante cuales son sus ventajas e inconvenientes.

## 1.2 Interés del Hidrógeno como Vector Energético

El átomo de hidrógeno es el elemento químico más ligero que existe, está formado por un electrón y un protón y es estable en forma de molécula diatómica ( $H_2$ ). En condiciones normales se encuentra en estado gaseoso y es insípido, incoloro e inodoro. Aunque es el elemento más abundante del universo no está presente en estado puro en la Tierra. Se encuentra combinado con otros elementos como al carbono, formando compuestos orgánicos o al oxígeno, formando moléculas de agua. Se considera por lo tanto al hidrógeno como un vector energético y no como a una fuente de energía porque requiere un gasto de energía

para ser obtenido. Una de las ventajas más interesantes del hidrógeno como combustible es que el producto de la combustión es vapor de agua lo que significa que el impacto ambiental es nulo. Otra ventaja es su gran capacidad para liberar energía: un kilogramo de hidrógeno puede liberar casi el triple que la gasolina o el gas natural. Igualmente, otra característica sería su baja energía de activación que necesita para que comience la combustión. Aunque de igual modo puede ser un problema porque será más sencillo que se produzcan reacciones indeseadas. Conforme a estos argumentos, no hay duda de la importancia que debe desempeñar el hidrógeno en los esquemas energéticos de los países desarrollados en una escala temporal de medio y largo plazo. La producción de hidrógeno a gran escala no solo reducirá las emisiones contaminantes cuando se incorpore tanto en automoción como en aplicaciones estacionarias, acercándonos cada vez más a la descarbonización, sino que también aliviará la fuerte dependencia con el petróleo. [6]

Aparte de ser un vector energético el hidrógeno puede actuar como materia prima para la producción de hidrocarburos sintéticos mediante la reducción de dióxido de carbono. Daría lugar a un escenario de cero emisiones contaminantes debido a la captura de  $CO_2$ . Este sería el paso más desafiante, porque por lo demás la ventaja de esta opción es que no habría que cambiar los canales de distribución ni las costumbres de los usuarios.

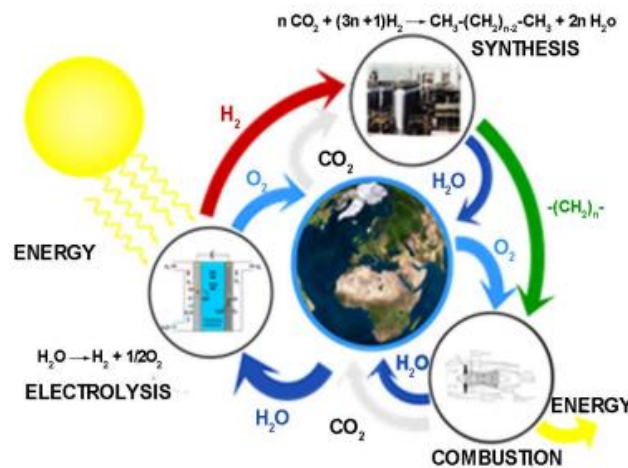


Figura 6. Ciclo del carbono neutral. [3]

### 1.3 Métodos de Producción de Hidrógeno

Como hemos comentado anteriormente, el hidrogeno no se encuentra de forma natural como  $H_2$ . Es necesario realizar ciertas transformaciones químicas, térmicas o electroquímicas para obtenerlo a partir de compuestos abundantes en la tierra como son los hidrocarburos o el agua. Esto genera una serie de costes asociados que encarecen y dificultan su producción. El desarrollo de estas tecnologías y su consecuente aumento en su eficiencia ayudará a disminuir los costes de producción y por lo tanto de venta. Esto será determinante en el futuro del combustible. Por ello estudiaremos estos métodos, siendo el más prometedor la electrólisis del agua. En la siguiente figura se representa de manera esquemática los diferentes tipos de energía como son la renovable, nuclear y a partir de combustibles fósiles que se utilizan para los tres procesos más utilizados. Sin embargo, existen más procesos que veremos a continuación.

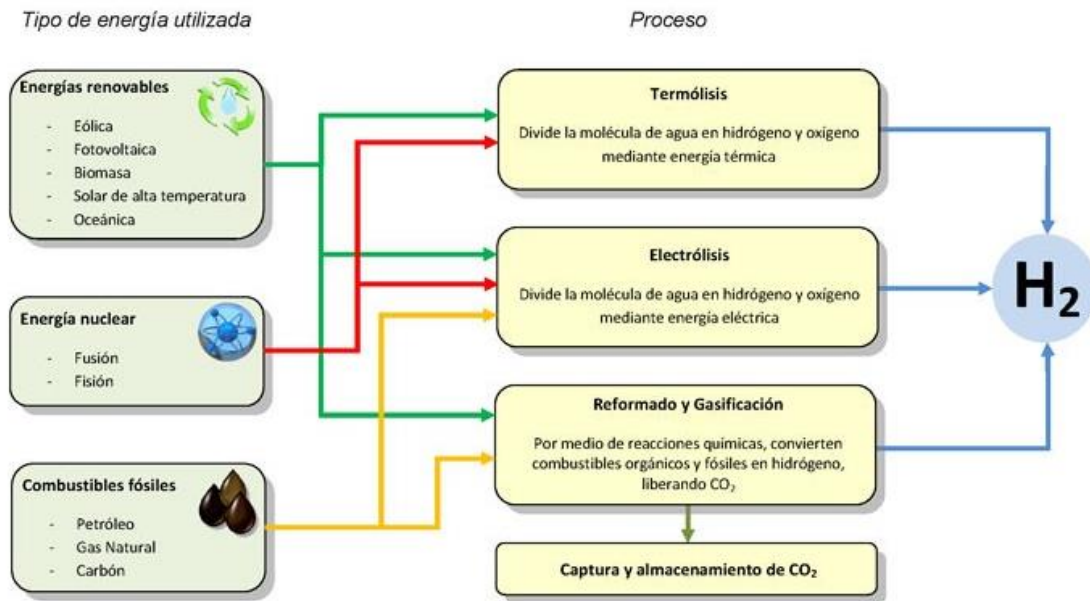


Figura 7. Esquema de los tipos de energía utilizados para los diferentes procesos de producción de hidrógeno. [6]

Debemos distinguir entre los procesos mediante la energía que se utilice. Existen por tanto procesos de conversión química, procesos de termólisis, procesos electrolíticos, procesos fotolíticos y por último mediante procesos biológicos.

### 1.3.1 Procesos Químicos

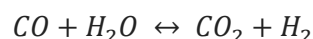
El proceso principal es el reformado, que a su vez se puede clasificar desde el punto de vista termodinámico en endotérmico y exotérmico. El endotérmico está asociado al reformado por vapor de agua ya que requiere un aporte de energía externa y el segundo, el exotérmico, a la oxidación parcial. La combinación de ambos procesos resulta en un balance térmico nulo, denominado como reformado autotérmico.

En primer lugar, el reformado con vapor de agua consta de tres fases. En la primera se produce la siguiente reacción endotérmica sobre un catalizador de níquel a una temperatura cercana a los 1200 grados Celsius y presión total entre 20 y 30 bar:



Ecuación 1-1. Reacción endotérmica de vapor de agua y metano.

A la salida del reformador, el CO se hace reaccionar con vapor de agua sobre catalizadores de cobre siguiendo la siguiente reacción:



Ecuación 1-2. Formación de hidrógeno a través de óxido de carbono y vapor de agua.

Por último, se hace pasar el gas por un condensador en el que se retira el vapor de agua y posteriormente se depura para obtener un hidrogeno con un 99.99% de pureza. La depuración se realiza mediante sistema separador de membranas o de adsorción-desorción. Al producto final libre de hidrógeno se le denomina gas de cola. Como este gas se puede utilizar como combustible se aprovecha y es recirculado hacia los

quemadores del reformador. Este paso también se realiza en la oxidación parcial. En cuanto al combustible, se utiliza normalmente gas natural porque contiene en su mayor parte a la molécula de  $CH_4$ . Su elevada relación atómica H/C con respecto a la de otros combustibles y su gran disponibilidad lo hacen un precursor idóneo para la producción de hidrógeno. Asimismo, es posible utilizar otro tipo de combustibles como el propano, etanol o incluso gasolina. Sin embargo, el gas natural contiene impurezas de azufre, que deben ser eliminadas previamente. El proceso de reformado de metano con vapor es el más utilizado a lo largo de varias décadas por tratarse de la tecnología más económica. No obstante, el reformado no se utiliza únicamente para producir hidrógeno. Se puede producir también el denominado gas de síntesis, en inglés syngas, muy útil para otro tipo de aplicaciones, como se muestra en la siguiente figura.

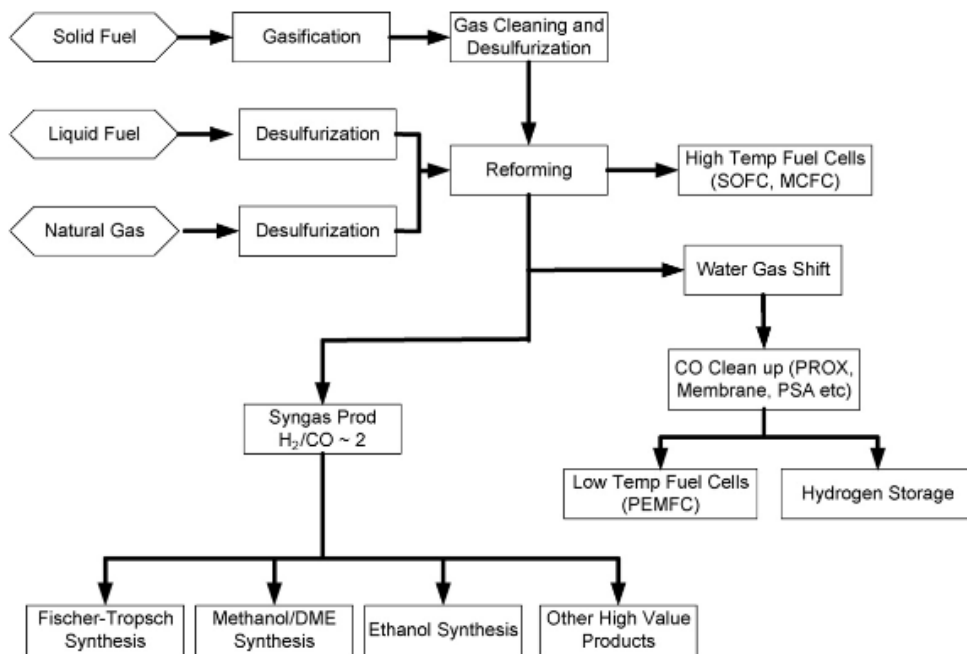


Figura 8. Esquema de la conversión de combustibles mediante reformado. [7]

En segundo lugar, la oxidación parcial consiste en convertir hidrocarburos en hidrogeno mediante la oxidación parcial de la combustión del hidrocarburo. El calor necesario proviene de la combustión controlada. Algunas ventajas son que no requiere un catalizador para funcionar, no necesita remover el sulfuro tan exhaustivamente como en el reformado, es decir, es más tolerante con el sulfuro que los demás procesos, y tiene alto grado de conversión del metano. Como para la producción de gas de síntesis necesita una relación 2:1 de  $H_2/CO$ , este producto se puede utilizar como alimentación de reactores de Fisher-Tropsch como podemos ver en la figura anterior. La reacción por lo tanto que se produce es la siguiente:



Ecuación 1-3. Reacción de la combustión del metano.

Y, por último, el reformado autotérmico, que consiste en la combinación de los dos procesos anteriores. El calor que cede la oxidación parcial se utiliza en el reformado con vapor de agua para incrementar la producción de hidrogeno. El balance térmico como mencionamos anteriormente termina siendo nulo. La ventaja principal es que no necesitan un suministro externo para aportar calor, sin embargo, sí que requieren bien que el gas del producto sea diluido con nitrógeno o bien que exista una separación del oxigeno para proporcionarlo puro al reactor, siendo esta última opción costosa y compleja. Sin embargo, este proceso tiene muy poca experiencia comercial, por lo tanto, el más usado es el primero, el reformado con vapor de agua, aunque se trate de la opción que más emisiones contaminantes produce. [8] [7]

### 1.3.2 Procesos de Termólisis

Los procesos de termólisis consisten en la descomposición química usando calor de una fuente externa. Los anteriormente mencionados se considerarían procesos de termólisis si el calor procediera de una fuente externa en vez de la propia materia prima. Ejemplos de fuentes externas de calor serían la energía solar concentrada o energía nuclear de alta temperatura. Ahora bien, el uso de estas fuentes externas abre paso a los ciclos termoquímicos. Estos consisten en la producción de hidrógeno mediante una serie de reacciones químicas donde el balance neto es la descomposición del agua utilizando únicamente calor. No obstante, existen otros tipos como los híbridos que requieren electricidad para la electrólisis, como podemos ver en la figura de la derecha en el caso del ciclo híbrido del cloruro de cobre. Cabe destacar que los compuestos químicos son reutilizados completamente y que en el caso del ciclo híbrido la electrólisis se alimenta de un compuesto químico que no es agua.

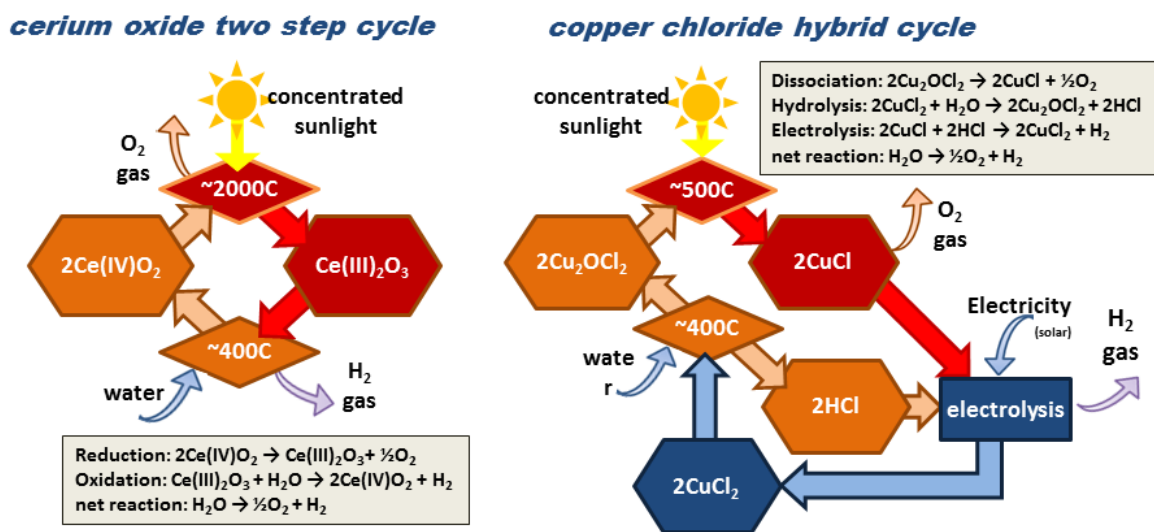


Figura 9. Esquema del funcionamiento de los dos tipos de ciclos termoquímicos. [9]

Aunque el ciclo híbrido necesita energía eléctrica, las temperaturas necesarias para la electrólisis están entre 750 y 1000 grados Celsius, bastante inferiores a los ciclos no híbridos, que necesitan aproximadamente 2000 grados Celsius. Los ciclos híbridos presentan un gran potencial. La característica que los diferencian con la electrólisis utilizando agua es que estos requieren primero que se genere la electricidad y posteriormente esa electricidad genere el hidrógeno. Es más, la electrólisis a alta temperatura de compuestos químicos tiene un mayor potencial de mejora en cuanto a efectividad comparada con la electrólisis del agua a baja temperatura. Por lo tanto, se considera como una opción prometedora y menos costosa. Sin embargo, aunque esta tecnología tiene mucho potencial, se encuentra en un estado aún inmaduro en cuanto a desarrollo. [10]

Por último, vemos dos imágenes de ejemplos de concentradores solares y dónde se añadiría el reactor que alberga el ciclo termoquímico.

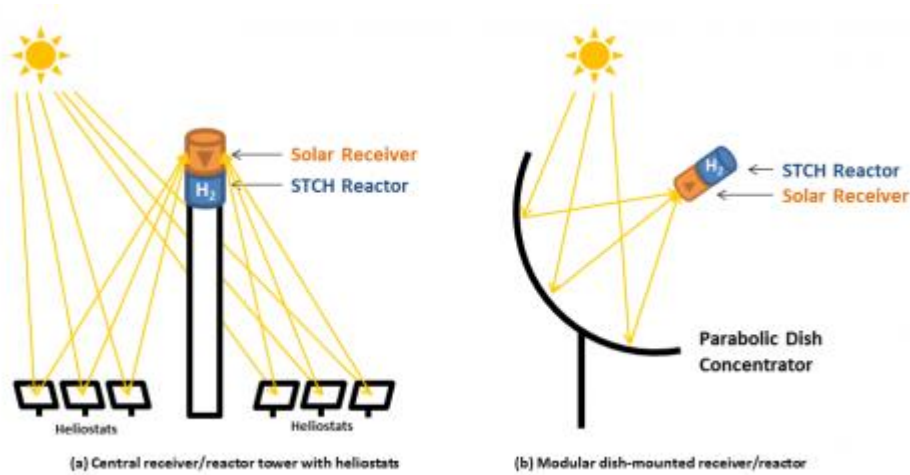


Figura 10. Ubicación del reactor en concentradores solares. [9]

### 1.3.3 Procesos Electrolíticos

La electrolisis se basa en la descomposición de los elementos de un compuesto por medio de la electricidad. Está compuesto por dos electrodos, un cátodo y un ánodo, y por un electrolito, que actúa como aislamiento eléctrico y conductor de iones. Un ejemplo de electrolito es el agua, aunque también lo son algunos hidróxidos, sales y ácidos. El agua se utiliza como electrolito cuando el volumen de hidrógeno requerido no es muy elevado. Los iones que se transfieren entre los electrodos dependen del tipo de electrolizador, pueden ser  $H^+$ ,  $OH^-$  o  $O_2^-$ . Existe una gran variedad de electrolizadores, sin embargo, explicaremos los dos tipos más conocidos.

En primer lugar, el electrolizador de membrana polimérica, conocido por las siglas PEM, es más común en pequeña y media escala de producción. Funciona en un rango bajo de temperaturas, entre 40 y 80 grados Celsius. El agua reacciona con el ánodo para formar oxígeno y protones de hidrógeno. Los electrones son conducidos a través de un circuito externo. La membrana es la encargada de dejar paso a los iones de hidrógeno desde el ánodo hacia el cátodo. También actúa como separación mecánica entre cátodo y ánodo, y de los gases entre otras funciones. Una vez en el cátodo, los iones positivos de hidrógeno se combinan con los electrones provenientes del circuito para formar hidrógeno gaseoso.

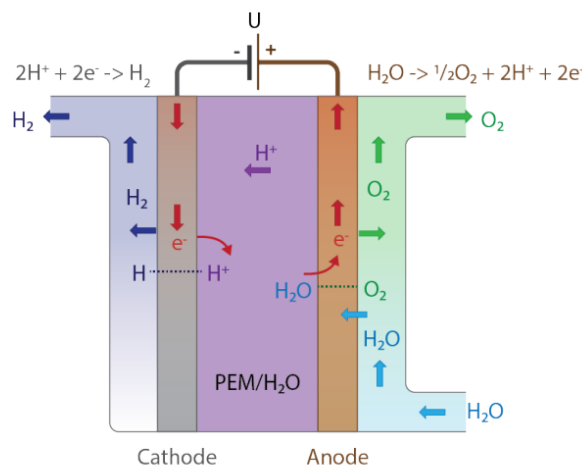


Figura 11. Esquema del funcionamiento de la electrolisis en una PEM. [11]

Por otro parte, el electrolizador de alcalino líquido es preferido para una producción a mayor escala que la PEM y tienen una mayor eficiencia. Tanto su temperatura y rango de operación son más elevados, en concreto trabajan a temperaturas entre los 65 y 200 grados Celsius, aunque ambas trabajan a presiones inferiores a los 30 bar. El electrolito en estos sistemas está en forma de líquido basado en una solución KOH altamente cáustica. La membrana deja pasar únicamente a los iones  $OH^-$ , como se muestra en la siguiente figura:

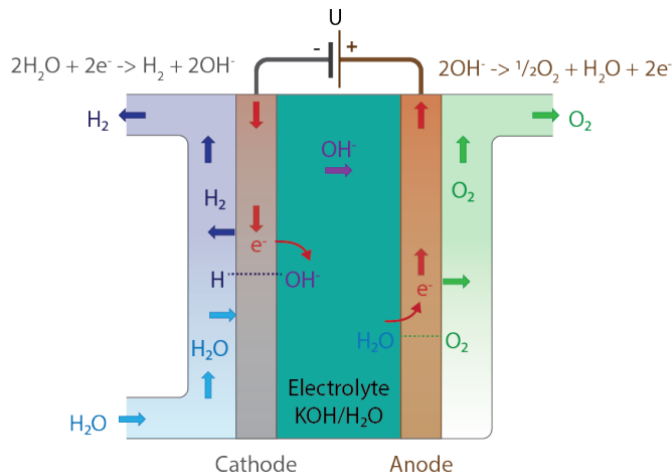


Figura 12. Esquema del funcionamiento de un electrolizador de alcalino líquido. [12]

Como conclusión, cabe señalar que el coste de producción mediante electrolisis del agua es considerablemente mayor, de hecho, aproximadamente el doble que con el reformado de vapor. Sin embargo, existen nuevas tecnologías como la electrolisis en fase vapor que permitirán reducir los costes en un 50% [13]. En cuanto a esos costes, según una investigación realizada por la Universidad Stanford y la Universidad Técnica de Múnich, la producción de hidrógeno podría ser rentable si se utilizase todo el exceso de energía renovable que no se consume. Es decir, aprovechar esa energía que no es capaz de almacenarse.

### 1.3.4 Procesos Fitolíticos

Este tipo de sistemas fotoelectroquímicos, conocidos también como ‘water splitting’ o fotosíntesis artificial, se caracterizan por convertir la energía solar en energía química, es decir, utilizan la radiación solar como fuente directa para la electrolisis del agua. Un proceso fitolítico es la reacción fotoelectroquímica que se produce en las celdas como puede verse en la siguiente figura:

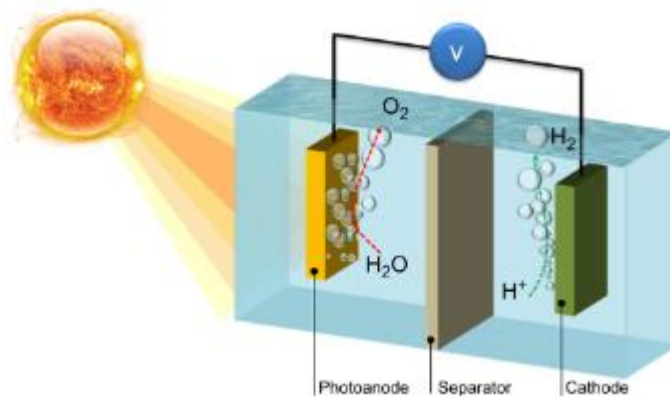
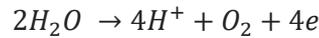


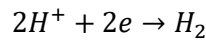
Figura 13. Funcionamiento de una celda fotoelectroquímica. [14]

Podemos observar que la célula fotoelectroquímica utiliza agua como electrolito. A la izquierda se sitúa el electrodo en funcionamiento, el fotoánodo, que estará compuesto por un material semiconductor. A la derecha del separador, el electrodo de referencia o cátodo. Cuando los fotones inciden en el fotoánodo, los electrones son excitados dejando un hueco de carga positiva. Este hueco combinado con los iones de oxígeno pertenecientes al agua forma oxígeno en forma de gas siguiendo la siguiente reacción:



Ecuación 1-4. Reacción global de la electrolisis.

Los electrones circulan por el cable hacia el cátodo, donde la siguiente reducción tiene lugar:



Ecuación 1-5. Reacción catódica de la electrolisis.

La ventaja principal con respecto a la electrolisis del agua es que evita el paso de tener que producir la electricidad. Es decir, este sistema elimina la necesidad de generar y transportar la energía eléctrica y por lo tanto la contaminación que esto supondría. No obstante, presenta una serie de dificultades puesto que aún están en fase de desarrollo. Para que la reacción dé lugar, según la ecuación de Nernst se necesitan 1.23V. Sin embargo, se ha experimentado en la práctica que es necesario una diferencia superior a 1.6 V y sólo una pequeña porción del espectro solar incluye fotones con energía suficiente para generar este voltaje. Para ello, se estudian los diferentes tipos de materiales que tienen una gran repercusión en la eficiencia de la producción, como es el material que compone al fotoánodo, siendo el más prometedor el  $TiO_2$ . [14]

Por último, debe mencionarse que estas células pueden ser configuradas en forma de paneles como sistemas de electrodos, similares a los fotovoltaicos, o en forma de sistemas de partículas, como puede observarse en la siguiente imagen.

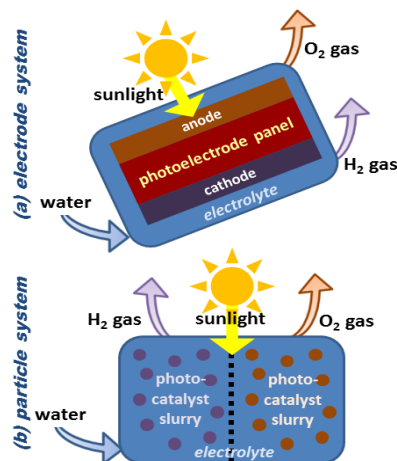


Figura 14. Diferentes tipos de configuración de sistemas fotoelectroquímicos. [9]

### 1.3.5 Procesos Biológicos

Existen microorganismos fotosintéticos capaces de realizar la ruptura de la molécula de agua. Algunas son capaces de realizarla también en ausencia de luz cuando se mantienen en condiciones anaeróbeas, como es el caso del alga verde *Scedesmus*, que utiliza el almidón como fuente reductora. Es cierto que la eficiencia en la conversión de energía en sistemas foto-heterotróficos es baja, en concreto se ha alcanzado en pruebas de laboratorio un 7%. Sin embargo, debemos destacar el hecho que puede compensarse en parte debido a unos costes de inversión considerablemente bajos. Una opción muy interesante que está en estudio de producción de hidrógeno es a través del tratamiento de aguas residuales. No obstante, tiene varios inconvenientes, sobre todo su baja tasa de producción y que el color más turbio del agua dificulta la absorción de la luz entre otros. [15]

## 1.4 Almacenamiento, Transporte y Seguridad del Hidrógeno

El hidrógeno es un gas difícil de almacenar debido a su baja densidad. Esto ha supuesto uno de los mayores obstáculos para su uso a gran escala, sobretudo en el sector del transporte. De hecho, su densidad de energía volmétrica es de 0.01 MJ/L, 3200 veces menos que la de la gasolina. Requiere por tanto de depósitos de mayor volumen asociados a presiones muy elevadas o bajas temperaturas. Por este mismo motivo, existen principalmente tres formas de almacenamiento dependiendo de su aplicación y método de transporte: hidrógeno en forma de gas comprimido, hidrógeno líquido e hidrógeno sólido. Este último se consigue bien absorbiendo o reaccionando con metales o compuestos químicos. Aunque existen muchos tipos, el más utilizado en los FCEV es el tanque de hidrógeno comprimido. El componente más relevante de los tanques de gas presurizados es el material que lo compone. El hidrógeno es un gas con una gran difusividad y permeabilidad, por lo tanto, el material empleado para confinarlo debe aguantar este tipo de consideraciones. Debe ser ligero y seguro. También debe satisfacer las especificaciones debidas al estrés, la fuerza ejercida por la presión y la seguridad. El plástico reforzado con fibra de carbono atiende a estas necesidades, aunque aún posee una baja conductividad térmica y es necesario que sea sensiblemente mayor. Con el fin de acelerar la introducción al mercado de los FCEV, se requiere de una mayor producción para reducir los costes del plástico reforzado con fibra de carbono que forma parte de más del 65% del coste del tanque, para ello este tipo de almacenamiento es introducido al mercado con una visión a corto y medio plazo al mismo tiempo que se estudian otros tipos [16]. A continuación, se muestra como ejemplo el tanque de un Toyota Mirai.

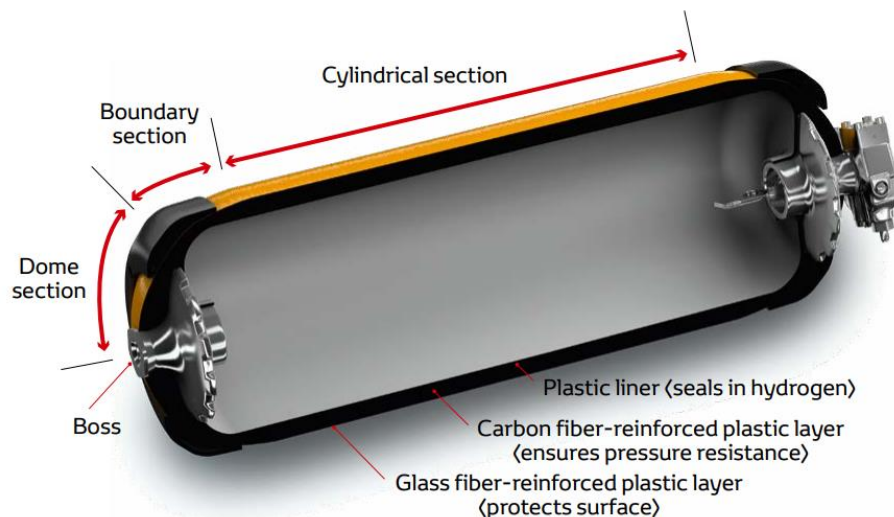


Figura 15. Depósito de almacenamiento de hidrógeno de un FCEV. [17]

A pesar de la errónea concepción del público en torno a la seguridad del hidrógeno, los tanques en los que se almacena han sido testados para aguantar situaciones extremas como altas temperaturas y colisiones. Aunque el gas se escape del depósito, al ser el elemento menos pesado se dispersa rápidamente, siendo además no tóxico e inoloro.

Por otro lado, cabe destacar que para el transporte pesado hay fabricantes como Daimler que evalúan almacenarlo en forma de H<sub>2</sub> licuado puesto que permite una mayor capacidad de almacenamiento y por lo tanto una mayor autonomía, lo cual es clave para este sector. No obstante, este tipo de almacenamiento es más complejo y requiere también una adaptación de las estaciones de suministro, las hidrogeneras. En cuanto a los turismos, los tanques almacenan hidrógeno a presiones de 700 bar. Actualmente, aunque la pila de combustible es una tecnología ampliamente desarrollada, la poca disponibilidad de recarga de combustible restringe su uso.

En cuanto al transporte, existen varias maneras dependiendo del estado del hidrógeno. Para el hidrógeno comprimido se utilizan en camiones o tuberías. El hidrógeno líquido, se transporta mediante trenes o barcos, aunque también se utilizan camiones o trailers. Normalmente se almacena en este estado cuando debe

recorrer grandes distancias, puesto que es más efectivo en cuanto a su coste. Por último, el hidrógeno en estado sólido se transporta en tanques específicos que aún están en fase desarrollo y necesitan más avances.

Haría falta una gran demanda de hidrógeno para que fuese rentable instalar tuberías como las que se utilizan para gas natural. Como su densidad energética por unidad de volumen es aproximadamente un cuarto de la del gas natural y los costes de inversión son función del diámetro de las tuberías, el coste total para una línea de hidrógeno es del orden de seis veces el del gas natural. Sin embargo, se presenta como la forma más extendida en la que se transportará el hidrógeno [18].

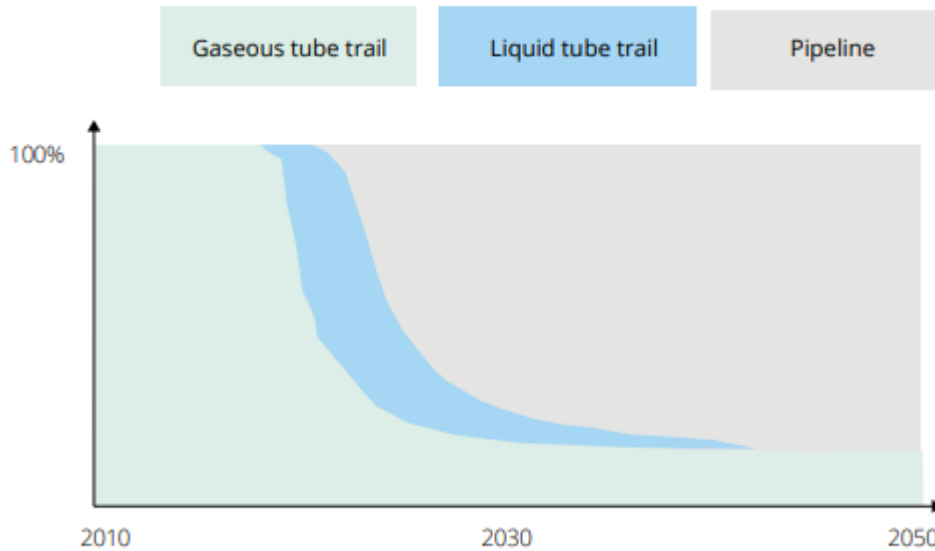


Figura 16. Pronóstico del despliegue de los tres métodos principales de suministro de hidrógeno. [19]

## 1.5 Aplicaciones

Hoy en día, el hidrógeno se usa fundamentalmente como materia prima en la industria química y petroquímica, y en menor medida, en la industria alimenticia, electrónica, así como en otros sectores. En primer lugar, su principal enfoque se está dirigiendo hacia el transporte, que aparte de utilizar las pilas de combustible para turismos y camiones, también se pueden implementar en otros vehículos como son los ferries, pequeños barcos, trenes y tranvías entre otros. Asimismo, se espera que se utilice la PEM en dispositivos de menor tamaño desde portátiles hasta teléfonos móviles. En segundo lugar, en los edificios o viviendas usándose en calderas de hidrógeno o en pilas de combustible. Por último, se aplica de manera eficiente en la generación de energía. En este último, hay especial interés puesto que el desfase entre producción y consumo en las renovables genera una oportunidad ideal para el hidrógeno de aprovechar esa electricidad que puede ser utilizada en su generación y por tanto transporte y almacenamiento para posterior uso.

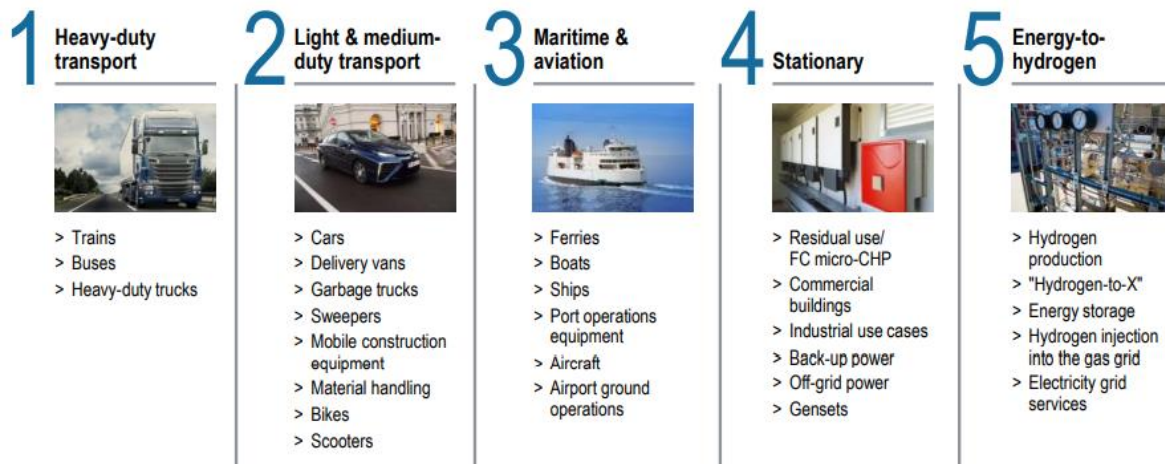


Figura 17. Principales aplicaciones del hidrógeno. [20]

Cabe señalar que la pila de combustible PEM es la utilizada en el mundo del transporte y en la producción de pequeñas potencias debido a su relativa baja temperatura de operación, pequeño volumen y peso, y alta eficiencia. Por este motivo las PEM representan el 90% del desarrollo y de la investigación de las pilas de combustible [21].

Podemos observar en el siguiente esquema el rol esencial que tiene el hidrógeno en permitir a las renovables utilizar parte de la energía que no sería consumida y en los usos en los que derivaría, completando el camino hacia la descarbonización.

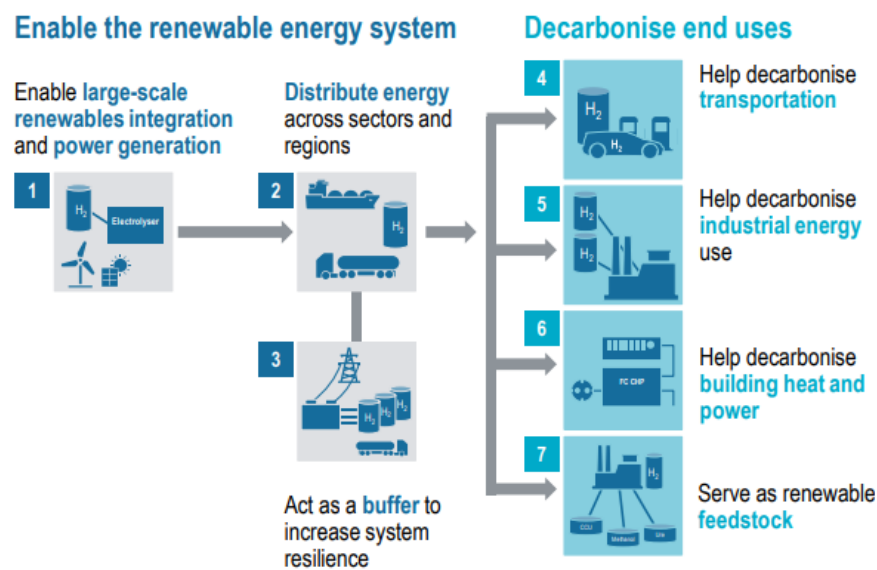


Figura 18. Esquema explicativo del papel del hidrógeno en la integración de las renovables y de la descarbonización del uso de la energía. [20]

### 1.6 Comparativa con vehículos eléctricos con batería y vehículos de combustión interna.

En primer lugar, la producción de los FCVE es más limpia que la de los BEV puesto que necesita menos materias primas para su producción, de hecho, los BEV son los vehículos que más huella contaminante dejan en el proceso de producción. En segundo lugar, para los BEV se necesita minar una serie de metales pesados como litio y cobalto para las baterías lo que resulta en un proceso altamente contaminante. Y, por último, los FCVE son más atractivos económicamente y más fáciles de reciclar que los BEV. En torno a esta cuestión, numerosos países se están sumando en invertir y apostar por los FCVE. Sin tener en

consideración subsidios o incentivos que se puedan proporcionar o los impuestos que se puedan añadir, se estima que para 2027 el coste total de la propiedad de los FCEV sea inferior a los BEV y ICEV. Esto se debe fundamentalmente tanto a una mejora de la tecnología y de la economía de escala como a una reducción de los costes de infraestructura y de producción de hidrógeno. Para el caso de los autobuses, esta fecha en Europa se prevé para 2024 como podemos observar en la siguiente gráfica, donde se representa el TCO en euros por cada 100 km.

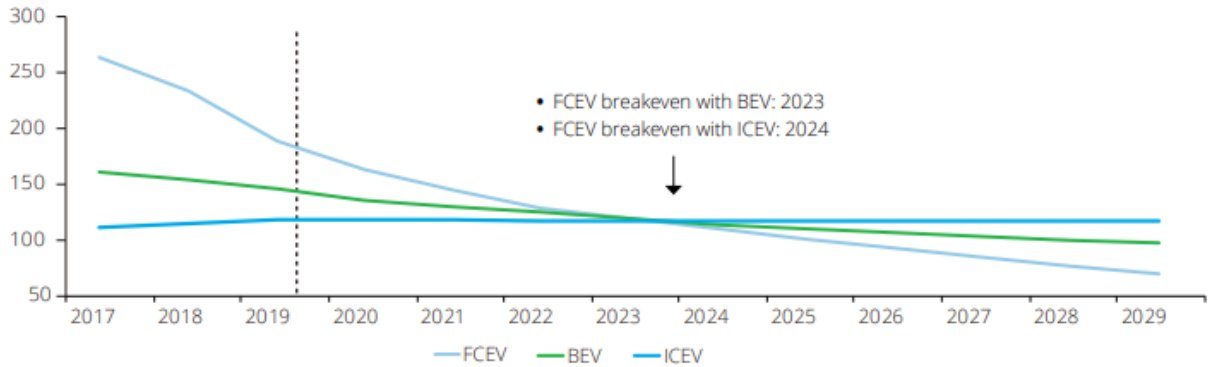


Figura 19. Predicción del TCO de los FCEV, BEV, ICEV. [19]

La autonomía de los BEV depende de la cantidad de baterías y de su capacidad, ambas son función del peso. También, el rendimiento de las baterías se ve afectado por varios factores externos como las bajas temperaturas, y consecuentemente en una disminución de la autonomía. A medida que aumentamos su peso y autonomía, disminuye levemente su rendimiento, como se ve en la figura 20.

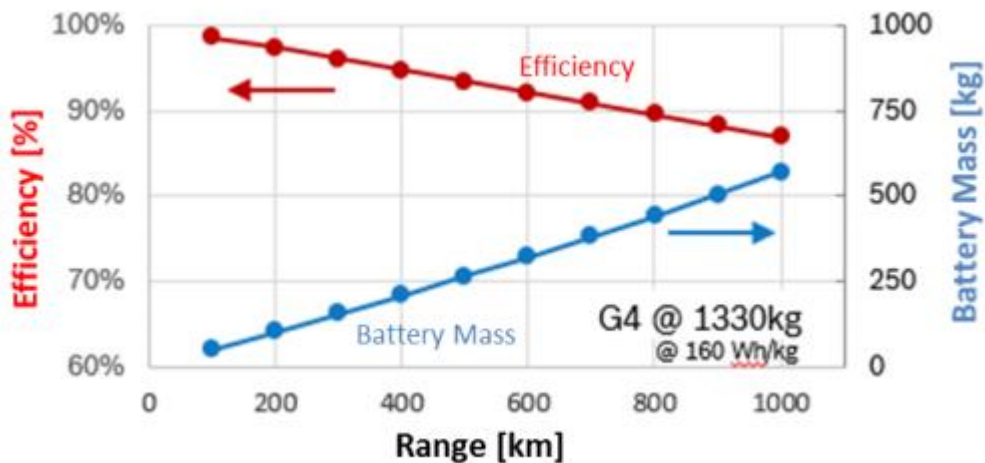


Figura 20. Curvas de eficiencia vs autonomía y peso de batería vs autonomía [22].

Por otro lado, las autonomías presentadas y estudiadas por los fabricantes son más elevadas que en la práctica, por ejemplo, la del Nissan Leaf 30 kWh debería tener 270 km cuando en realidad proporciona 199. En cuanto a la autonomía de los FCVE, sus tiempos de repostaje se asimilan a los ICE. Comparativamente, en vehículos pesados como camiones se necesitan 8 horas de carga para obtener 800km de autonomía donde por el contrario en los FCVE invirtiendo entre 10 y 20 minutos pueden alcanzar 1200km de autonomía. Para 2040 los BEV pesados no mejoran mucho sus tiempos y comparativamente sí lo consiguen los FCEV pesados que necesitarán únicamente entre 3 y 8 minutos [23]. Sin embargo, el tiempo de recarga de las baterías depende de su tamaño y de la rapidez de carga de la estación de recarga. Existen estaciones de carga super rápida de 50 kW, que aportaría en media hora casi 150 km de autonomía y por otro lado los de 150 kW, son capaces de añadir 320 km de autonomía en media hora. Estos valores son representativos, puesto que cada vehículo tiene unas características diferentes como la potencia y el

peso que hacen variar la eficiencia de recarga en cada uno. Por ejemplo, los vehículos de pequeño tamaño como el Renault Zoe son los más eficientes en cuanto a recarga ya que en una hora consiguen 30 km de autonomía cargándose a 7 kW. Los super cargadores reducen drásticamente los tiempos de carga, haciendo los BEV más atractivos para hacer viajes de media o larga distancia. Como vemos en la siguiente gráfica, el volumen que ocupan las baterías incrementa

En cuanto al combustible, el hidrógeno es más costoso que recargar las baterías con electricidad de la red, debido principalmente a su proceso de producción y transporte, aunque se prevé que su precio vaya disminuyendo hasta ser competitivo. Por lo tanto, los BEV son favoritos en este sector. Claramente los vehículos pesados como camiones o autobuses son los que más futuro, ventajas y mercado tienen con respecto a los BEV.

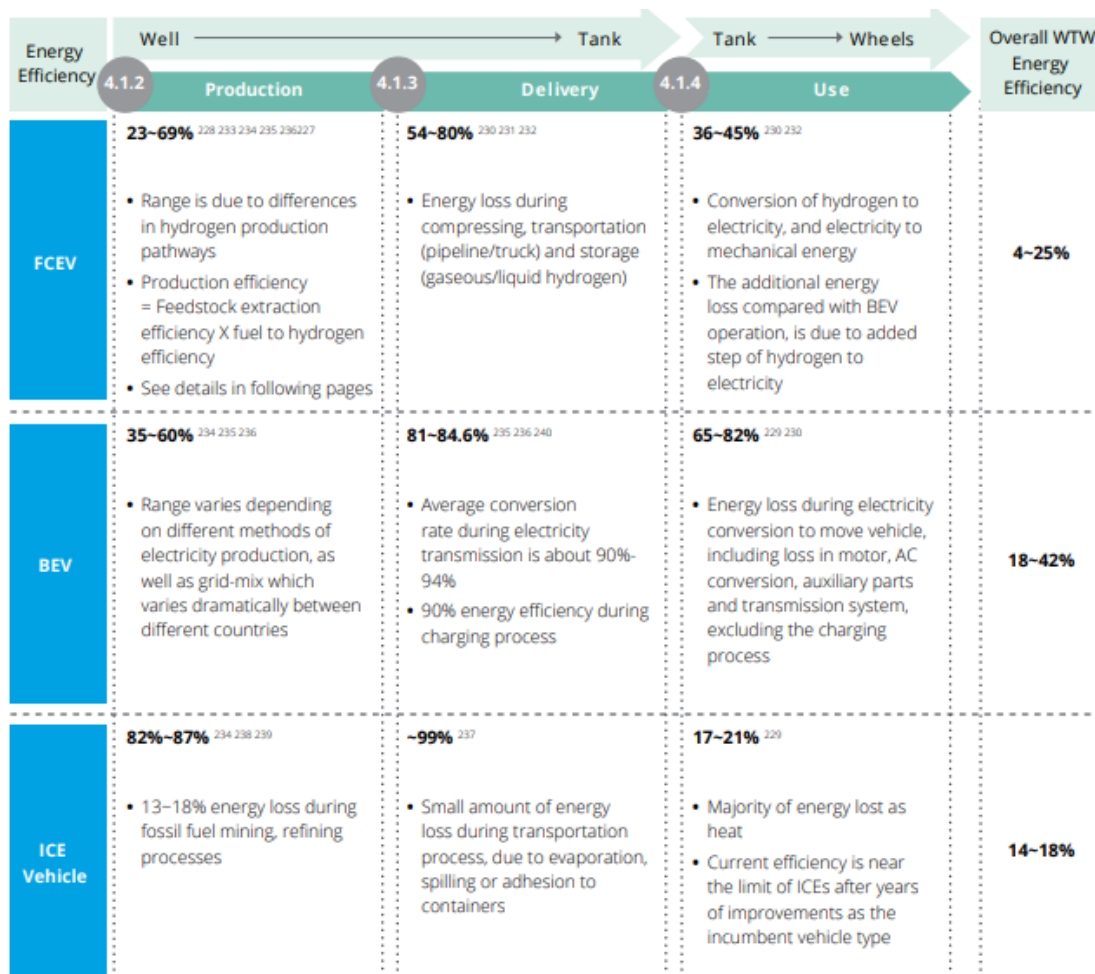


Tabla 1. Comparativa de las eficiencias ‘Well-to-Wheels’ y de producción, transporte y uso de la energía entre los FCEV, BEV y ICE. [19]

En vehículos se suele medir la eficiencia energética en tres etapas características. La primera, Well-to-Tank en inglés, se refiere a la eficiencia energética contando el proceso de producción y el de distribución hasta el tanque de alimentación. La segunda, Tank-to-Wheels, hace referencia al siguiente tramo, desde el depósito hasta las ruedas del vehículo, es decir, su utilización. Por último, tenemos el punto de vista global que abarca todo el proceso, desde que se produce el combustible, bien sea este hidrógeno, electricidad o combustible fósil hasta su utilización en el motor para mover el vehículo, esta es la denominada eficiencia Well-to-Wheels.

Como podemos observar, los FCEV no presentan una mala eficiencia en cuanto al uso del combustible en la pila, ya que a diferencia de los motores térmicos no están sometidos al ciclo de Carnot, pero pueden mejorar bastante en la producción y transporte que, como hemos mencionado apartados anteriores va a aumentar su eficiencia y por ende reducir su coste en el futuro. Los ICE al propulsarse mediante motores térmicos su eficiencia está limitada y ha llegado prácticamente a su límite después de tantos años en el mercado. Por lo tanto,

sin duda alguna el vehículo que se presenta como más eficiente energéticamente hablando es el BEV, pudiendo alcanzar un 42% de eficiencia 'Well-to-Wheel'. Su diferencia con respecto a los FCEV reside en el paso que se salta en la producción de hidrógeno y posterior conversión en electricidad. En la siguiente figura vemos el desglose de la eficiencia de la conversión de hidrógeno en electricidad, es decir, de la pila y la eficiencia de la conversión de electricidad en energía mecánica, que es idéntica a la de un BEV por tener ambos vehículos un motor eléctrico.

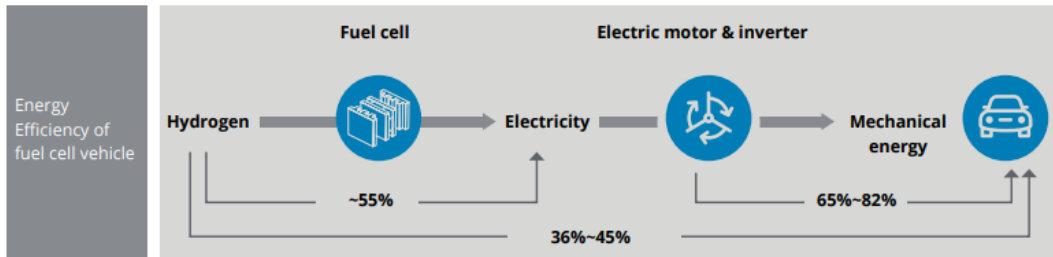


Figura 21. Eficiencia Tank-to-Wheels de un FCEV. [19]

El problema actual de los FCVE es su escaso número de hidrogeneras disponibles. Esta circunstancia no favorece a la venta de este tipo de vehículos puesto que no supone una ventaja para los usuarios. Cabe destacar que la Unión Europea, China, Japón y en Estados Unidos estados como California, principalmente son los que están apostando fuertemente por el impulso de los FCEV integrando cada vez más hidrogeneras y apostando por transporte público como los autobuses propulsados por hidrógeno. De hecho, varios países de la UE, España entre otros, Canadá e India, han optado por la prohibición de venta de los ICE a partir de 2040 como fecha máxima común.

## 1.7 Motor de combustión interna alimentado con hidrógeno

Los HICEV son vehículos que generan potencia a través de la combustión de hidrógeno. Utilizan el mismo motor de combustión interno alternativo que utilizan los vehículos alimentados con gasolina, sólo que cambian los sistemas de inyección y de suministro de combustible.

Se presentan como una alternativa a los coches eléctricos. Al igual que los de gasolina, mantienen el motor de combustión y consigo sus características como el sonido, las vibraciones y la diversión que genera conducir este tipo de vehículos. Igualmente, su mantenimiento es similar. Quizás en el camino hacia la descarbonización, la modificación de un vehículo propulsado por gasolina a hidrógeno puede plantearse en un futuro como una opción en la transición energética, sin tener que cambiar de vehículo.

En cuanto a las emisiones, es cierto que quemar hidrógeno tiene como producto únicamente agua. Sin embargo, si se alcanzan temperaturas suficientemente altas en la cámara de combustión, el nitrógeno procedente del aire a la entrada puede combinarse con el oxígeno produciendo  $NO_x$ . La producción de este gas nocivo depende de las condiciones operativas del vehículo, que pueden ser ajustadas para conseguir que no se produzca. Incluso se pueden aplicar varios métodos para atraparlo en el escape.

En comparativa con los ICE de gasolina, presentan una mejora del 25% en la eficiencia energética y un 25% también en la economía de combustible, es decir, consiguen más autonomía.

La principal ventaja con respecto a los FCEV es que no presentan inconvenientes para arrancar en frío al no utilizar una pila de combustible.

Este tipo de motor no es una novedad, la primera vez que adaptaron un vehículo de gasolina a uno que trabajase con hidrógeno como combustible fue en 1970. Recientemente Toyota, productor mundial de vehículos, ha anunciado el 22 de abril de 2021, que implementará esta tecnología en vehículos de competición. De esta manera intentan promover el consumo de hidrógeno y su utilización en vehículos.

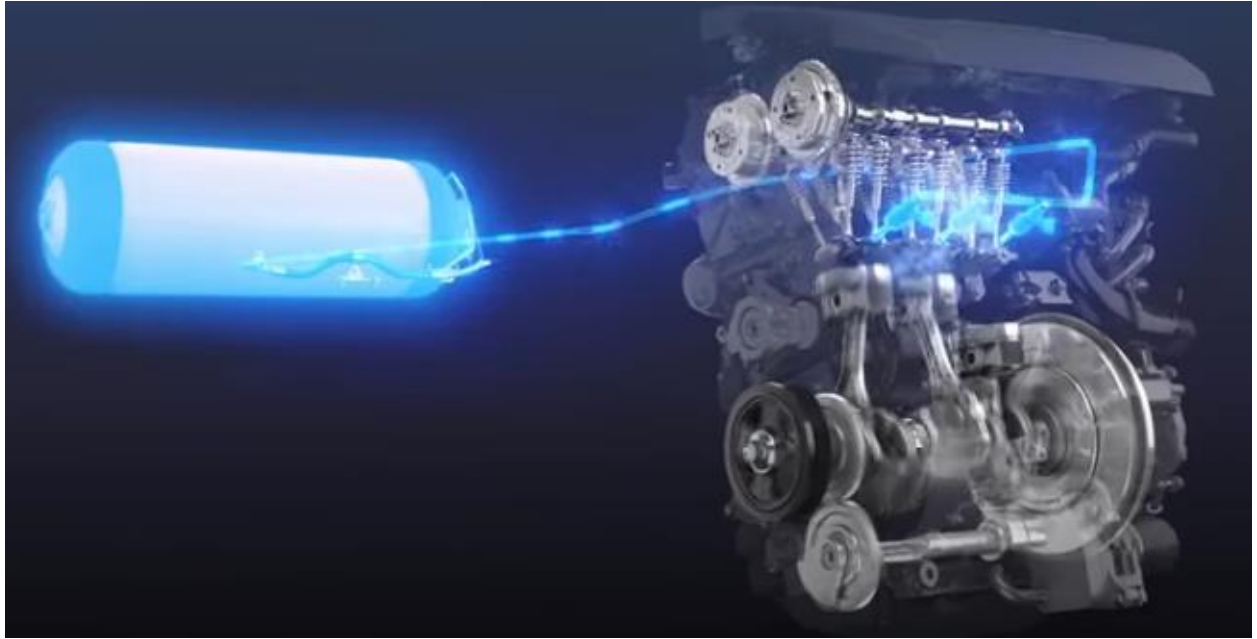
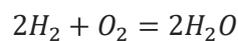


Figura 22. Motor de combustión interna alternativo propulsado con hidrógeno. [24]

## 2 PILA DE COMBUSTIBLE

### 2.1 Introducción

La pila de combustible es un reactor electroquímico compuesto de varias celdas individuales, cuya función es convertir la energía química de un combustible de forma eficiente en energía eléctrica mediante un oxidante. Nos centraremos en el hidrógeno como combustible, puesto que es el que se utiliza en las pilas de combustible PEM de los FCEV. No obstante, existen más tipos de pilas que, aunque en menor medida, serán objeto de estudio más adelante. La reacción global exotérmica que se produce es la siguiente, que libera 286 kJ/mol:



Ecuación 2-1. Reacción global de una PEM alimentada con hidrógeno.

Como podemos observar en la Figura 23, hidrógeno y oxígeno son introducidos de manera separada e independiente al ánodo y al cátodo respectivamente. En el ánodo, un catalizador es el encargado de facilitar la separación de las moléculas de hidrógeno en protones y electrones. El electrolito por su parte tiene como función dejar pasar únicamente a los protones y a los electrones se les hacen pasar por un circuito externo con el fin de crear un flujo que genere electricidad. Al llegar al cátodo los protones reaccionan con el oxígeno y los electrones para generar calor y agua.

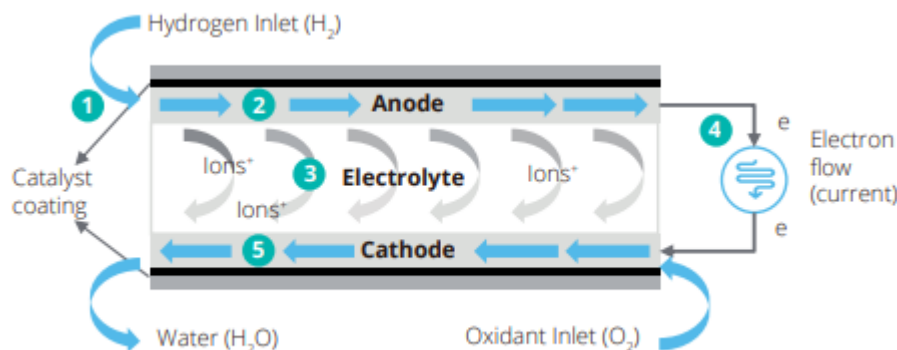


Figura 23. Funcionamiento de una pila de combustible alimentada con hidrógeno. [19]

Estos dispositivos presentan una gran ventaja frente a los motores térmicos, ya que convierten la energía mediante un proceso que no está sometido al ciclo de Carnot. Por esta razón, la eficiencia energética resulta de dos a tres veces superior, pudiendo alcanzar una eficiencia del 75%. Además, se caracterizan por una baja contaminación acústica y requerir poco mantenimiento. El apilamiento de estas celdas en serie, conocido como “fuel cell stack”, se produce con el objeto de alcanzar una tensión eléctrica y potencia necesaria para la aplicación dada. La geometría de estas celdas son normalmente planas, rectangulares o circulares, o tubulares. Cada celda está separada con la siguiente a través de una placa bipolar, que permite la conducción eléctrica entre ellas transportando los electrones del ánodo de una hacia el cátodo de otra y distribuye de manera homogénea los reactivos en la superficie del electrodo. Las variantes que existen de placas bipolares vienen definidas por el tipo de electrolito que se utilice. Para su correcto funcionamiento, todas las pilas de combustible necesitan de sistemas auxiliares que alimenten el combustible o reactivo, expulse los productos de reacción, mantengan las condiciones de operación como temperatura y presión adecuadas y conviertan la potencia eléctrica producida [25]. El conjunto de estos sistemas auxiliares se le denomina balance de planta o BoP, que estudiaremos en profundidad más adelante en el apartado 3.

## 2.2 Tipos

En cuanto a los tipos, en la siguiente tabla se representan los cinco tipos más usados y conocidos con sus parámetros característicos como el electrolito que utilizan y el ión que lo trasporta, el rango de potencias y temperaturas a las que trabajan, las eficiencias del sistema y del stack.

Types	Electrolytes	Ion $\Phi^n$	Power (kW)	Temperature (°C)	Stack Efficiency (%)	System Efficiency (%)
Polymer electrolyte	Polymeric membrane	$H^+$	0.001–500	50–100 Nafion	50–70	30–50
				125–200 PBI		
Solid oxide	Ceramic ionic conductor	$H^+$ or $O^{2-}$	<100,000	500–1100	60–65	55–60
Alkaline	Aqueous alkaline solution	$OH^-$	10–200	<80	60–75	62
Phosphoric acid	Molten phosphoric acid	$H^+$	<10,000	150–200	55	40
Molten carbonate	Molten carbonate	$CO_3^{2-}$	<100,000	600–650	55	47

Tabla 2. Características de las pilas de combustible más utilizadas. [25]

Por otro lado, podemos destacar en qué sectores se utilizan más generalmente cada tipo de pila. La PEM se utiliza principalmente en el sector automovilístico y como generador de potencia portable. Seguidamente, la SOFC también se utiliza como generador de potencia portable y al igual que la MCFC se utilizan para una gran generación de energía al presentar ambas una alta eficiencia energética. Por otro lado, la PAFC también son útiles para generación de energía, pero a escala inferior a las anteriores. Por último, las AFC se usan en aplicaciones militares o aeroespaciales.

## 2.3 PEMFC

Como se ha mencionado anteriormente, nos centraremos en la descripción de las partes de la PEMFC. Este tipo de pila se presenta como la favorita para la aplicación en vehículos por una variedad de razones como su relativamente baja temperatura de operación, su rápido arranque, alta eficiencia y densidad de potencia, baja degradación por corrosión y, por último, presenta un buen nivel de robustez del sistema, como se puede ver en la Tabla 1.

El componente clave donde ocurre la reacción electroquímica y, por lo tanto, se produce la electricidad y calor en la celda, es el conocido como MEA. La MEA está compuesta por una membrana polimérica de intercambio protónico, a la que se le adhiere una capa de catalizador a cada lado por la diferencia en las reacciones que ocurren en cada uno, en el que se sitúan a su vez una capa de difusión de gas (GDL). Esta última capa se encarga de facilitar el transporte hacia la capa catalítica de la forma más homogénea posible y también ayuda a retirar el agua producida. Por otro lado, la MEA se encuentra entre un conjunto de placas que la encierran. Este conjunto está compuesto por tres placas. La primera y más cercana, es una empaquetadura (gasket) cuya función es prevenir la fuga de los gases. La segunda actúa como conductora de los gases, es decir, se encargan de distribuir y suministrar el hidrógeno y oxígeno necesario a la MEA y sirven de separación física entre celdas (channels/flow field plate). Por último, la tercera, la placa bipolar, que encierra a la celda por completo y sirve como separador entre celdas. [7]

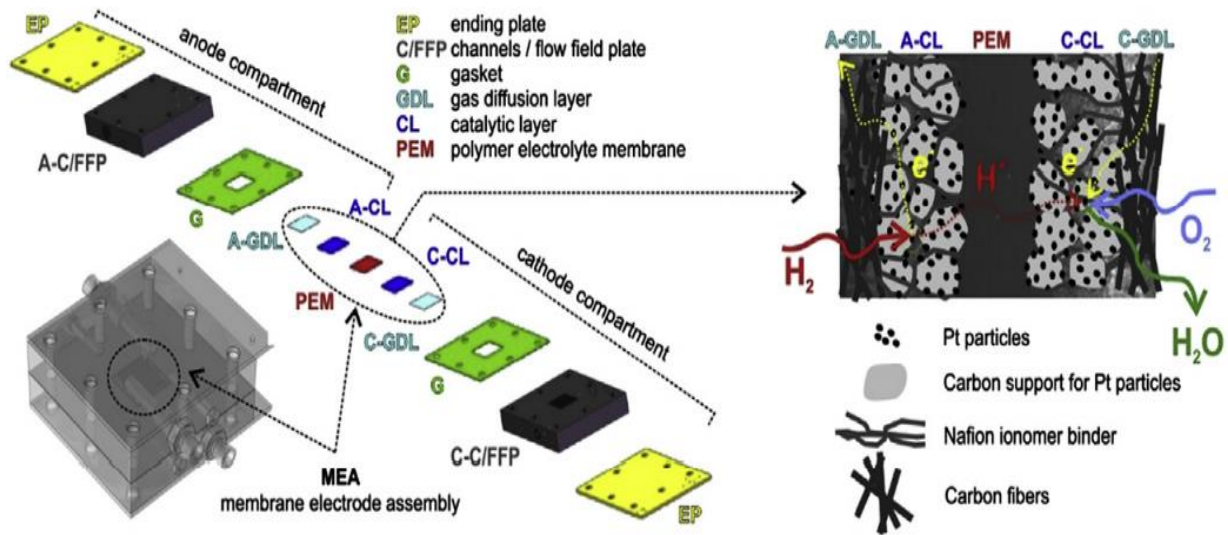


Figura 24. Esquema de los componentes y materiales de una MEA de una PEM. [26]

Una vez visto las partes, a continuación, se expone el modo de operación de esta pila de combustible. El hidrógeno es introducido en el ánodo y llega, por difusión, hasta la capa catalítica del mismo, donde se produce la siguiente reacción electroquímica [27], que podemos ver a la izquierda de la figura 25. Los electrones se hacen pasan por un circuito cerrado donde producen electricidad y se dirigen hacia la placa colectora del ánodo. Los protones que atraviesan la membrana reaccionan como vemos a la derecha de la figura, con el oxígeno y los electrones, produciendo agua y calor.

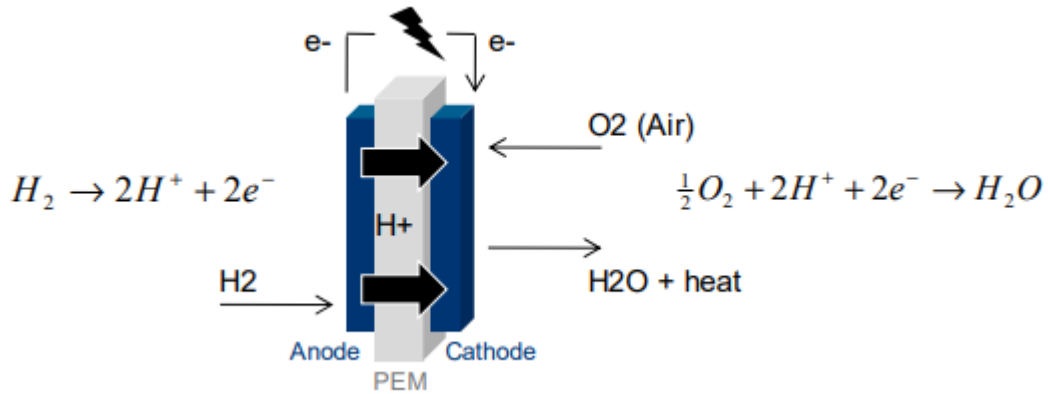


Figura 25. Reacciones que ocurren en el ánodo y cátodo de una PEM. [28]

Como una sola celda es capaz de suministrar un voltaje pequeño, aproximadamente de 1 V, y una corriente cuya intensidad depende del tamaño de los electrodos y de la densidad de la corriente, que a su vez depende de la calidad del catalizador utilizado [29]. Incrementar el número de MEAs en un stack genera un aumento de voltaje mientras que aumentando la superficie de la MEA incrementamos la corriente. Cabe mencionar que al principio y al final de la pila se utilizan las placas terminales o “ending plates”.

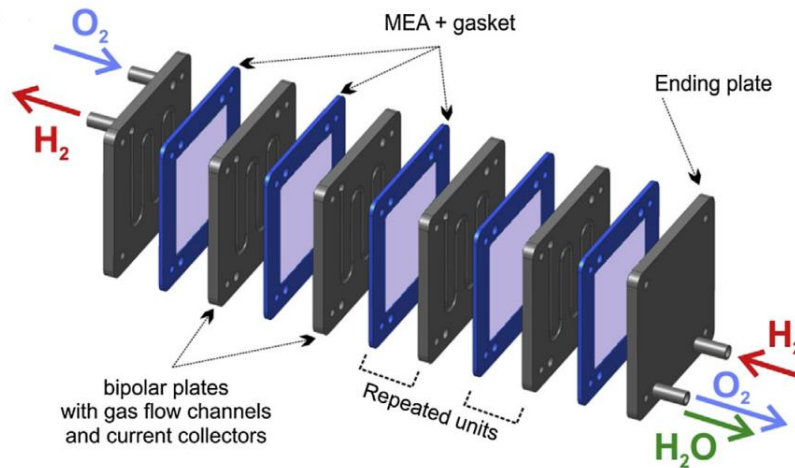


Figura 26. Apilamiento de celdas formando un 'stack' [26]

### 2.3.1 Curva de Polarización

La curva de polarización es una de las características fundamentales de la pila de combustible. Representa el voltaje real que se obtiene de la pila frente a la densidad de corriente. El voltaje real está por debajo del ideal debido a una serie de fenómenos irreversibles. Estas pérdidas son tres: de activación, óhmicas y de concentración. Cuando la densidad de corriente es pequeña predominan las pérdidas por activación. Representan el sobrepotencial requerido para superar la energía necesaria para que la reacción tenga lugar, es decir, la energía de activación. Por otro lado, las óhmicas están asociadas a la resistencia que debe superar tanto el flujo de electrones a través de los materiales del electrodo como el flujo de iones en el electrolito. Siguen una función prácticamente lineal. En último lugar, las pérdidas por concentración que predominan sobre todo para corrientes de valor elevado. Estas pérdidas ocurren cuando el reactivo es consumido rápidamente en el electrodo por la reacción electroquímica, que genera el gradiente de concentraciones. En esta zona, la tensión cae bruscamente debido a que se genera más cantidad de agua líquida. Esto provoca un bloqueo de los poros del GDL y por lo tanto del cátodo que impide que se produzca la reacción catódica.

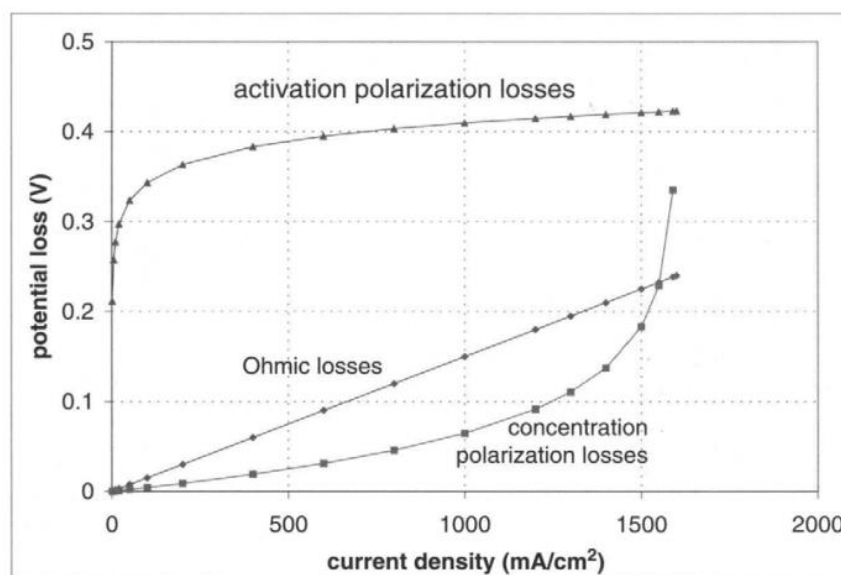


Figura 27. Representación de la variación de las pérdidas de potencial con la densidad de corriente. [30]

El producto de la densidad de corriente ( $i$ ) con el voltaje de la célula ( $V_{cell}$ ) proporciona la curva de

densidad de potencia, que nos permite localizar el máximo representado como MPD. Por tanto, no conviene aumentar más el valor de la densidad de corriente a partir de este punto señalado.

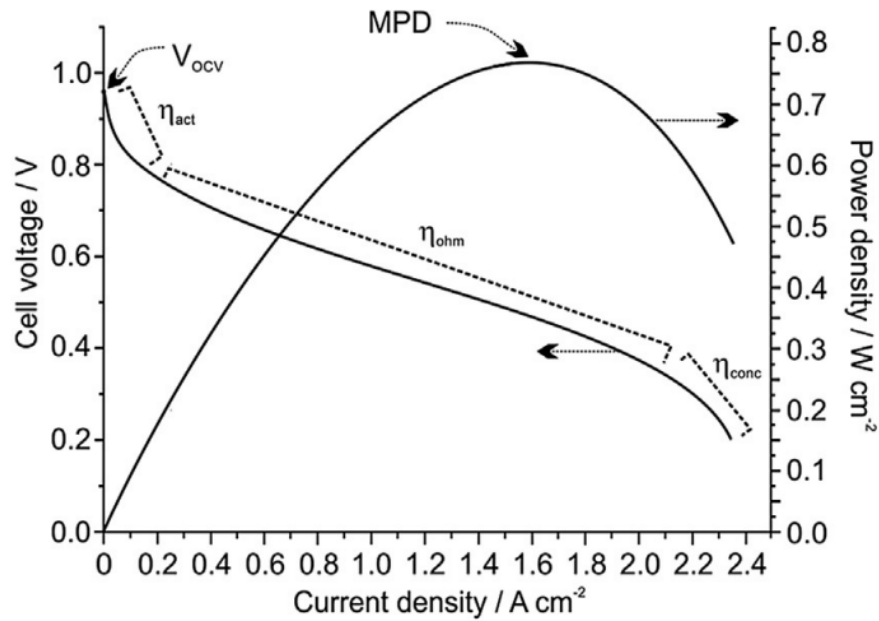


Figura 28. Curva de polarización y densidad de potencia de una PEMFC [26]

El comportamiento de la pila no es lineal, depende como podemos ver de factores como la densidad de corriente, la temperatura de la pila, la humedad de la membrana y la presión parcial del hidrógeno y oxígeno entre otros.

## 3 BALANCE DE PLANTA

### 3.1 Introducción

En primer lugar, el balance de planta conocido como BoP (Balance of Plant), consiste en el conjunto de sistemas auxiliares junto con la unidad generadora en sí que necesita una planta de energía, en este caso el vehículo, para suministrar la potencia necesaria. Se compone fundamentalmente del stack y de tres sistemas: sistema de suministro de aire, sistema de gestión del combustible y sistema de gestión térmica. El primero, se encarga de filtrar, comprimir, humidificar y enfriar el aire previamente a la entrada del cátodo. El segundo, proporciona hidrógeno presurizado desde el tanque de almacenamiento hacia el ánodo a la presión deseada y el hidrógeno a la salida del ánodo es recirculado mediante este sistema. El tercero, absorbe el calor expulsado por la pila de combustible con el objeto de mantener la temperatura requerida para su correcto y óptimo funcionamiento. También enfría la corriente de entrada de aire, el compresor y el inversor, y calienta la del hidrógeno. A continuación, se muestra una figura del balance de planta completo de un vehículo de Hyundai donde se representan los elementos dentro de cada sistema.

## BOP - Balance of Plant

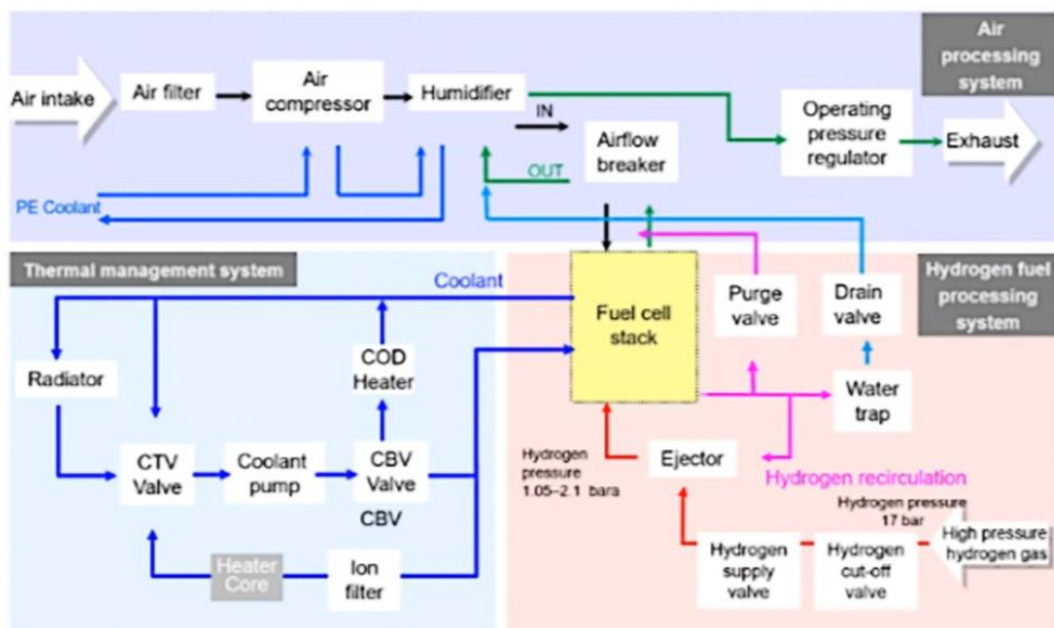


Figura 29. Balance de planta de un vehículo propulsado por hidrógeno.

La pila de combustible genera corriente continua, por lo tanto, es necesario un inversor para convertirla en corriente alterna, que será alimentada al motor eléctrico, a la bomba de recirculación de hidrógeno, a la bomba de agua y al compresor. En los coches eléctricos es común tener un sistema de frenado regenerativo que se encarga de ir recargando la batería gracias a la energía generada en la frenada. Cuando el frenado es más brusco interviene el sistema de frenos hidráulicos. En la siguiente figura se ve de forma más detallada dónde se ubica cada sistema dentro de un vehículo.

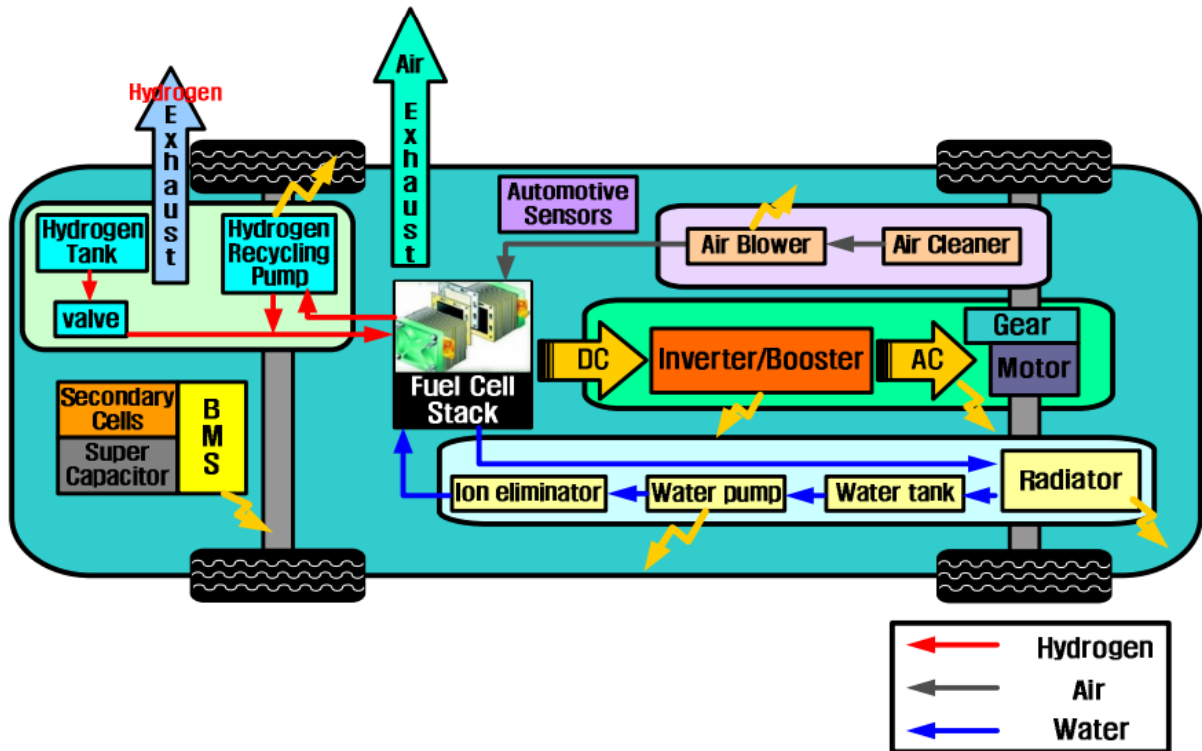


Figura 30. Balance de planta de un vehículo propulsado por pila de combustible de hidrógeno. [31]

### 3.2 Sistema de suministro de aire

El sistema de suministro de aire juega un papel clave en la eficiencia y correcto funcionamiento del stack. Sus tareas más destacables son:

1. Transportar el caudal necesario de aire para todo el rango de potencias.
2. Remover partículas a través de un filtro para evitar dañar la membrana y el catalizador.
3. Es necesario alimentar el aire a una presión mayor que la atmosférica para optimizar el proceso, por lo tanto, se presuriza el aire aproximadamente entre 2-2.5 bar dependiendo del diseño del stack.
4. Humidificar. Se trata de una tarea esencial, puesto que la humidificación del aire determina la eficiencia del stack porque depende de la humedad de la membrana entre otros factores. El agua a la salida de la pila es reutilizada para recargar el agua en el humidificador.

Los componentes necesarios son: filtro, compresor, enfriador (intercambiador de calor), humidificador, válvula de corte y control de presión y sensores de flujo, presión y temperatura. En la siguiente figura se muestra un BoP del sistema de suministro de aire.

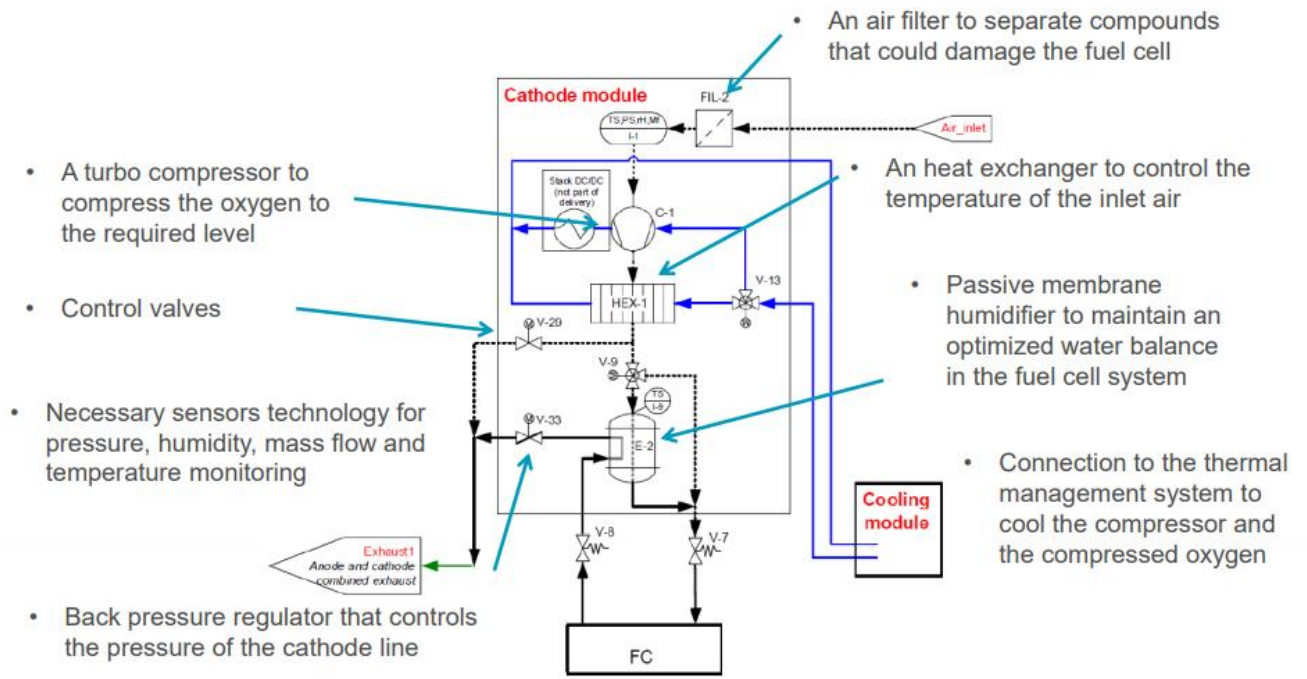


Figura 31. Balance de planta del sistema de suministro de aire. [32]

### 3.2.1 Efectos que provocan la variación de los parámetros de entrada

En cuanto a la presión, es cierto que un aumento a la entrada del cátodo aumenta el voltaje del stack debido a un aumento de la presión parcial del oxígeno. Sin embargo, trae consigo una desventaja, un aumento de pérdidas por corrientes parásitas. Estas pérdidas se deben a un incremento en el consumo del compresor, que puede llegar a representar el 20% o 25% de la potencia eléctrica bruta de la pila. En la siguiente gráfica se representa la variación del voltaje frente a la presión a diferentes excesos de aire.

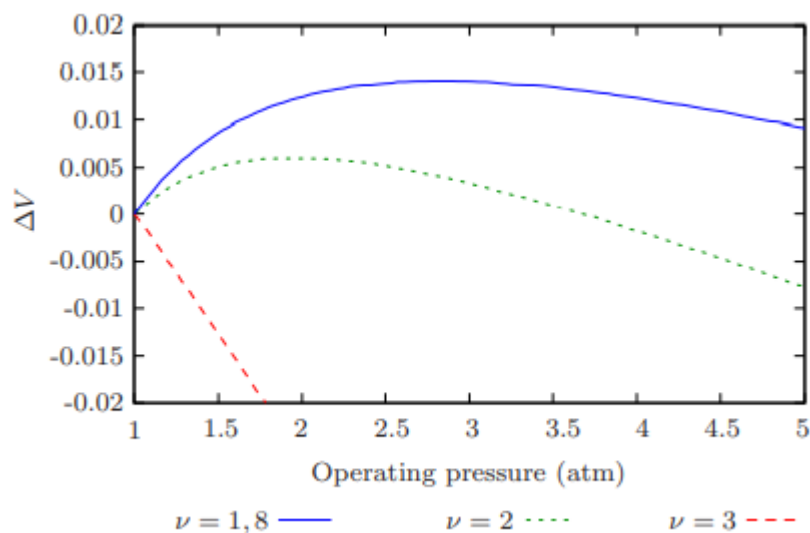


Figura 32. Variación neta del voltaje frente a la presión de operación para diferentes relaciones de exceso de aire [33].

Por otro lado, una ventaja del aumento de presión es que se necesita menos agua para conseguir el mismo nivel de humedad en el aire.

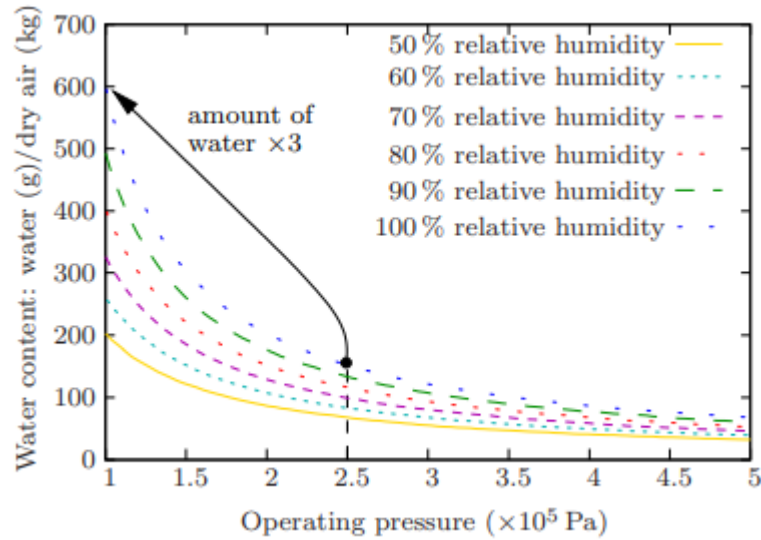


Figura 33. Influencia de la presión de operación en el contenido de agua en el aire. [33]

El contenido de humedad en la membrana afecta directamente a la resistencia de la membrana. Una baja humedad provocaría un aumento en la resistencia, por lo que dificultaría el paso de los protones de hidrógeno a través de esta. Provocaría un aumento de las pérdidas óhmicas.

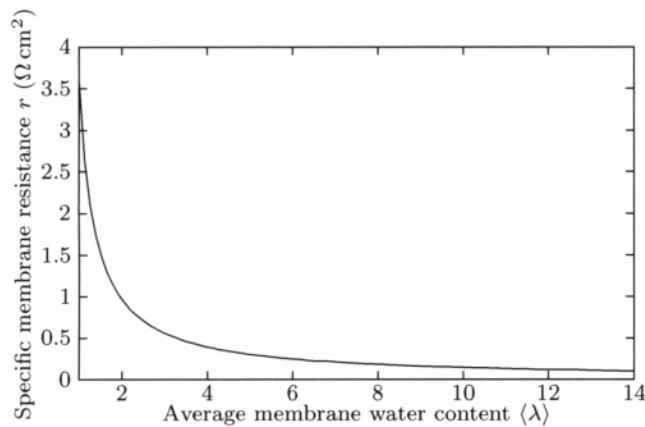


Figura 34. Influencia de la humedad de la membrana sobre la resistencia específica de la membrana. [33]

### 3.2.2 Humidificación

Existen varios métodos para humidificar el aire a la entrada de la pila:

1. Hacer pasar el aire formando burbujas a través del agua. Este método se utiliza más para pilas muy pequeñas con una celda, no se utiliza en la práctica porque consume mucha energía al tener que ser el agua calentada mediante una resistencia.
2. Mediante el intercambio de calor y agua en una superficie adsorbente o a través de un medio permeable como las membranas de Nafion, mostrada en la figura 36 (a) y en la figura 35.

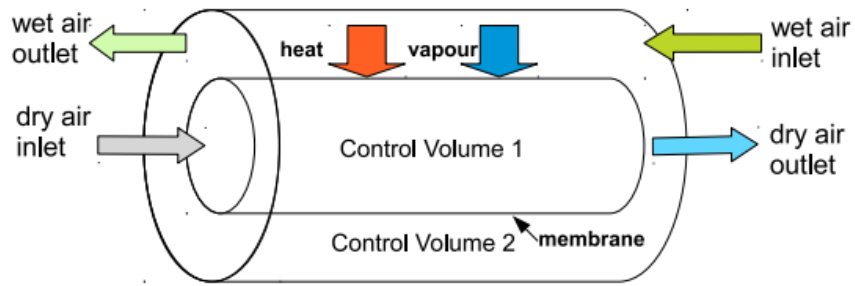


Figura 35. Balance de ambos volúmenes de control en el humidificador con membrana.

3. Inyectando agua directamente bien aguas abajo del compresor o dentro del mismo. Ambos métodos se muestran en la figura 36 (b) y (c) respectivamente. Presentan varias ventajas como su bajo peso, pequeño tamaño y menor consumo de energía. Los humidificadores integrados en el compresor ofrecen un mayor rango de ventajas con respecto a los métodos anteriores.
4. En vez de humidificar la corriente de aire a la entrada del cátodo, se remueve ese humidificador y se humidifica la membrana de manera interna. De esta manera conseguimos reducir el volumen y peso del sistema y mejora la capacidad de arranque en frío. La humidificación interna se consigue utilizando una celda de contraflujo. El aire seco introducido en el lado del cátodo es mezclado con gas de escape húmedo mediante el uso de una válvula de recirculación. Por otro lado, el hidrógeno seco en el lado del ánodo se humidifica mediante la “back-diffusion” o difusión inversa del agua a través de la membrana. Este tipo de humidificación está siendo implementado por Toyota en su nuevo modelo Mirai, como se ve en la figura 37.

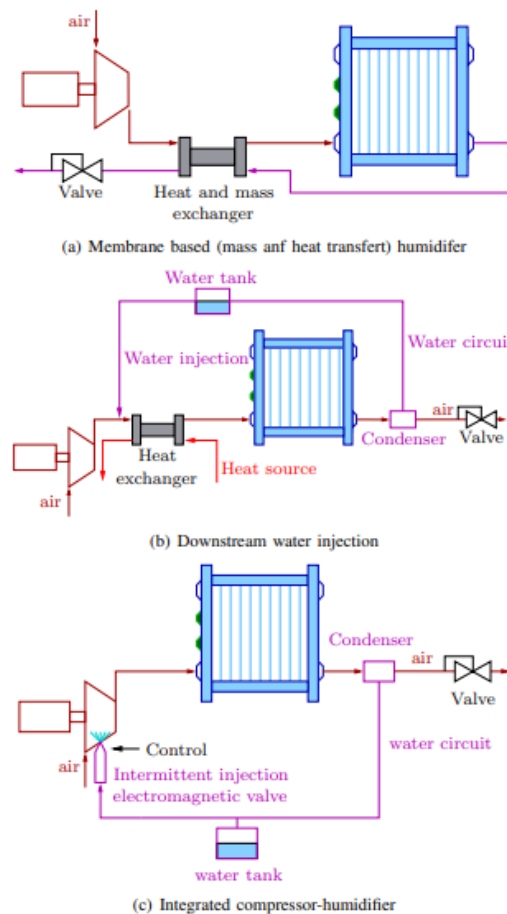


Figura 36. Tipos de humidificación en PEMFC. [33]

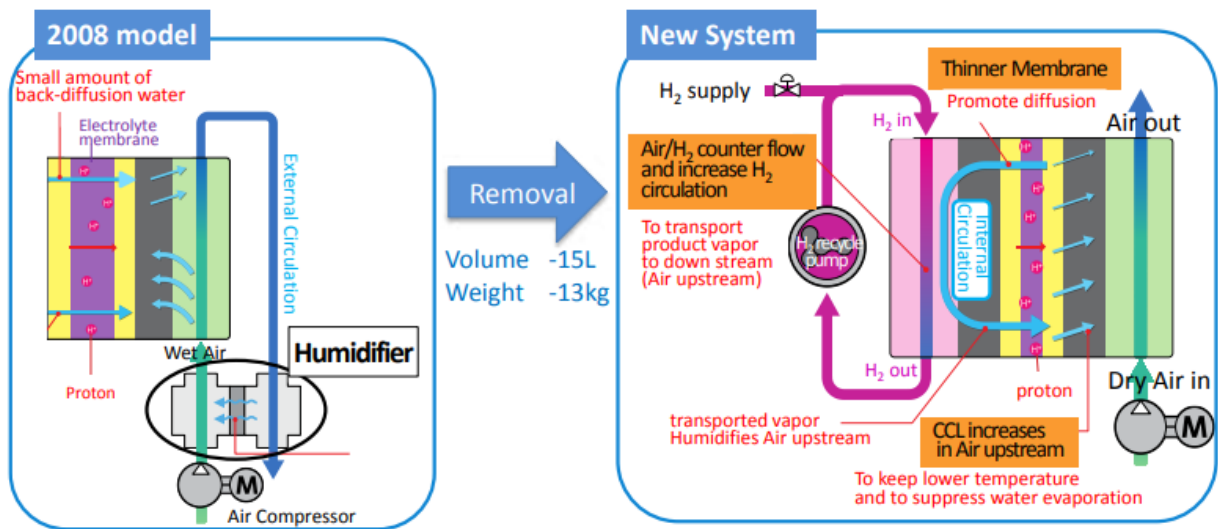


Figura 37. Humidificación interna de Toyota Mirai mediante recirculación. [17]

### 3.2.3 Compresor

Existen muchos tipos de compresores que pueden ser utilizados en los vehículos, pero el más eficiente, compacto y el que menos pesa es el compresor centrífugo. En la siguiente tabla podemos ver una comparativa con otros tres tipos, de tipo Roots, de tornillo (screw), y de scroll.

Type of compressors	Centrifugal	Roots	Screw	Scroll
Compactness	★★★★★	★★★	★	★
Weight	★★★★	★★★	★★	★★
Temperature rise	★★★	★	★★★★	★★★
Pulsations, noise	★★★★	★★	★★★	★★★
Compression	★★★	★★★	★★★★	★★★★★
Cost	★★★★	★★★★★	★★	★★
Durability	★★★	★★★★	★★★	★★★
Average rating	3.7/5	3.0/5	2.7/5	2.6/5

Figura 38. Comparativa de compresores para FCEV.

De hecho, el Honda Clarity desde 2017 utiliza un compresor centrífugo eléctrico fabricado por Garret, que comprime en dos etapas y no utilizan aceite eliminando de esta manera el riesgo de contaminar el aire comprimido y por lo tanto la pila de combustible.



Figura 39. Compresor centrífugo eléctrico con dos etapas de compresión.

Gracias a la reducción de tamaño y el aumento de eficiencia que proporciona este tipo de compresor, el Honda Clarity pasó de poder montar cuatro pasajeros a cinco. Por lo tanto, ganó espacio, lo cual es muy importante. Este turbocompresor puede funcionar a una potencia de 20 kW de manera continua y suministrar aire a una presión de 4 bar.

### 3.3 Sistema de gestión de hidrógeno

El sistema de gestión de hidrógeno regula la presión y la concentración de hidrógeno y, de este modo, garantiza un suministro óptimo de hidrógeno para la pila de combustible. Se proporciona hidrógeno al vehículo a una presión de 700 bar donde se acumula en unos tanques de almacenamiento vistos previamente en la introducción. Para su alimentación a la pila, es necesario que el hidrógeno se encuentre a una temperatura, por lo tanto, se calienta a través de un intercambiador con el lazo caliente del sistema térmico. Posteriormente, el hidrógeno se hace pasar por un regulador de alta presión, donde se produce una reducción de la presión desde 700 a 17 bar. Aguas arriba, encontramos las válvulas de corte y de control donde se regula hasta la presión de alimentación del ánodo situada entre 1 y 2 bar. Si la cantidad de hidrógeno suministrada a la pila es inferior a la que necesita debido a un incremento en la demanda, es decir, en el flujo de oxígeno, puede dar lugar al fenómeno conocido como 'hydrogen starvation'. Esta falta de hidrógeno conduce a una degradación de los electrodos y componentes de la pila. Para garantizar una alta utilización del hidrógeno, este se alimenta en exceso, y para poder aprovechar el hidrógeno que no ha reaccionado se recircula. La recirculación genera un menor tiempo de respuesta en la demanda de potencia y mejora la eficiencia. Sin embargo, puede ocurrir que parte del nitrógeno se diluya en la corriente de hidrógeno a través de la difusión en la membrana al igual que el agua. Ambos elementos, si no son purgados en la recirculación afectan de manera negativa a la eficiencia del stack. El agua que se encuentra en exceso se acumula en un separador, donde se drena hacia el escape a través de una válvula de drenaje. Después, la válvula de purga remueve los gases inertes, es decir, el nitrógeno y vacía el ánodo durante el arranque. Todo el sistema está controlado a través de sensores que determinan el momento y cuánto debe abrir o cerrar cada válvula.

En la figura 40, vemos un esquema del BoP del sistema de gestión de hidrógeno, señalándose cada elemento y su función.

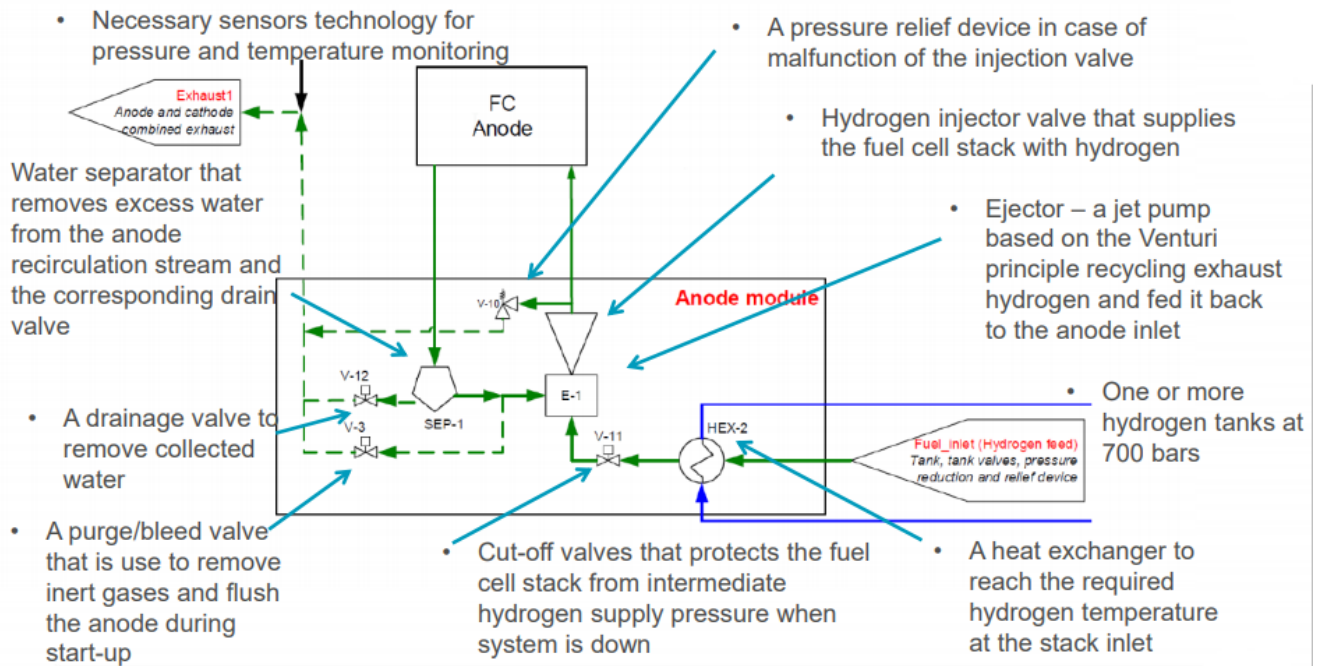


Figura 40. Balance de planta del sistema de gestión de hidrógeno. [32]

### 3.3.1 Funcionamiento de Eyector

Su funcionamiento se basa en el principio de Bernoulli, al aumentar la velocidad de un fluido su presión disminuye y viceversa. Los eyectores utilizan la corriente de alta presión para comprimir la corriente de baja presión, es decir, la recirculada para obtener una corriente de presión intermedia. La corriente de alta presión se hace pasar por una tobera (nozzle) convirtiendo la energía de presión en velocidad, acelerando así su corriente. Al final de la tobera se genera una zona de baja presión, ya que es la zona de mayor velocidad del fluido. Gracias a que esta zona de baja presión es menor que la presión que tiene el fluido que queremos impulsar, la corriente se mueve hacia esta zona, conocida como cámara de succión. Los dos flujos viajan a través de la sección del difusor donde disminuye la velocidad y por lo tanto aumenta su presión, debido a la geometría de la tobera divergente.

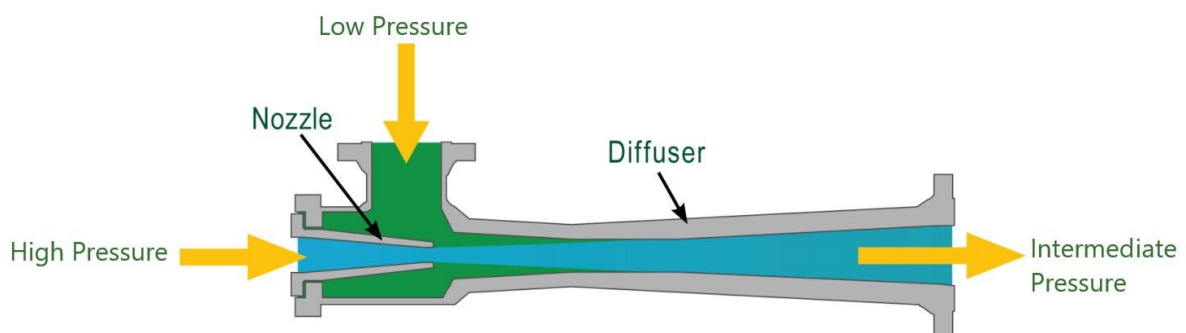


Figura 41. Diagrama de flujos y partes de un eyector.

Posteriormente, la válvula de inyección se encarga de suministrar la cantidad de hidrógeno necesaria. Aguas arriba se instala un dispositivo de alivio de presión, una válvula en caso de que no funcione la de inyección.

### 3.3.2 PEM como bomba de recirculación de hidrógeno

El nitrógeno puede causar que la reacción sea menos uniforme y como consecuencia reduce el rendimiento. Sin embargo, purgar significa perder también hidrógeno, provocando una disminución de la eficiencia del sistema.

No obstante, existe un método de recirculación en el que se consigue que, incluso recirculando, únicamente entre a la pila de combustible hidrógeno disminuyendo las pérdidas de hidrógeno en la purga en un 95% e incrementando la eficiencia del stack hasta en un 2%. Se utiliza un compresor electroquímico, esto es, una PEM conocido como Hydrogen Pump (HP). El hidrógeno a la entrada del ánodo se ve forzado a dividirse en electrones y protones debido a la aplicación de un potencial eléctrico. El protón pasa por la membrana reuniéndose con el electrón en el cátodo. Al tratarse de un sistema cerrado, el incremento de flujo de hidrógeno en el ánodo genera un aumento de presión en el cátodo. Este proceso evita la pérdida de hidrógeno, puesto que únicamente pasa hidrógeno hacia el cátodo y en el ánodo se realiza la purga del nitrógeno.

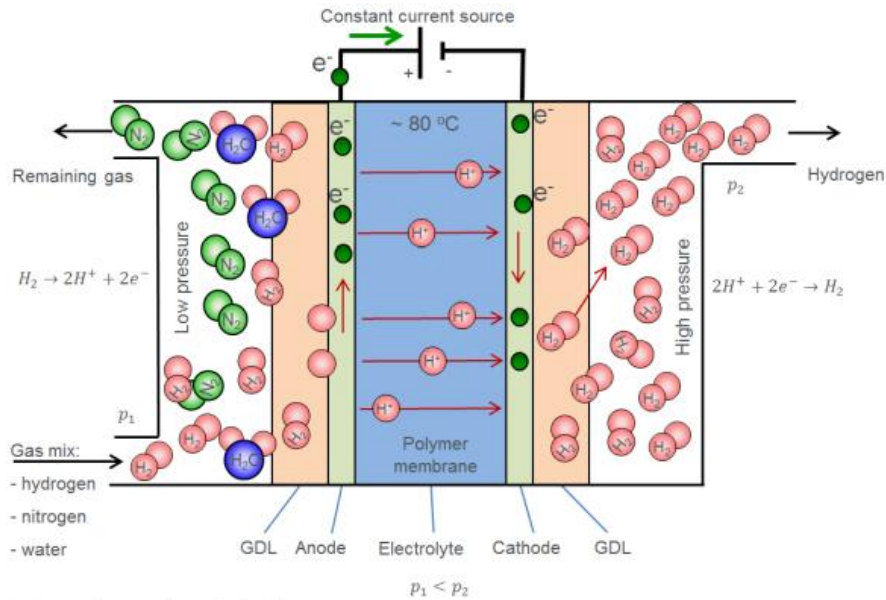


Figura 42. Funcionamiento de compresor electroquímico. [34]

Al tratarse de una PEM puede ser integrado al stack con facilidad. A continuación, se muestran dos posibles tipos de integración mecánica al stack.

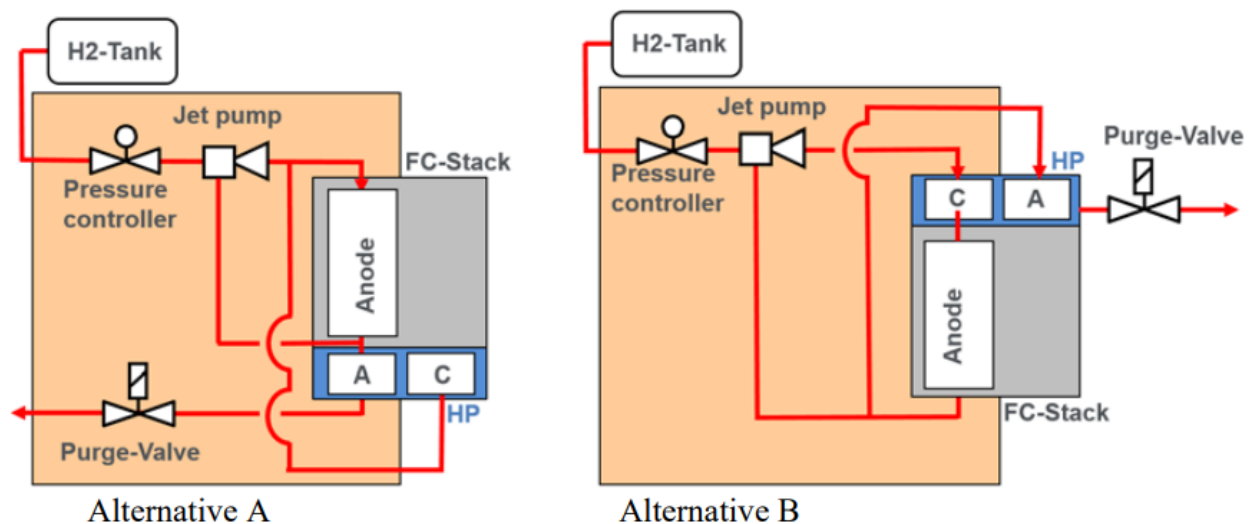


Figura 43. Dos tipos de integración del compresor electroquímico en el stack. [34]

La primera alternativa, la alternativa A, es la que mejor utiliza el espacio, aumentando la longitud del stack tan solo entre 30 y 60 milímetros. La bomba de hidrógeno está situada en serie a la salida del ánodo, recirculando la salida del cátodo hacia la entrada del stack. Por el contrario, la alternativa B sitúa la HP delante de la FC, haciendo pasar por el cátodo el hidrógeno seco proveniente del depósito donde se mezcla con el hidrógeno

húmedo proveniente de la recirculación. De esta manera se humidifica el hidrógeno del tanque. El vapor de agua es transportado del ánodo hacia el cátodo de manera similar a la pila de combustible, debido a factores como el arrastre electrosmótico, la difusión y la permeabilidad. Por el cátodo circula hidrógeno seco, esto permite que el caudal de agua transportado hacia el cátodo pueda ser mayor. La gran ventaja de esta alternativa es que el nitrógeno no consigue entrar a la pila, puesto que es directamente recirculado a la bomba de hidrógeno. Esto consigue un aumento de la eficiencia. Sin embargo, este método de compresión puede resultar más costoso y no tan conveniente desde ese punto de vista.

### 3.4 Sistema de gestión térmica

La pila de combustible genera calor como subproducto de la reacción electroquímica. Para mantener la temperatura necesaria de operación, se debe absorber el calor. Parte del calor se disipa mediante la superficie de la pila y otra parte se extrae mediante un sistema de refrigeración. Para ello se utiliza un refrigerante, que debe tener las siguientes características:

- Buen conductor térmico
- Bajo punto de congelación
- Elevado punto de ebullición
- No corrosivo para los metales
- No genere espuma

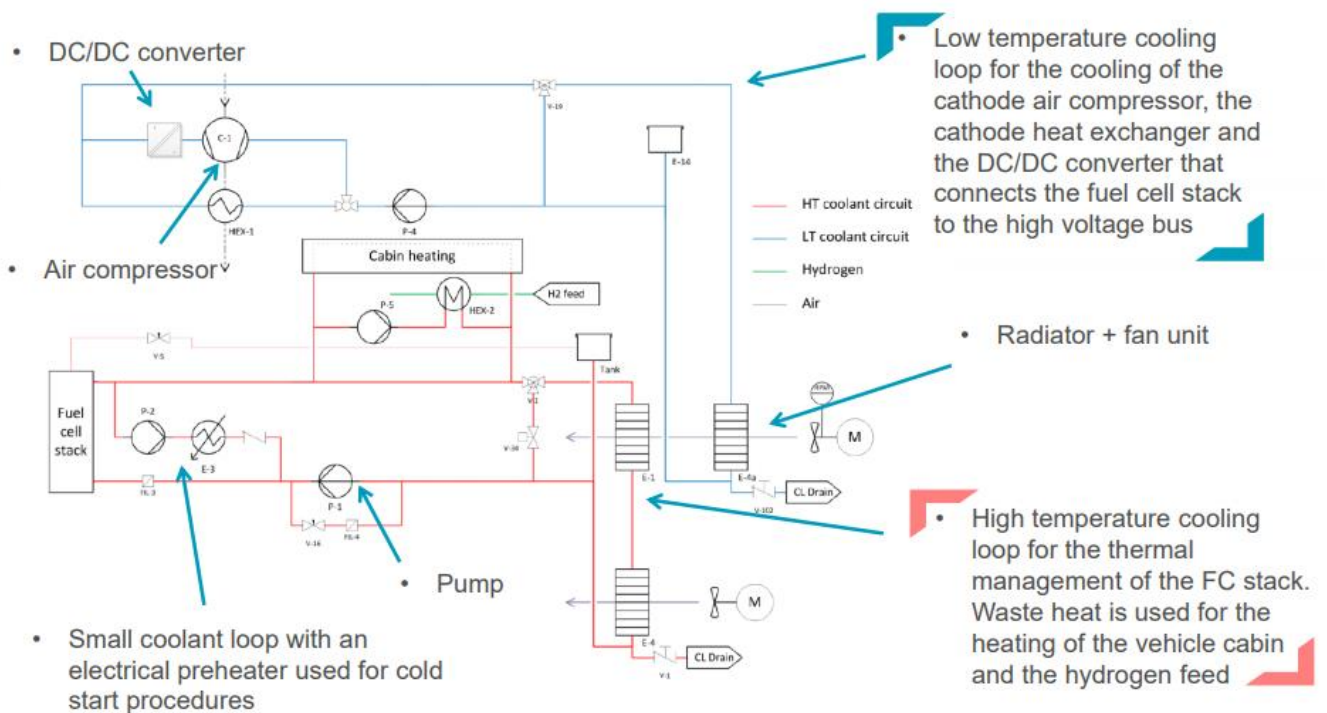


Figura 44. Balance de planta del sistema de gestión térmica. [32]

El sistema de gestión térmica se divide en dos circuitos, de baja y alta temperatura. El primero se encarga de refrigerar el aire de entrada, el compresor y el inversor. El segundo mantiene la temperatura de operación requerida del stack y el calor a la salida se utiliza para calentar el interior del vehículo y la corriente de alimentación de hidrógeno. Dentro de este circuito se encuentra otro más pequeño. Este se compone de un precalentador eléctrico, pudiendo ser una resistencia eléctrica, que se utiliza en los arranques en frío para evitar la formación de hielo en el stack y reducir el tiempo de arranque. Durante su funcionamiento, el refrigerante en el circuito externo no fluye hasta que sea necesario.

En cuanto a la temperatura de operación, las PEMFC operan normalmente a 80 °C mientras que los ICE funcionan alrededor de 110 °C. Esta menor diferencia de temperatura con el ambiente requiere un radiador de mayor tamaño cuando el FCEV trabaja a su máxima potencia. En este sentido, interesa operar a mayor temperatura para reducir el coste y tamaño del radiador.

## 4 DESCRIPCIÓN DEL MODELO MATEMÁTICO

En el presente apartado, se expresan las ecuaciones necesarias en función de variables operativas como la temperatura de la celda, presiones parciales de oxígeno e hidrógeno y ratios estequiométricos que definen el funcionamiento de la PEMFC y del compresor, con el objetivo de caracterizar las curvas de interés del balance de planta. En la siguiente tabla se representan las variables de entrada del modelo:

	STACK	TURBOCOMPRESOR
<b>VARIABLES DE ENTRADA</b>	Ratio estequiométrico del oxígeno ( $S_{O_2}$ )	Relación de compresión (RC)
	Ratio estequiométrico del hidrógeno ( $S_{H_2}$ )	Rendimiento ( $\eta_{TT}^{compresor}$ )
	Temperatura de operación ( $T_{cell}$ )	
	Temperatura del cátodo ( $T_{ca}$ )	
	Temperatura del ánodo ( $T_{an}$ )	
	Presión del hidrógeno en el ánodo ( $P_{H_2}$ )	
	Coefficiente de purga del nitrógeno (N)	
	Area de la celda ( $A_{cell}$ )	
	Número de celdas ( $n_{cell}$ )	

Tabla 3. Variables de entrada del modelo del BoP.

El modelo está compuesto por 170 ecuaciones y 171 variables. La variable independiente es la densidad de corriente.

### 4.1 Pila de combustible

En este subapartado se calculará el voltaje reversible al que trabaja la pila de combustible y las pérdidas de activación, óhmicas y de concentración en función de la presión y la temperatura.

#### 4.1.1 Ecuación de Nernst

La tensión de salida de una célula simple puede definirse mediante la ecuación [35]:

$$V_{cell} = V_{OCV} - V_{act} - V_{ohmic} - V_{con}$$

Ecuación 4-1. Voltaje de salida de una celda.

$$V_{OCV} < E_{nernst}$$

Ecuación 4-2. Voltaje a circuito abierto es sensiblemente inferior al voltaje de nernst.

Para n celdas agrupadas en serie y formando el stack, el voltaje resultante sería:

$$V_s = V_{cell} \cdot n_{cell}$$

Ecuación 4-3. Voltaje de salida del stack.

Siendo  $n_{cell}$  el número de celdas que contiene la pila. El potencial de circuito abierto ( $V_{OCV}$ ) siempre será menor comparado con su valor termodinámico,  $E_{nernst}$ , que representa su voltaje reversible. Este último se calcula mediante la Ecuación de Nernst, que relaciona el cambio de energía libre de Gibbs ( $\Delta G$ ), igual

al trabajo eléctrico máximo, el número de electrones involucrados en la reacción ( $n$ ), y la constante de Faraday ( $F$ ) expresada en (A.s/mol).

$$E_{nernst} = -\frac{\Delta G}{nF}$$

$$\Delta G = -W_{elec} = \Delta H - T\Delta S$$

$$\Delta G = G_{productos} - G_{reactivos} = G_{H_2O} - G_{H_2} - G_{O_2} = \Delta G^\circ - RT \ln \left[ \frac{p_{H_2} \cdot p_{O_2}^{\frac{1}{2}}}{p_{H_2O}} \right]$$

$$\Delta G^\circ = -E^\circ nF$$

Siendo  $\Delta G^\circ$  la variación de la energía libre de Gibbs en condiciones estándar (J),  $R$  la constante universal de los gases ideales (J/mol K), y  $p$  la presión parcial de los gases involucrados en la reacción (Pa). El voltaje teórico en condiciones estándar (1 atm, 289 K),  $E^\circ$ , equivale a 1.229V cuando a la salida existe agua en estado líquido, que es nuestro caso. Cuando el producto es vapor de agua, el voltaje teórico es igual a 1.18 V [25].

Sustituyendo obtenemos:

$$E_{nernst} = \frac{-\Delta G^\circ}{2F} + \frac{RT}{2F} \ln \left[ \frac{p_{H_2} \cdot p_{O_2}^{\frac{1}{2}}}{p_{H_2O}} \right] = E^\circ + \frac{RT}{2F} \ln \left[ \frac{p_{H_2} \cdot p_{O_2}^{\frac{1}{2}}}{p_{H_2O}} \right] = f(T, P)$$

Que también puede ser expresada de la siguiente forma, con la temperatura expresada en Kelvin y la presión en bar:

$$E_{nernst} = 1.229 - 0.85 \cdot 10^{-3} \cdot (T - 298.15) + 4.31 \cdot 10^{-5} \cdot T \cdot \left[ \ln(p_{H_2}) + \frac{1}{2} \ln(p_{O_2}) \right]$$

Ecuación 4-4. Ecuación de Nernst en función de la temperatura y presiones parciales del hidrógeno y oxígeno.

#### 4.1.2 Pérdidas

Las pérdidas se expresan en función de parámetros y características específicas de la pila. Por ejemplo, las de activación se dividen en ánodo y cátodo al igual que las de concentración, y las de activación dependen de los coeficientes de transferencia y de la densidad de corriente de intercambio, que a su vez depende de concentraciones de referencia, densidad de corriente de referencia, energía de activación y de la temperatura. Para el caso de las óhmicas, pueden ser expresadas por la ley de Ohm:

$$V_{ohm} = iR_i$$

Siendo  $R_i$  la resistencia equivalente e  $i$  la densidad de corriente. Por último, tenemos las de concentración, que dependen de la densidad de corriente límite, que a su vez depende de la distancia de difusión, de la concentración total de oxígeno y del coeficiente de difusión de las especies reaccionantes. Estas pérdidas aumentan con el aumento de la humedad en la celda, al contrario que las óhmicas.

En definitiva, la estimación o cálculo de estos parámetros al no tener una pila en concreto que estudiar, no pueden ser realizados. Por lo tanto, el objetivo perseguido ha sido optar por un modelo que a través de una función polinómica exprese las pérdidas únicamente en función de las variables de entrada como el ratio

estequiométrico del oxígeno, la temperatura de la celda y las presiones parciales del oxígeno y del hidrógeno.

El modelo se ha modificado del original ya que las pilas de combustible han mejorado sus prestaciones y han conseguido disminuir el porcentaje de pérdidas [36]. Por otro lado, las pérdidas por concentración se han obtenido de otro modelo más reciente que se aproximaban de mejor manera [35]. En cuanto al efecto de la humedad y de la temperatura de la celda en las pérdidas, se ha obtenido una aproximación a partir de un estudio realizado entre otros por el tutor de este trabajo, Alfredo Iranzo [37]. Estudiaron la variación de las curvas de polarización en función del ratio estequiométrico de oxígeno, la temperatura de la celda y la presión. El ratio estequiométrico de oxígeno es un parámetro de gran importancia a estudiar ya que de él depende el contenido másico de agua en la celda y el caudal de aire a la entrada. Con el propósito de obtener una función que determine las pérdidas, se ha identificado el rango donde las pérdidas actúan y a través de un software llamado 'Engauge Digitizer' se han exportado los datos de los puntos que definen cada curva a un Excel. En él, se ha representado cada pérdida en una gráfica. Los puntos han sido aproximados mediante una curva de dispersión y se ha obtenido una función polinómica que los define. Esta función se ha integrado a las pérdidas para su posterior estudio. Puesto que nuestra pila es bastante más grande y da más potencia se han ajustado las pérdidas aumentándolas de manera proporcional para que se ajusten de la mejor manera posible.

Las pérdidas según el modelo se expresan de la siguiente manera:

$$V_{act} = x_1 \cdot \left( 1 - \exp\left(\frac{i}{x_2}\right) \right)$$

Ecuación 4-5. Expresión del modelo para las pérdidas por activación.

$$V_{ohm} = x_3 \cdot i$$

Ecuación 4-6. Ecuación del modelo para las pérdidas óhmicas.

$$V_{con} = x_4 \cdot \exp(i \cdot x_5)$$

Ecuación 4-7. Expresión del modelo para las pérdidas por concentración.

Donde  $x_2$ ,  $x_3$  y  $x_4$  contienen la influencia del ratio estequiométrico del oxígeno y  $x_3$  y  $x_4$  de la temperatura del stack. La función polinómica de cada influencia se adjunta en el anexo junto con el código.

$$x_1 = 0.3$$

$$x_2 = 0.5 - x_{SO_2,act}$$

$$x_3 = R + x_{SO_2,ohm} + x_{Tcell,ohm}$$

Siendo  $R = 0.08 (\Omega cm^2)$ .

Originalmente  $x_4$  tenía un valor fijo e igual a 0.003 pero se ha ajustado la curva para que en condiciones nominales obtengamos las mismas pérdidas, siendo  $x_{SO_2,con}$  y  $x_{Tcell,con}$  igual a 1.

$$x_4 = 0.001x_{SO_2,con} + 0.002x_{Tcell,con}$$

$$x_5 = 3.3$$

La potencia eléctrica,  $\dot{W}_{el}$  (W), producida por el stack es:

$$\dot{W}_{el} = V_s \cdot I$$

Ecuación 4-8. Potencia eléctrica generada por el stack.

Siendo  $I$ (A) la intensidad demandada por el stack.

## 4.2 Compresor

El turbocompresor utiliza para el cálculo del trabajo específico ambas variables de presión y temperatura de remanso. No obstante, debido a que las relaciones de compresión son bajas en este tipo de usos de los turbocompresores, se puede trabajar con la relación de presiones y temperaturas absolutas en vez de con las de remanso.

Para ello, se ha realizado mediante el programa EES [38] una comparativa de la variación de las presiones y temperaturas de remanso con las absolutas, suponiendo los valores del diámetro y velocidad a la entrada del fluido y se ha apreciado una diferencia despreciable. Sin embargo, desconocemos los valores reales de los diámetros de los conductos y la velocidad del fluido a la entrada, sustentar dicha suposición podría tener una mayor repercusión que la anterior. Podríamos entonces concluir que es válida.

Por lo tanto, el trabajo que es capaz de suministrar el turbocompresor se define como:

$$W_c = \frac{C_p \cdot T_1}{\eta_{TT}^{compresor}} \cdot (RC^{\frac{\gamma-1}{\gamma}} - 1)$$

Ecuación 4-9. Trabajo consumido por un turbocompresor.

Y la potencia es el trabajo multiplicado por el caudal de aire de entrada:

$$\dot{W}_c = \dot{m}_{Air,in} \cdot \frac{C_p \cdot T_1}{\eta_{TT}^{compresor}} \cdot (RC^{\frac{\gamma-1}{\gamma}} - 1)$$

Ecuación 4-10. Potencia consumida por un turbocompresor.

Debido a pérdidas mecánicas, el trabajo del compresor será sensiblemente menor, siendo el trabajo del compresor real igual a:

$$\dot{W}_{c,real} = \frac{\dot{W}_c}{\eta_{mecánico}}$$

Ecuación 4-11. Potencia real consumida por un turbocompresor.

Siendo  $\gamma$  el coeficiente adiabático del aire, igual a 1,4 y  $T_1$  la temperatura a la entrada del compresor y  $RC$  la relación de compresión, el rendimiento del compresor igual a 0.7 y el rendimiento mecánico igual a 0.95.

$$RC = \frac{P_2}{P_1}$$

Ecuación 4-12. Relación de compresión.

La  $P_1$  se refiere a la presión a la entrada del turbocompresor, que debido al filtro de partículas puede disminuir levemente. La suponemos igual a la atmosférica. Para calcular la temperatura a la salida, utilizamos la siguiente

relación isentrópica:

$$\frac{1}{RC} = \left(\frac{T_1}{T_2}\right)^{\frac{\gamma}{\gamma-1}}$$

Ecuación 4-13. Relación isentrópica.

El cálculo del rendimiento del turbocompresor sería complejo y no es objeto de este trabajo, necesitaríamos calcular las entalpías de remanso y las entalpías de remanso isentrópicas y necesitaríamos datos de los que no disponemos, por lo que se ha supuesto un rendimiento total a total del compresor constante e igual a 0.7.

Las pérdidas parásitas ( $\xi$ ), se definen como:

$$\xi = \frac{\dot{W}_{aux}}{\dot{W}_{el}}$$

Ecuación 4-14. Pérdidas parásitas.

Siendo el  $\dot{W}_{aux}$  la potencia de los equipos auxiliares. En nuestro caso como el compresor es el único elemento que consume potencia de la pila, tendremos que:

$$\dot{W}_{aux} = \dot{W}_{c,real}$$

Y así obtenemos la potencia neta, restándole a la potencia generada por la pila la potencia de equipos auxiliares.

$$\dot{W}_{neta} = \dot{W}_{el} - \dot{W}_{aux}$$

Ecuación 4-15. Potencia neta suministrada por el sistema.

### 4.3 Balance de materia

Con el fin de obtener el balance de energía, es necesario plantear previamente el balance de materia. En la siguiente figura se observa un volumen de control de la PEMFC señalando las entradas y salidas.

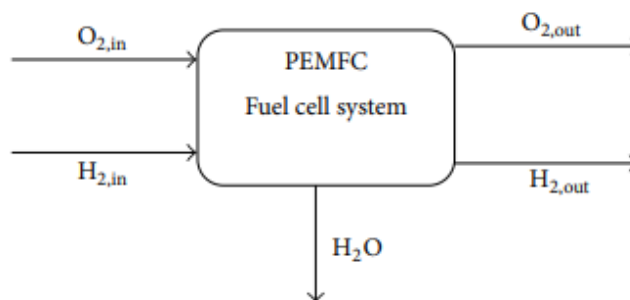


Figura 45. Balance de materia a la PEMFC. [39]

Todos los flujos de entrada y salida dependen de la densidad de corriente. Necesitaremos calcular los flujos de consumo y generación de agua. Haciendo balance a cada componente:

$$\dot{m}_{H_2,in} = \dot{m}_{H_2,react} + \dot{m}_{H_2,out}$$

Ecuación 4-16. Balance de materia del hidrógeno en el ánodo.

$$\dot{m}_{O_2,in} = \dot{m}_{O_2,react} + \dot{m}_{O_2,out}$$

Ecuación 4-17. Balance de materia del oxígeno en el cátodo.

El balance global es:

$$\begin{aligned} \dot{m}_{H_2,in} + \dot{m}_{H_2O,in,H_2in} + \dot{m}_{Air,in} + \dot{m}_{H_2O,in,Airin} \\ = \dot{m}_{H_2,out} + \dot{m}_{H_2O,in,H_2out} + \dot{m}_{Air,out} + \dot{m}_{H_2O,in,Airout} + \dot{m}_{H_2O,gen} \end{aligned}$$

Ecuación 4-18. Balance de materia global para una pila de combustible.

### 4.3.1 Entrada

Los caudales de hidrógeno, oxígeno y nitrógeno de entrada y el caudal de aire se calculan de la siguiente manera:

$$\dot{m}_{H_2,in} = S_{H_2} \frac{M_{H_2}}{2F} (I \cdot n_{cell})$$

Ecuación 4-19. Caudal de hidrógeno a la entrada.

$$\dot{m}_{O_2,in} = S_{O_2} \frac{M_{O_2}}{4F} (I \cdot n_{cell})$$

Ecuación 4-20. Caudal de oxígeno a la entrada.

$$\dot{m}_{N_2,in} = S_{O_2} \frac{M_{N_2}}{4F} \frac{1 - r_{O_2,in}}{r_{O_2,in}} (I \cdot n_{cell})$$

Ecuación 4-21. Caudal de nitrógeno a la entrada.

El caudal de nitrógeno a la entrada y a la salida es el mismo, si bien se debe tener en cuenta para el balance de energía.

$$\dot{m}_{N_2,in} = \dot{m}_{N_2,out}$$

Siendo el caudal de aire a la entrada, la suma del oxígeno y nitrógeno.

$$\dot{m}_{Air,in} = \dot{m}_{O_2,in} + \dot{m}_{N_2,in}$$

Ecuación 4-22. Caudal de aire a la entrada.

Donde S es el ratio estequiométrico, M el peso molecular y  $\dot{m}$  el flujo másico expresado en gramos/segundo. Por otro lado, estas expresiones son válidas para el flujo molar a través de la siguiente ecuación:

$$\dot{n}_i = \frac{\dot{m}_i}{M_i}$$

El caudal de agua presente a la entrada de la pila  $\dot{m}_{H_2Oin,Airin}$  se define como:

$$\dot{m}_{H_2Oin,Airin} = \frac{S_{O_2} M_{H_2O}}{r_{O_2} 4F} \cdot \frac{\varphi_{ca} P_{vs}(T_{ca,in})}{P_{ca} - \varphi_{ca} P_{vs}(T_{ca,in})} (I \cdot n_{cell})$$

Ecuación 4-23. Caudal de agua presente en el aire de entrada del cátodo

Siendo  $r_{O_2,in} = 0.2095$  es ratio de oxígeno en el aire,  $\varphi_{ca}$  es la humedad relativa en el cátodo, y  $P_{vs}$  es la presión de saturación a la temperatura de entrada del cátodo.

El contenido de agua a la entrada del ánodo es:

$$\dot{m}_{H_2Oin,H_2in} = \frac{S_{H_2} M_{H_2O}}{2F} \cdot \frac{\varphi_{an} P_{vs}(T_{an,in})}{P_{an} - \varphi_{an} P_{vs}(T_{an,in})} (I \cdot n_{cell})$$

Ecuación 4-24. Caudal de agua presente en el hidrógeno a la entrada del ánodo.

Siendo  $\varphi_{an}$  es la humedad relativa en el ánodo, y  $P_{vs}(T_{an,in})$  es la presión de saturación a la temperatura de entrada del ánodo.

La presión de saturación se calcula a través de una función que depende únicamente de la temperatura  $T_{ca,in}$  o  $T_{an,in}$ .

$$P_{vs} = \exp(a \cdot T^{-1} + b + c \cdot T + d \cdot T^2 + e \cdot T^3 + f \cdot \ln(T))$$

Ecuación 4-25. Presión de saturación en función de la temperatura del cátodo o ánodo.

Siendo los coeficientes:

$$\begin{aligned} a &= -5800.2206 \\ b &= 1.3914993 \\ c &= -0.048640289 \\ d &= 0.41764768 \cdot 10^{-4} \\ e &= -0.14452093 \cdot 10^{-7} \\ f &= 6.545973 \end{aligned}$$

Una vez que calculemos la presión de saturación del vapor ( $P_{vs}$ ) y tengamos la presión parcial del vapor ( $P_v$ ) en el aire o en el hidrógeno, podremos calcular su humedad relativa mediante su relación:

$$\varphi = \frac{P_v}{P_{vs}}$$

Ecuación 4-26. Humedad relativa.

Las presiones parciales se calculan a partir de la ley de las presiones parciales de Dalton. Para conocer la presión parcial de un gas se necesita la fracción molar y su presión total.

$$x_i = \frac{n_i}{n} \quad ; \quad p_i = x_i \cdot p_{total}$$

Ecuación 4-27. Ley de Dalton.

### 4.3.2 Salida

A la salida tenemos el hidrógeno, el aire, el agua en la corriente del hidrógeno y del aire y el agua generada.

En primer lugar, el caudal generado de agua depende únicamente de la intensidad demandada:

$$\dot{m}_{H_2O,gen} = \frac{M_{H_2O}}{2F} \cdot (I \cdot n_{cell})$$

Ecuación 4-28. Caudal generado de agua en el cátodo.

Las corrientes de salida del hidrógeno y oxígeno son las de entrada menos lo que reacciona.

$$\dot{m}_{H_2,out} = \dot{m}_{H_2,in} - \dot{m}_{H_2,react}$$

$$\dot{m}_{O_2,out} = \dot{m}_{O_2,in} - \dot{m}_{O_2,react}$$

La cantidad de hidrógeno y oxígeno que reacciona es la misma que la de entrada, pero con el coeficiente estequiométrico igual a 1.

$$\dot{m}_{H_2,react} = \frac{M_{H_2}}{2F} (I \cdot n_{cell})$$

Ecuación 4-29. Caudal consumido de hidrógeno en el ánodo.

$$\dot{m}_{O_2,react} = \frac{M_{O_2}}{4F} (I \cdot n_{cell})$$

Ecuación 4-30. Caudal consumido de oxígeno en el cátodo.

Por lo tanto, tenemos a la salida que:

$$\dot{m}_{H_2,out} = (S_{H_2} - 1) \frac{M_{H_2}}{2F} (I \cdot n_{cell})$$

Ecuación 4-31. Caudal de salida del hidrógeno.

$$\dot{m}_{O_2,out} = (S_{O_2} - 1) \frac{M_{O_2}}{4F} (I \cdot n_{cell})$$

Ecuación 4-32. Caudal de salida del oxígeno.

El contenido de agua en el aire a la salida que es igual a:

$$\dot{m}_{H_2Oin,Airout} = \dot{m}_{H_2Oin,Airin} + \dot{m}_{H_2Ogen} + \dot{m}_{H_2OED} - \dot{m}_{H_2OBD}$$

Ecuación 4-33. Balance del contenido de agua en el cátodo.

Como parte del agua a la salida sale en forma de vapor de agua o en estado líquido, calculamos el flujo de vapor de agua a través de la siguiente ecuación:

$$\dot{m}_{H_2Oin,Airout,V} = \min \left( \frac{(S_{O_2} - r_{o_2,in})M_{H_2O}}{r_{o_2,in}4F} \cdot \frac{P_{vs}(T_{ca,out})}{P_{ca} - \Delta P_{ca} - P_{vs}(T_{ca,out})} (I \cdot n_{cell}), \dot{m}_{H_2Oin,Airout} \right)$$

Ecuación 4-34. Caudal de vapor de agua a la salida del cátodo.

Para obtener esta ecuación se ha escrito en el código una función de la que se obtiene el mínimo entre dos variables de entrada.

$\dot{m}_{H_2OED}$  es el flujo de agua que va del ánodo hacia el cátodo debido al arrastre electroosmótico. Cuando el cátodo se satura, una cierta cantidad de agua,  $\dot{m}_{H_2OBD}$ , fluye hacia el ánodo, produciendo lo que se conoce como difusión inversa o “back diffusion”. Su relación es:

$$\dot{m}_{H_2OED}\beta = \dot{m}_{H_2OBD}$$

Ecuación 4-35. Relación entre caudal de agua debido al arrastre electroosmótico y caudal de agua debido a la difusión inversa.

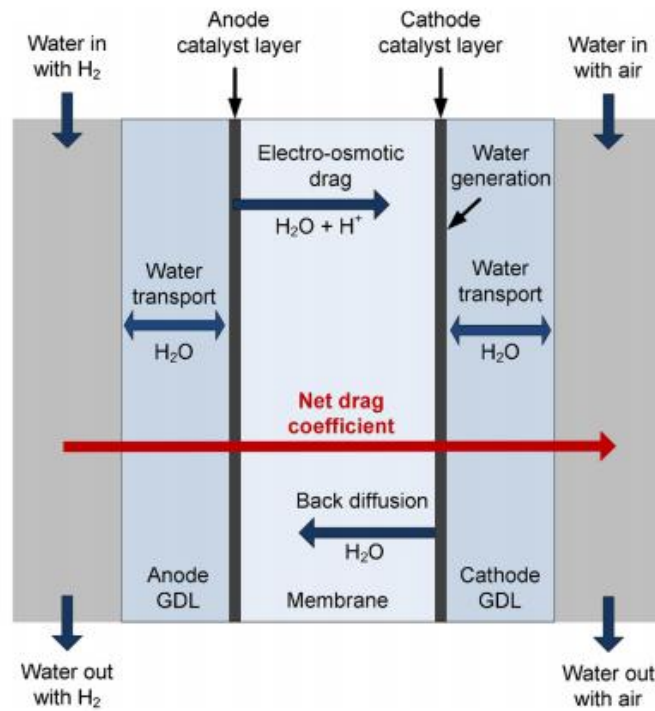


Figura 46. Diagrama esquemático del transporte de agua en la PEMFC. [40]

En el lado del ánodo, el hidrógeno contiene a su entrada una cantidad de vapor de agua, que es diferente al de salida. El contenido de agua en el hidrógeno a la salida es:

$$\dot{m}_{H_2Oin,H_2out} = \dot{m}_{H_2Oin,H_2in} - \dot{m}_{H_2OED} + \dot{m}_{H_2OBD}$$

Ecuación 4-36. Balance de agua en el ánodo.

Dependiendo del caudal de hidrógeno, es decir, de su estequiometría y condiciones a la salida (presión y temperatura) el caudal de agua a la salida será únicamente vapor o puede haber parte de agua líquida presente. Para calcular la cantidad de vapor de agua presente a la salida en la corriente de hidrógeno, debemos identificar el mínimo entre el flujo de agua total en la salida del ánodo y la cantidad máxima el gas de escape puede llevar (saturación).

$$\dot{m}_{H_2Oin,H_2out,V} = \min \left( \frac{(S_{H_2} - 1)M_{H_2O}}{2F} \cdot \frac{P_{vs}(T_{an,out})}{P_{an} - \Delta P_{an} - P_{vs}(T_{an,out})} (I \cdot n_{cell}), \dot{m}_{H_2Oin,H_2out} \right)$$

Ecuación 4-37. Caudal de vapor de agua a la salida del ánodo.

Donde  $\Delta P_{an}$  es la diferencia de presiones entre la salida y la entrada del ánodo.

Y para calcular la cantidad de agua líquida a la salida del ánodo, si es que hay, le restamos la cantidad de vapor calculada anteriormente.

$$\dot{m}_{H_2Oin,H_2out,L} = \dot{m}_{H_2Oin,H_2out} - \dot{m}_{H_2Oin,H_2out,V}$$

Ecuación 4-38. Caudal de agua líquida a la salida del ánodo.

#### 4.4 Balance de energía

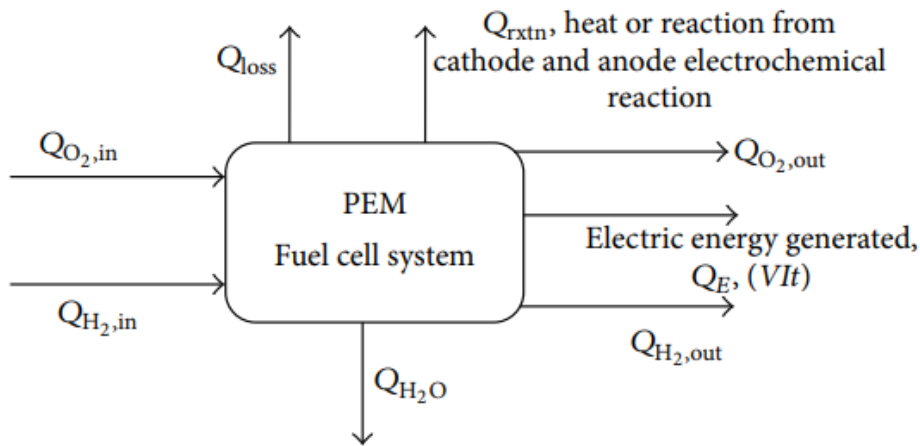


Figura 47. Diagrama representativo de los flujos energéticos de entrada y salida. [39]

$$\sum (\dot{H}_i)_{in} = \dot{W}_{el} + \sum (\dot{H}_i)_{out} + \dot{Q}$$

Ecuación 4-39. Balance de energía aplicado al stack.

Las entradas son el hidrógeno, oxígeno y vapor de agua contenido en el aire. Por otro lado, a la salida obtenemos:

1. Potencia eléctrica producida.
2. Entalpías a la salida: la entalpía del vapor de agua, el oxígeno, y el hidrógeno que no ha reaccionado.
3. Calor que cede la pila.

Este calor se descompone en el disipado por la pila y el absorbido por el refrigerante. Por otro lado, cabe mencionar que también se anade el vapor de agua presente a la entrada en el hidrógeno y en el aire y a la salida, que está puede presentarse parte en estado líquido.

La entalpía para los gases secos:

$$\dot{H}_i = \dot{m}_i \cdot c_{p_i} \cdot T_i$$

Ecuación 4-40. Expresión general para el cálculo de la entalpía de los gases secos.

Para el caso del vapor de agua y agua líquida:

$$\dot{H}_{H_2O(g)} = \dot{m}_{H_2O(g)} \cdot (c_{p_{H_2O(g)}} \cdot T_{H_2O} + h_{fg}^0)$$

Ecuación 4-41. Entalpía del vapor de agua.

$$\dot{H}_{H_2O(l)} = \dot{m}_{H_2O(l)} \cdot c_{p_{H_2O(l)}} \cdot T_{H_2O}$$

Ecuación 4-42. Entalpía del agua líquida

Para el hidrógeno:

$$\dot{H}_{H_2} = \dot{m}_{H_2} \cdot (c_{p_{H_2}} \cdot T_{H_2} + h_{HVV}^0)$$

Ecuación 4-43. Entalpía del hidrógeno.

Las temperaturas se expresan en °C y la referencia del ‘higher heating value’, es decir, el poder calorífico superior ( $h_{HVV}^0$ ) expresado en ( $J \cdot g^{-1}$ ) y la entalpía de evaporización del agua ( $h_{fg}^0$ ) es a 0°C. Siendo  $h_{HVV}^0$ :

$$h_{HVV}^0 = h_{HVV}^{25} - \left( c_{p_{H_2}} + \frac{1}{2} \frac{M_{O_2}}{M_{H_2O}} c_{p_{O_2}} - \frac{M_{H_2O}}{M_{H_2}} c_{p_{H_2O(l)}} \right)$$

Ecuación 4-44. Poder calorífico superior para cero grados Celsius.

## 4.5 Rendimientos

El rendimiento de la pila se define de la siguiente manera:

$$\eta_{pila,in} = \frac{\dot{W}_{el}}{\dot{m}_{H_2,in} \cdot PCI}$$

Ecuación 4-45. Rendimiento del stack.

Se ha utilizado el poder calorífico inferior para los cálculos puesto que el gas a la salida, es decir el vapor de agua, se condensa.

Si recirculamos, aumentamos el rendimiento ya que el suministrado es inferior al que entra a la pila según la siguiente ecuación:

$$\dot{m}_{H_2, suministrado} = \dot{m}_{H_2, in} - \dot{m}_{H_2, recirculado}$$

Ecuación 4-46. Caudal consumido del tanque de alimentación.

De esta manera, recirculando el rendimiento se expresa como:

$$\eta_{pila, sumin} = \frac{\dot{W}_{el}}{\dot{m}_{H_2, suministrado} \cdot PCI}$$

Ecuación 4-47. Rendimiento del stack recirculando el hidrógeno.

Por lo tanto, cuanto mayor valor le asignemos al ratio estequiométrico del hidrógeno, en consecuencia, habrá una mayor diferencia entre los dos rendimientos comentados, ya que la diferencia irá aumentando.

Como se comentó en el apartado 3.3, en la figura 40 podemos observar que es necesaria la realización de una purga para extraer el exceso de nitrógeno. Por ello, se utilizará la siguiente ecuación extraída del balance del lazo del ánodo.

$$\dot{m}_{H_2, purga} = \dot{m}_{H_2, out} - \dot{m}_{H_2, recirculado}$$

Ecuación 4-48. Balance de materia en la recirculación.

Siendo el caudal de purga un porcentaje del caudal de salida, calculado de la siguiente manera:

$$\dot{m}_{H_2, purga} = \dot{m}_{H_2, out} \cdot N$$

Ecuación 4-49. Caudal de purga en la recirculación.

N es igual al coeficiente de purga de nitrógeno.

Las pérdidas parásitas definidas en el apartado 4.2, se utilizan para poder conocer el rendimiento del sistema, mediante la siguiente ecuación:

$$\eta_{sistema} = \eta_{pila} \cdot (1 - \xi)$$

Ecuación 4-50. Rendimiento del sistema en función del rendimiento del stack y las pérdidas parásitas.

Otra manera de expresar el rendimiento del sistema es:

$$\eta_{sistema} = \eta_{pila} \cdot \frac{\dot{W}_{neta}}{\dot{W}_{el}}$$

Ecuación 4-51. Rendimiento del sistema en función de la potencia neta del sistema y potencia del stack.

## 5 MODELO DE REFERENCIA

Nuestro objetivo ha sido aproximar lo máximo posible el modelado del stack y del balance de planta al modelo del Toyota Mirai como vehículo de referencia. Esta elección viene motivada por tratarse de un vehículo en pleno desarrollo y evolución sobre del que disponemos de cierta información. Hemos extraído esa información valiosa, como el número de celdas que contiene el stack y la potencia que produce. El número de celdas es igual a 330 y la potencia es 114 kW. Gracias a ambas, hemos podido aproximar el área de cada celda siendo esta igual a  $265 \text{ cm}^2$ . La potencia nominal se ha obtenido para 0.65 Voltios y aproximadamente  $2 \text{ (A/cm}^2\text{)}$  de densidad de corriente. Este último valor ha sido estudiado a través de la curva de potencia, obteniéndose tras modificar las pérdidas de la curva de polarización. También, teniendo en cuenta los valores de densidad de corriente nominales que obtienen pilas de tamaño bastante menor utilizadas para ensayos son iguales a 1.2 aproximadamente, podemos asumir que 2 es un valor razonable. Cabe destacar que se han impuesto las condiciones de operación determinadas por el Joint Research Centre (JRC) de la Comisión Europea para aplicaciones en automoción.

Variable	Valor
Temperatura de la celda ( $^{\circ}\text{C}$ )	80
Temperatura de entrada del aire en el cátodo ( $^{\circ}\text{C}$ )	85
Temperatura de entrada del hidrógeno en el ánodo ( $^{\circ}\text{C}$ )	85
Presión en el ánodo (kPa)	250
Presión en el cátodo (kPa)	230
Estequiometría en el ánodo	1.3
Estequiometría en el cátodo	1.5

Tabla 4. Valores de referencia de los parámetros de operación según el JRC de la Comisión Europea para aplicaciones en automoción [41].

Se muestra a continuación el balance de planta a estudiar, con la salvedad de que el humidificador se elimina. La eliminación del humidificador se ha contrarrestado gracias a un mayor caudal de difusión inversa, como se ha explicado anteriormente y podemos ver en la figura 37.

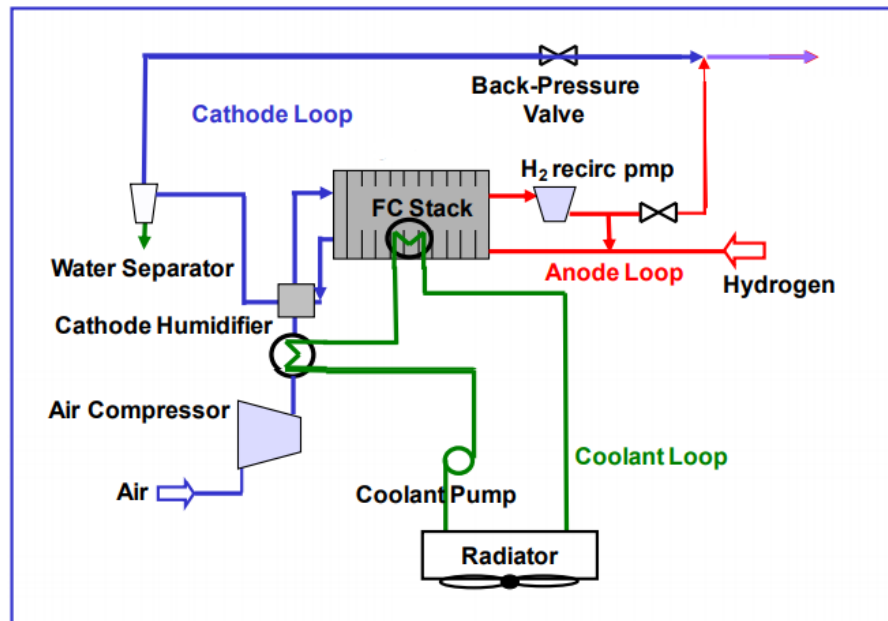


Figura 48. Esquema del balance de planta utilizado para el estudio paramétrico.

En el bucle del cátodo el único elemento que consume potencia del stack es el turbocompresor de aire. En el lado del ánodo, como ya hemos mencionado la recirculación funciona a través de un eyector y por lo tanto no requiere un uso de potencia. Aunque es cierto que la bomba de circulación del refrigerante consume potencia no la hemos tomado en cuenta puesto que es despreciable con respecto a las demás potencias.

Por lo tanto, el objetivo de este apartado es de servir como introducción al posterior estudio paramétrico y explicar el porqué de la elección del modelo Mirai como vehículo de referencia. Igualmente mostraremos las curvas obtenidas comentándolas brevemente.

## 5.1 Curvas de polarización y densidad de potencia

Hemos obtenido una curva de polarización que se asemeja a las observadas en estudios y ensayos de la bibliografía. En la siguiente figura se muestra la curva de polarización junto con la curva de densidad de potencia del stack y neta del sistema y la curva que sigue el consumo del compresor.

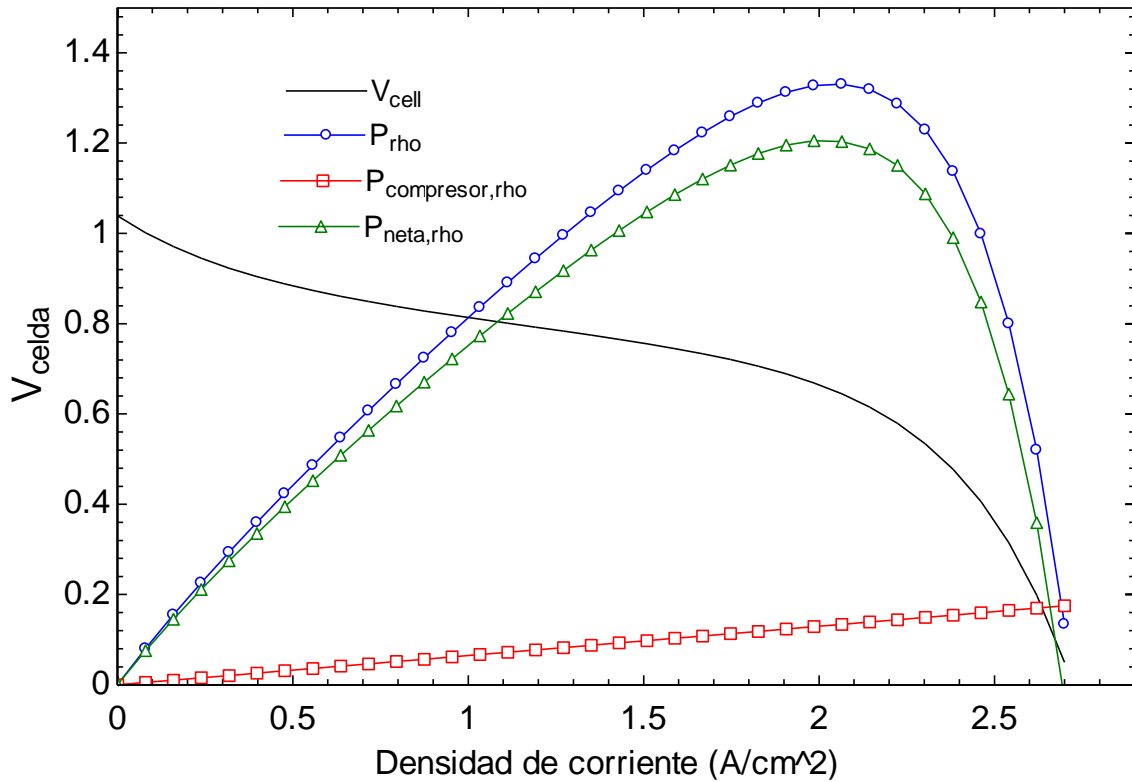


Figura 49. Curvas de polarización, densidad de potencia del stack, densidad de potencia neta del sistema y densidad de potencia consumida por el turbocompresor.

## 5.2 Curvas de potencia y calor disipado

La potencia neta del sistema ha resultado ser igual a 104.9 kW y el consumo del compresor en ese punto es igual a 10.8 kW para una relación de compresión de 2.3 para poder obtener las condiciones de operación necesarias. El calor disipado por el stack es 96.6 kW.

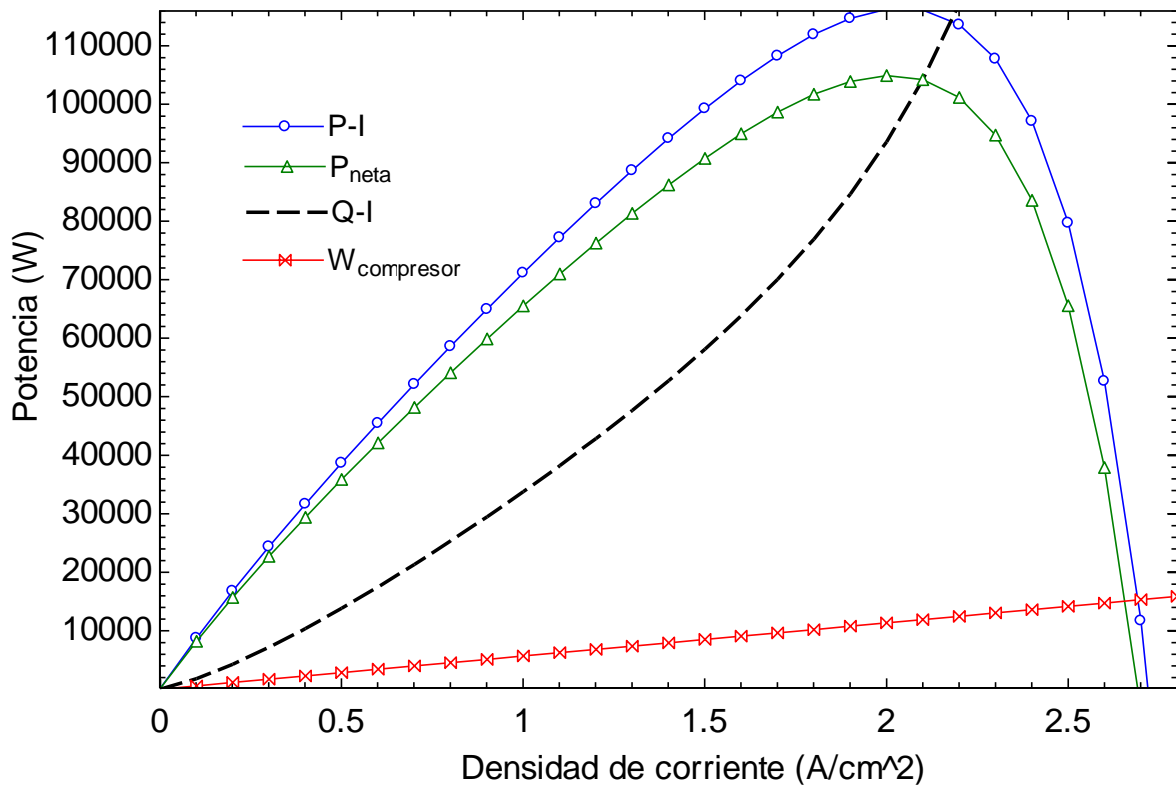


Figura 50. Curvas de potencia producida por el stack, potencia neta del sistema, calor disipado por el stack y potencia consumida por el turbocompresor expresadas en Watios.

### 5.3 Ventajas de la recirculación

El sistema de recirculación del hidrógeno nos permite ahorrar en la demanda del gasto de combustible del depósito y también aumentar considerablemente el rendimiento tal y como se expondrá en el siguiente apartado para diferentes ratios estequiométricos y a potencia constante. No obstante, en este subapartado estudiaremos las diferencias en las curvas para las condiciones de referencia.

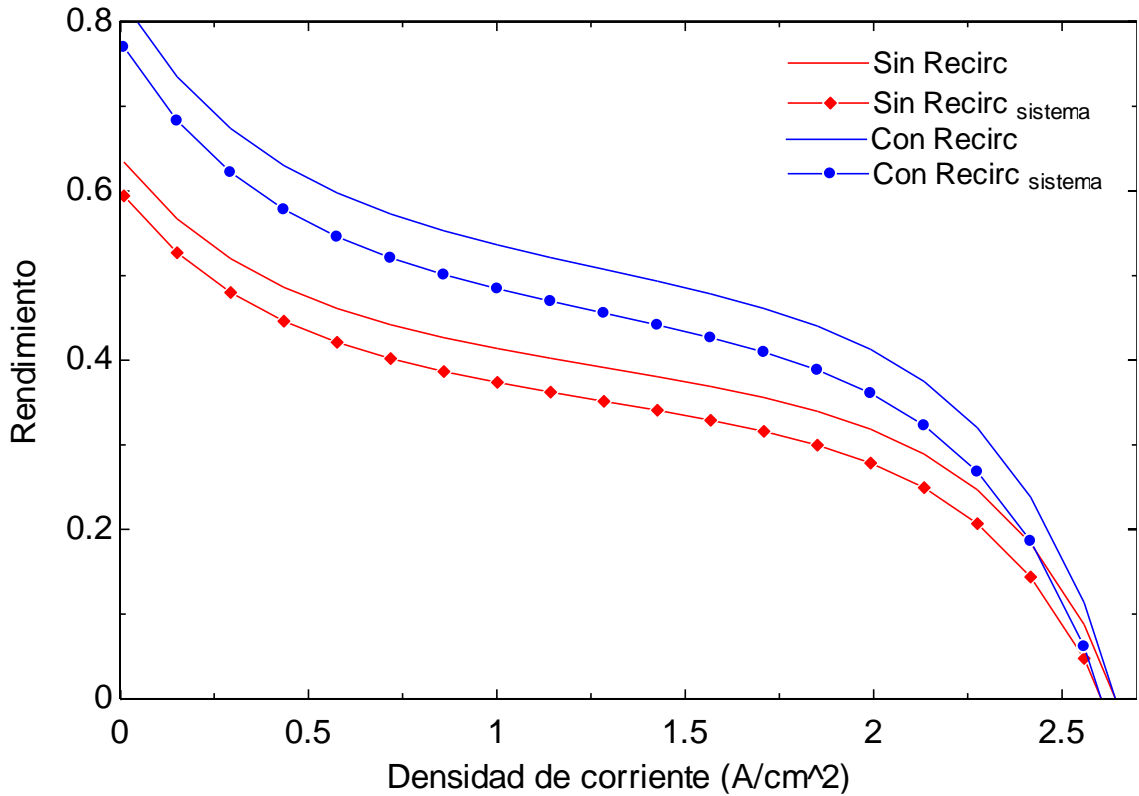


Figura 51. Curva comparativa del rendimiento del stack y del sistema con y sin recirculación.

La variación en el rendimiento entre no recircular y recircular el hidrógeno a la salida de la pila de combustible es exactamente de 11.8 puntos porcentuales en el punto de potencia nominal, es decir, el punto donde el voltaje es igual a 0,65 V. Por otro lado, el sistema sufre un incremento de 9 puntos porcentuales con respecto a la falta de recirculación.

En cuanto al consumo, se experimenta una reducción del 22.85% del caudal de hidrógeno suministrado por el tanque de alimentación para todos los puntos de la curva de polarización gracias a la recirculación.

## 6 ESTUDIO PARAMÉTRICO

---

En este apartado vamos a determinar las prestaciones del balance de planta en función de variables de entrada como el ratio estequiométrico del oxígeno y la temperatura de operación de la pila de combustible.

El voltaje nominal del stack es igual a 0,65 V. Por lo tanto, haremos también un estudio en el valor nominal del voltaje para determinar cómo varían las prestaciones del sistema compuesto por el compresor y la pila de combustible en función del ratio estequiométrico y la temperatura de la celda. Para ello, al realizar las variaciones en el valor de cada parámetro, mantendremos los demás parámetros constantes e iguales a los valores de referencia.

Cabe destacar que el modelo ha sido desarrollado mediante el programa de ingeniería llamado ‘Engineering Equation Solver’ [38], conocido por sus siglas como EES, y utilizando Microsoft Excel para obtener las gráficas de los valores a 0,65 V.

### 6.1 Ratio estequiométrico

El contenido másico de agua en la celda total decae conforme aumentamos el valor del ratio estequiométrico, ya que se incrementa el arrastre del agua generada en el cátodo de la pila debido al mayor caudal de aire. Por este motivo hemos variado el valor de referencia 1.5 por debajo y por encima, es decir, hemos estudiado su efecto para los valores de 1.3, 1.5, 2 y 3.5, para poder apreciar las diferencias en las prestaciones. Estos valores se han seleccionado de un trabajo donde estudiaba su efecto en una pila de combustible en un banco de ensayos [37].

#### 6.1.1 Curva de polarización

A continuación, se muestran las curvas de polarización obtenidas para los diferentes valores del ratio estequiométrico. A pesar de que el ratio igual a 1.3 no muestre grandes pérdidas a valores de densidad de corriente bajos, llega un momento en el que las pérdidas aumentan de manera drástica. Se observa claramente que las curvas cuyas pérdidas son menores están asociadas para los valores del ratio estequiométrico 1,5 y 2. Más adelante estudiaremos cuál optimiza la potencia y el rendimiento del balance de planta.

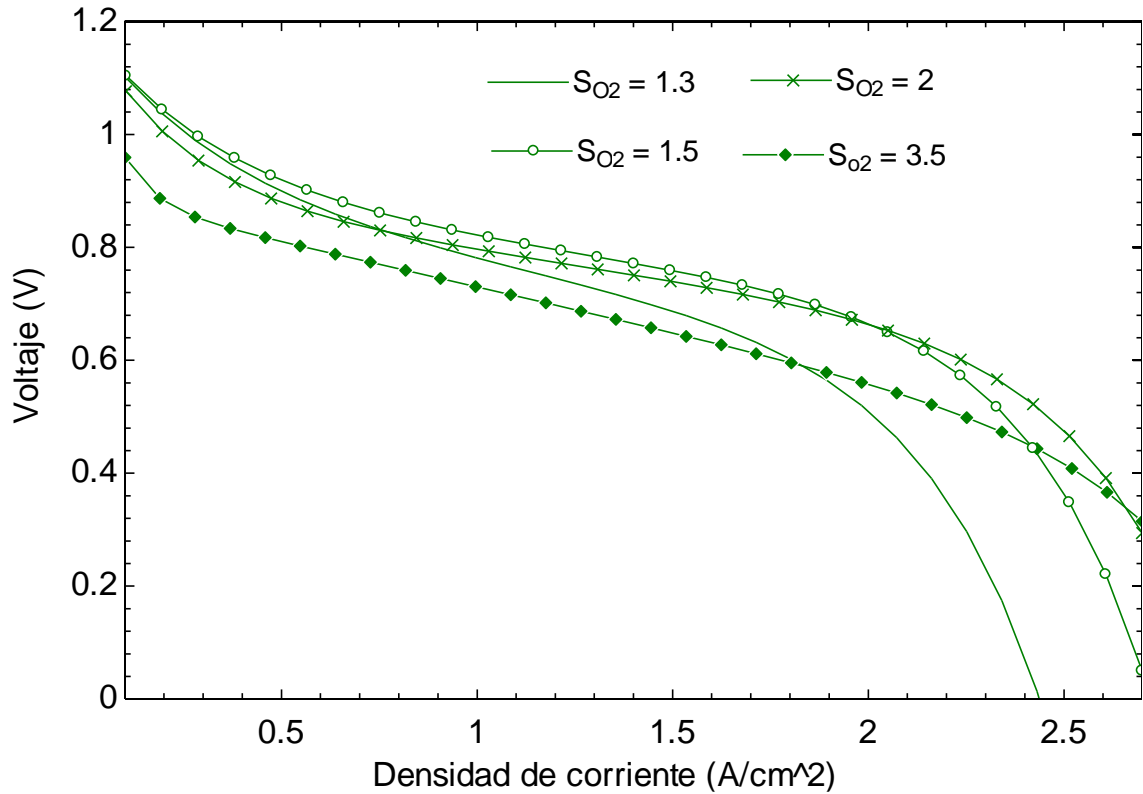


Figura 52. Curva de polarización para diferentes valores del ratio estequiométrico del oxígeno.

### 6.1.2 Pérdidas

En primer lugar, se observa en la siguiente figura que un menor contenido de agua, es decir, una mayor sequedad en la pila favorece la disminución de las pérdidas por concentración. Estas van aumentando de forma considerable con el contenido de agua en la pila, cambiando de manera notable entre los valores del ratio estequiométrico iguales a 1.3 y 1.5.

En segundo lugar, el efecto contrario ocurre en las pérdidas óhmicas. En ellas, el contenido de agua hace disminuir la resistencia y mejora así las pérdidas como vimos en la figura 34. Se nota claramente un gran cambio cuando alcanzamos el valor de 3.5. Sin embargo, podemos ver que el valor de 1.3 genera un aumento en las pérdidas con respecto a 1.5 y 2, es decir, hace variar esa tendencia con un punto de inflexión en 1.5. Este cambio puede atribuirse a la falta de oxígeno en el cátodo, así como por una baja capacidad de extracción del agua líquida por los canales de flujo [37].

Por último, las pérdidas por activación no presentan una clara diferencia entre los valores de 1.3 y 1.5 y sí que aumentan drásticamente para el valor de 3.5.

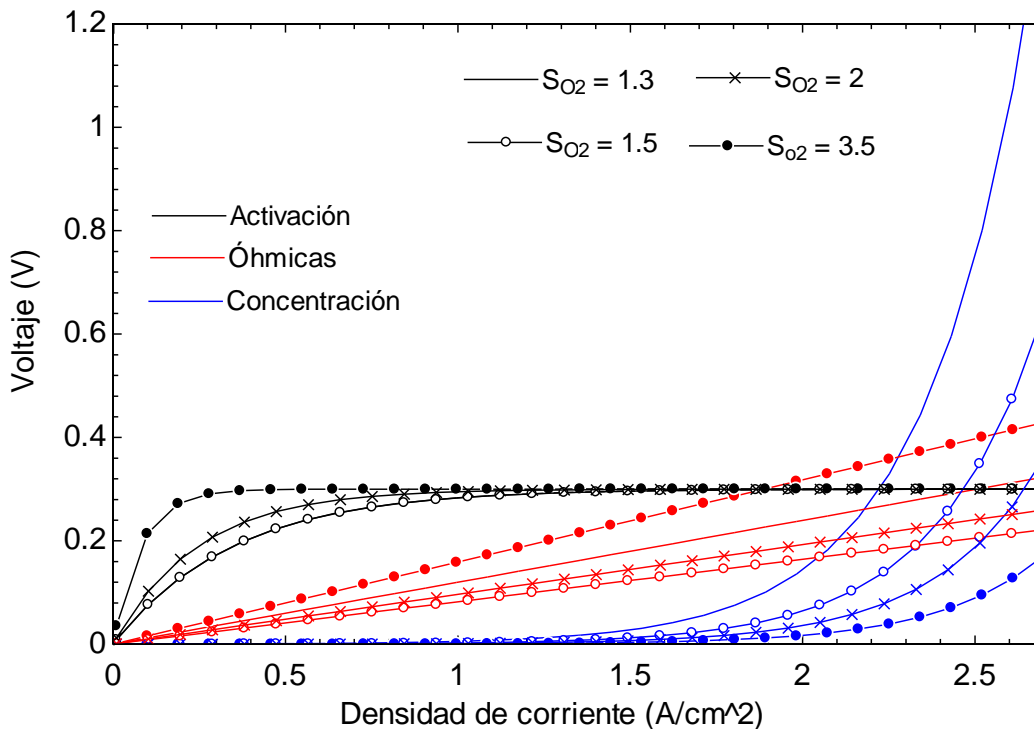


Figura 53. Curva de las pérdidas para diferentes valores del ratio estequiométrico del oxígeno.

### 6.1.3 Influencia del consumo del turbocompresor en la curva de potencia

Al igual que el ratio estequiométrico afecta a la curva de polarización, también afecta a la curva de potencia. Vemos una clara caída de potencia para el valor igual a 1.3 debido a la gran caída sobretodo de las pérdidas por concentración al final de la curva de polarización. Como veremos más adelante, aunque la potencia máxima del stack se alcanza con el valor del ratio 2, el valor que maximiza la potencia neta del sistema es 1.5.

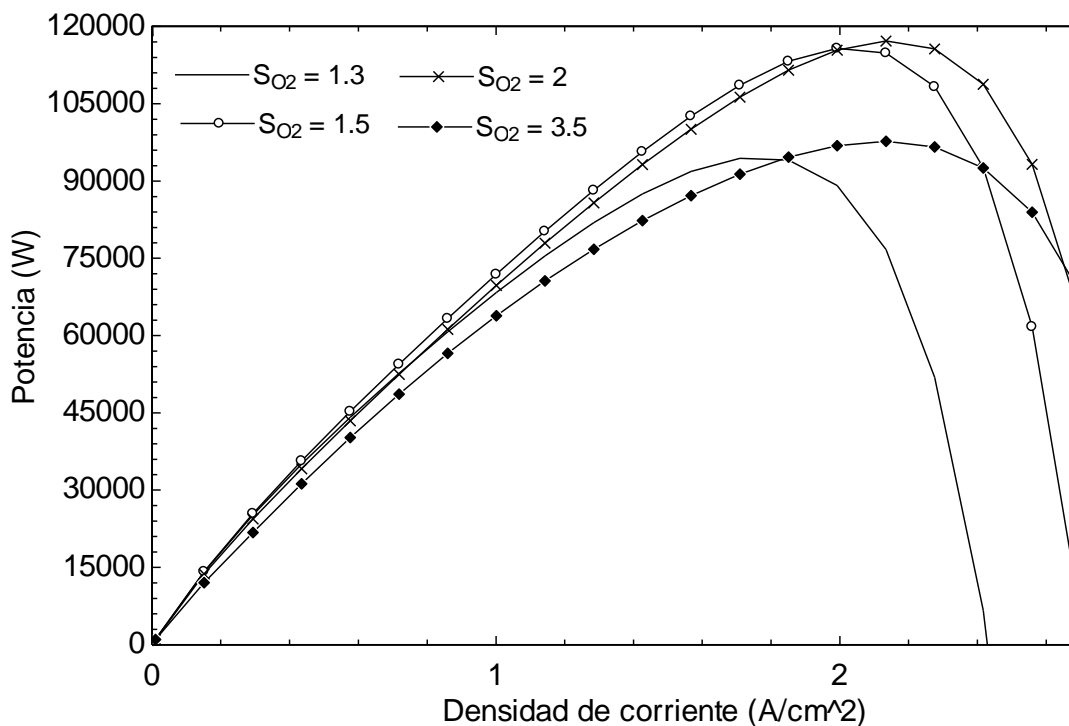


Figura 54. Curva de la potencia del stack para los valores del ratio estequiométrico del oxígeno.

Comparativamente con la figura anterior, vemos una bajada masiva de la curva de potencia neta para el valor de 3.5 debido al claro aumento del consumo del turbocompresor representado en la siguiente figura. También, podemos ver como el ratio estequiométrico igual a 2 ha generado una evidente disminución en la curva de potencia neta con respecto a la potencia del stack.

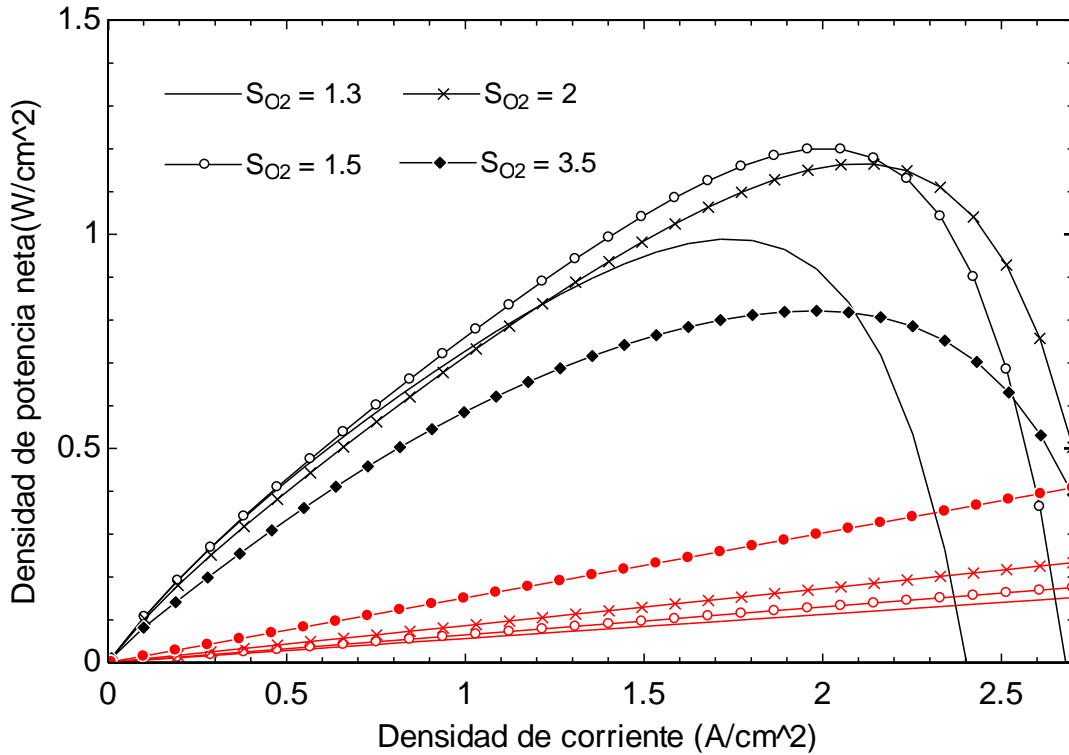


Figura 55. Curvas de densidad de potencia neta y densidad de potencia consumida por el turbocompresor en función de la densidad de corriente para los diferentes valores del ratio estequiométrico del oxígeno.

### 6.1.4 Rendimiento del sistema

Estudiamos el rendimiento del sistema porque depende de la potencia neta. Esta a su vez es función de la potencia que demanda el turbocompresor, y este último es directamente proporcional al gasto másico que debe comprimir. Por lo tanto, un aumento del ratio estequiométrico vendrá dado por un aumento proporcional del gasto másico requerido a la entrada de la pila de combustible.

En cuanto a las curvas del rendimiento del sistema, aunque siguen un trazado parecido a las curvas de polarización, se puede observar una bajada más acentuada de la curva para el valor 3.5. Esto se debe a un aumento en las pérdidas parásitas debido un mayor trabajo del compresor, como hemos mencionado previamente.

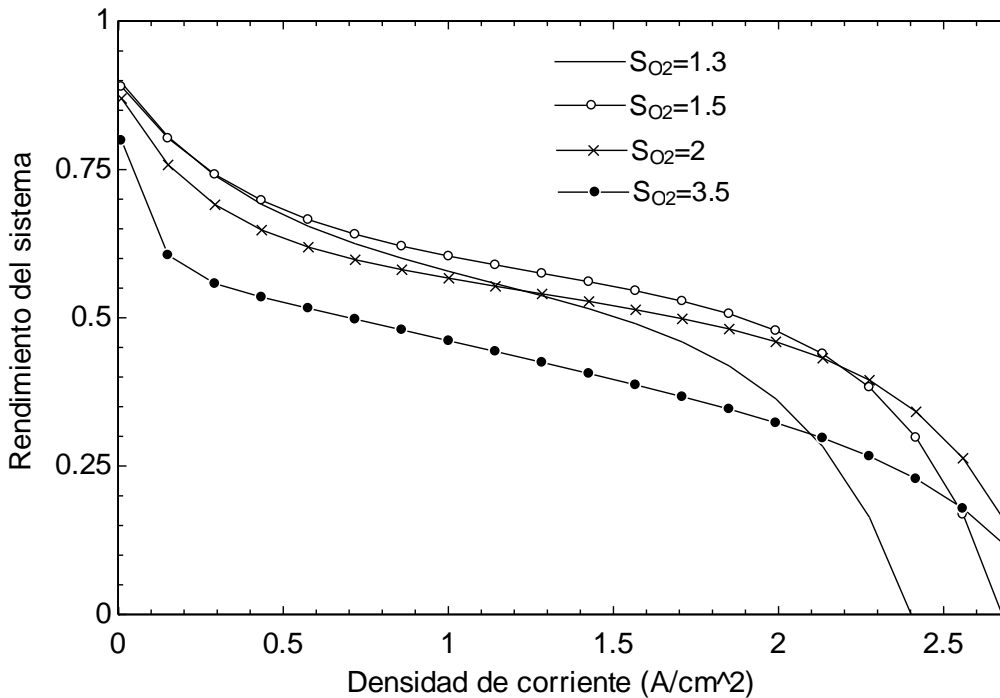


Figura 56. Variación del rendimiento del sistema en función de la densidad de corriente para diferentes ratios estequiométricos del oxígeno.

### 6.1.5 Estudio en voltaje nominal

Por otro lado, se ha realizado un estudio en el valor del voltaje nominal, es decir, a 0.65 V. Se han recopilado los datos de los tres parámetros y se han obtenido las siguientes gráficas en Excel.

Tenemos una gráfica de las variaciones de la potencia de la pila de combustible, la potencia neta del sistema, es decir, la potencia de la pila menos la potencia del turbocompresor y finalmente el calor disipado por el stack.

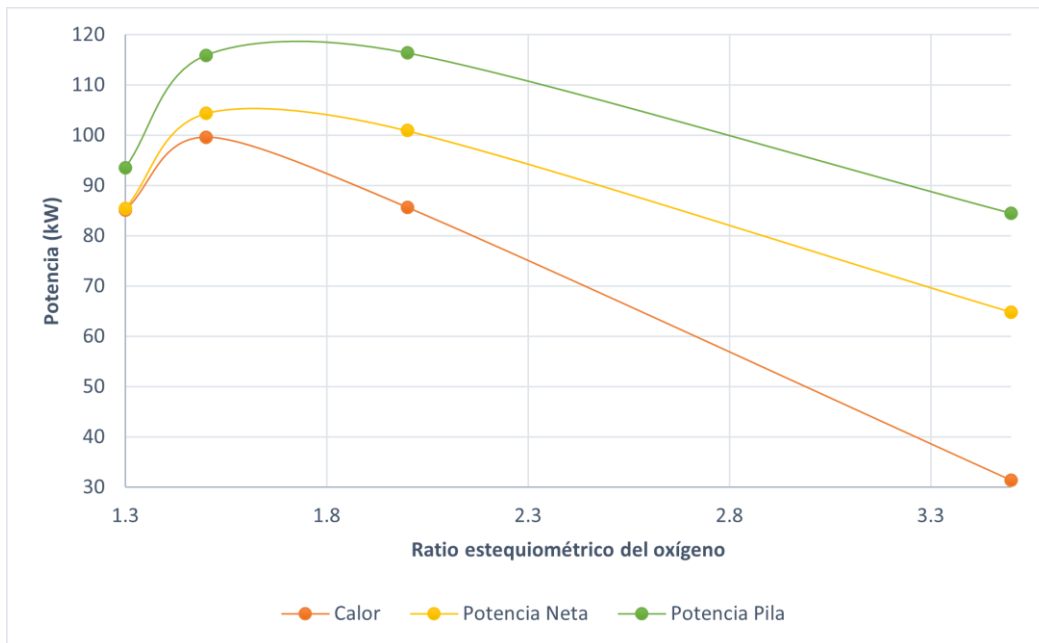


Figura 57. Representación de la variación del calor disipado por el stack al circuito de refrigeración, potencia y potencia neta de la pila a 0,65 V en función del ratio estequiométrico

Cabe mencionar que la potencia del stack con ratio estequiométrico igual a 2 es 1 kW mayor que igual a 1.5,

probablemente sea causa de una mejora en la capacidad de expulsión del agua líquida en las placas bipolares [37]. Sin embargo, al aumentar el caudal de aire que debe comprimir el turbocompresor estamos también aumentando su potencia necesaria y como la potencia la suministra la pila, se observa una disminución de aproximadamente 4 kW de potencia neta. Por otro lado, es cierto que el calor que es necesario absorber de la pila es claramente menor y quizás este dato puede ser de interés para el fabricante a la hora de dimensionar el sistema de gestión térmica.

En cuanto al rendimiento de la pila, su valor no cambia. Esto se debe a que debido a que es función del caudal de hidrógeno suministrado, voltaje y densidad de corriente de la pila. El caudal es directamente proporcional a la densidad de corriente y la densidad de corriente a la que se alcanza el valor nominal del voltaje depende de las pérdidas. El rendimiento como hemos visto en el anterior apartado es función de la potencia y del caudal de hidrógeno. Por lo tanto, al depender los dos de la misma variable su valor se mantiene constante.

Sin embargo, el valor del rendimiento del sistema sí cambia ya que el valor de las pérdidas parásitas va aumentando. El rendimiento de la pila sin recirculación es igual a un 40%. Está dentro del rango mencionado en la introducción en el apartado 1.6, es decir, está entre 36-45% situándose en un valor alto del mismo.

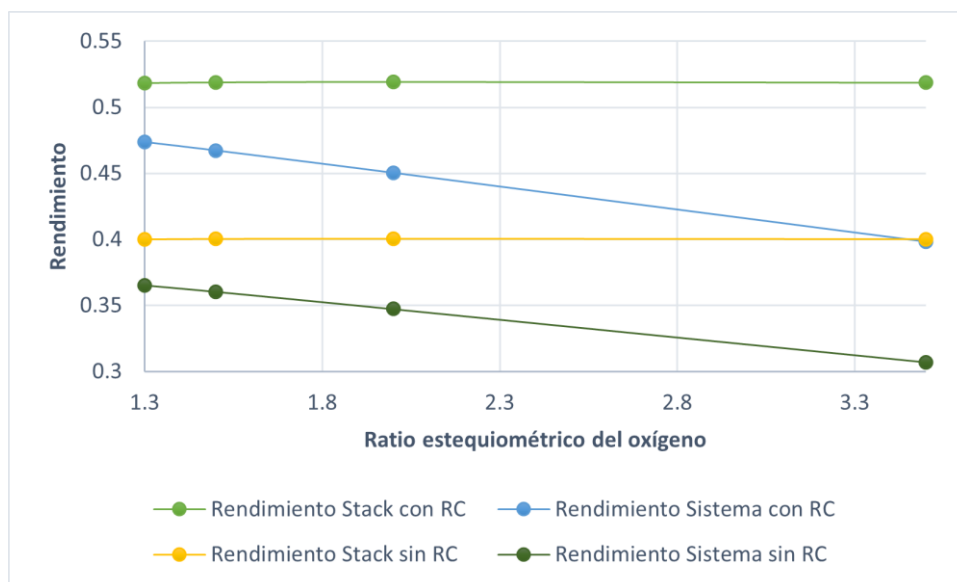


Figura 58. Gráfica del rendimiento de la pila y del sistema con y sin recirculación a 0,65 V en función del ratio estequiométrico.

En definitiva, el valor de referencia 1.5 maximiza la potencia neta y hace disminuir levemente el valor del rendimiento del sistema.

## 6.1.6 Estudio a potencia constante

Como hemos visto, el rendimiento de la pila se mantiene constante para un voltaje dado ya que la densidad de corriente se cancela en la ecuación. Con el propósito de identificar la variación del rendimiento se ha optado por un estudio a una potencia determinada. En este caso, como la potencia nominal del caso base, es decir, 115.9 kW no se alcanza para los ratios 1.3 y 3.5, se ha escogido un valor en común de 90 kW de potencia.

### 6.1.6.1 Rendimiento

Esta vez el rendimiento tanto de la pila como del sistema sí que varía y se muestra en la siguiente figura. Se observa una tendencia de la curva muy parecida a la de la potencia y claramente podemos afirmar que el valor del ratio estequiométrico del oxígeno que optimiza tanto la potencia neta como el rendimiento del sistema y de la pila es 1.5.

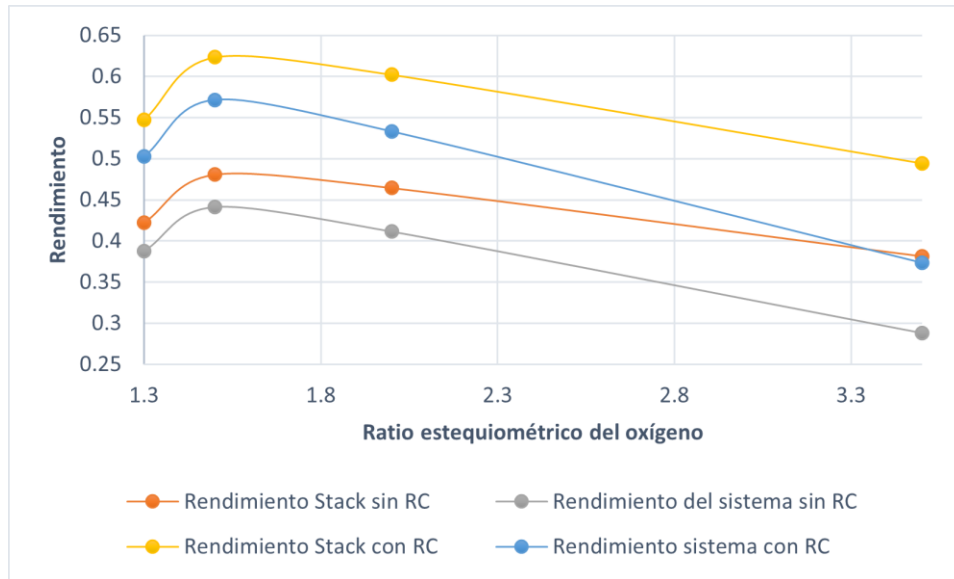


Figura 59. Curva del rendimiento de la pila y del sistema con y sin recirculación para diferentes valores del ratio estequiométrico a una potencia constante de 90 kW.

### 6.1.6.2 Caudal de combustible

Como podemos observar, existe una clara diferencia en los consumos de hidrógeno en ambas situaciones, tanto sin recircular como recirculando el hidrógeno. Esta gráfica sigue una tendencia completamente opuesta a la del rendimiento, es decir, a la anterior curva. Se asocia a que a un menor consumo de hidrógeno tendremos un aumento del rendimiento ya que el parámetro del caudal se sitúa en el denominador de la fracción que define al rendimiento.

La explicación de esta variación es parecida a la mencionada en la figura 54, sólo que esta vez al mantener la potencia en un valor fijo, el voltaje al que obtenemos ese valor no se mantiene constante e igual a 0,65 V como previamente. Esto genera la curva que se ve a continuación.

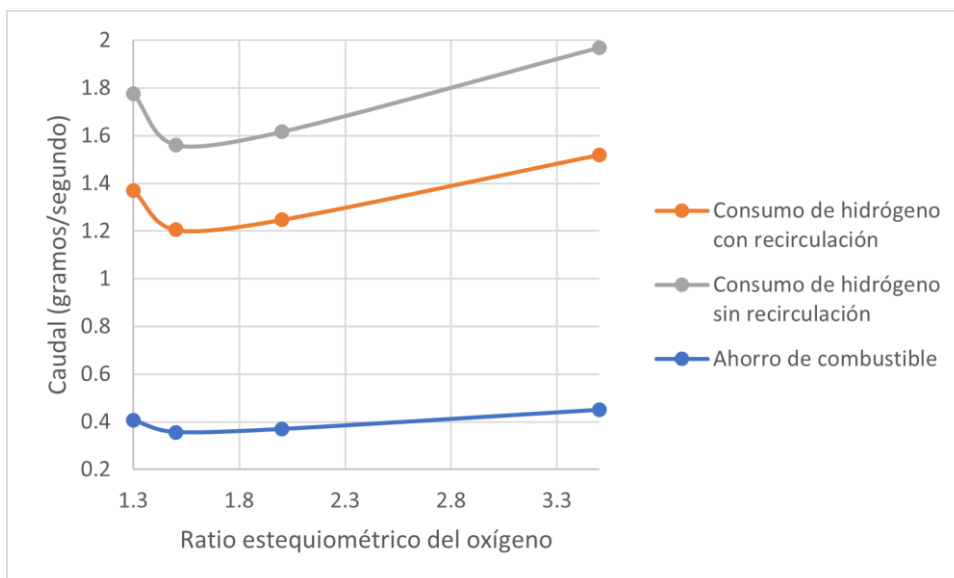


Figura 60. Consumo de hidrógeno con y sin recirculación y ahorro de combustible para los diferentes ratios estequiométricos a potencia constante igual a 90 kW.

El ahorro del combustible, es decir, la diferencia entre ambos caudales se mantiene prácticamente constante, aunque sigue la tendencia de ambas curvas como es de esperar.

## 6.2 Temperatura de operación del stack

En este apartado estudiaremos los efectos que tiene la variación de la temperatura del stack en la curva de polarización, las pérdidas, rendimiento y potencia. Se han asignado temperaturas habituales en la operación, de 70, 80 y 85 grados Celsius.

### 6.2.1 Curva de polarización y pérdidas

El aumento de la temperatura de la pila de combustible muestra una mejora en las pérdidas por concentración y óhmicas. Al aumentar la temperatura conseguimos que aumente a su vez el contenido de vapor de agua en la celda, provocando una mejoría en el transporte del oxígeno ya que habrá menos agua que encharque a la celda.

Sin embargo, operar a temperaturas excesivamente altas reduce la durabilidad de la membrana. También, operar a temperaturas tan altas trae consigo otra consecuencia negativa. Al reducir el contenido de agua líquida la membrana comienza a secarse, lo que se traduce en un aumento de las pérdidas por una reducción en la conductividad de la misma.

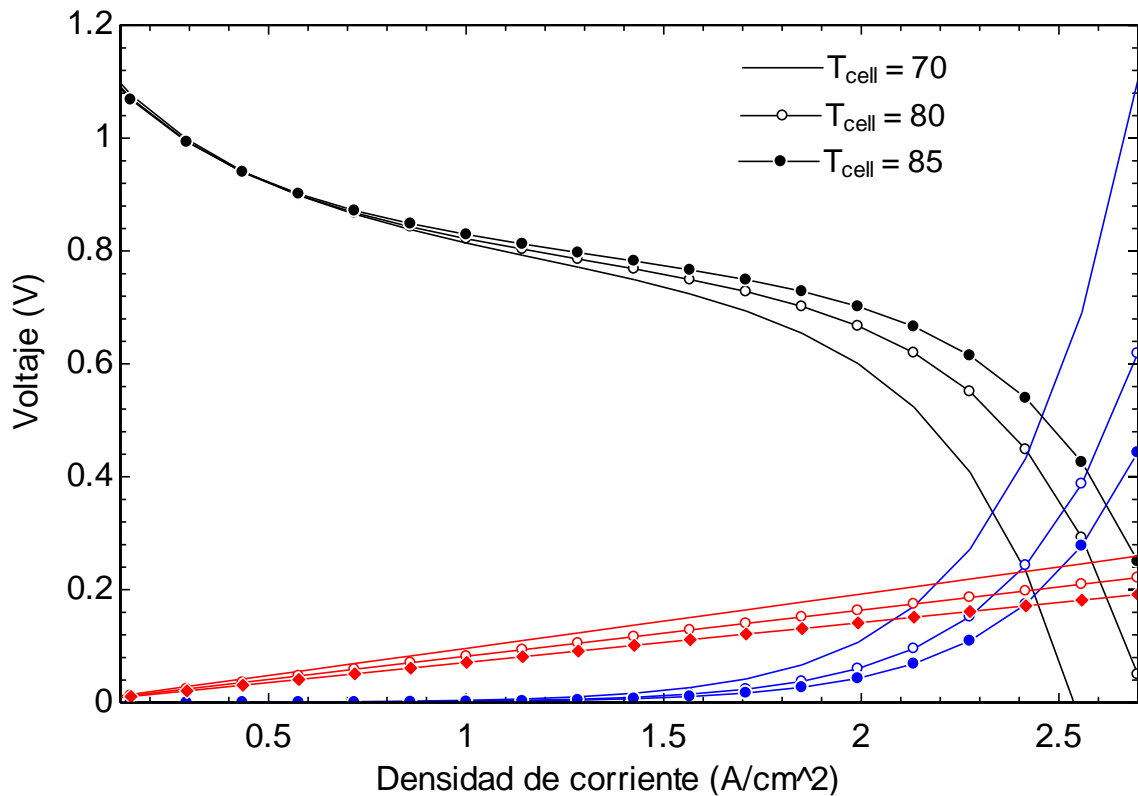


Figura 61. Curva de polarización y pérdidas óhmicas y por concentración para los diferentes valores de la temperatura del stack.

Como se ha observado en el estudio, las pérdidas a bajas densidades de corriente, es decir, las de activación no se ven prácticamente afectadas pues su curva se mantiene. Se representa por lo tanto las pérdidas óhmicas y de concentración junto con las diferentes curvas de polarización.

### 6.2.2 Potencia y calor disipado

Se observa una clara mejora de la potencia del stack, pero trabajar a temperaturas mayores a las analizadas resultaría en problemas de durabilidad y de secado de la membrana.

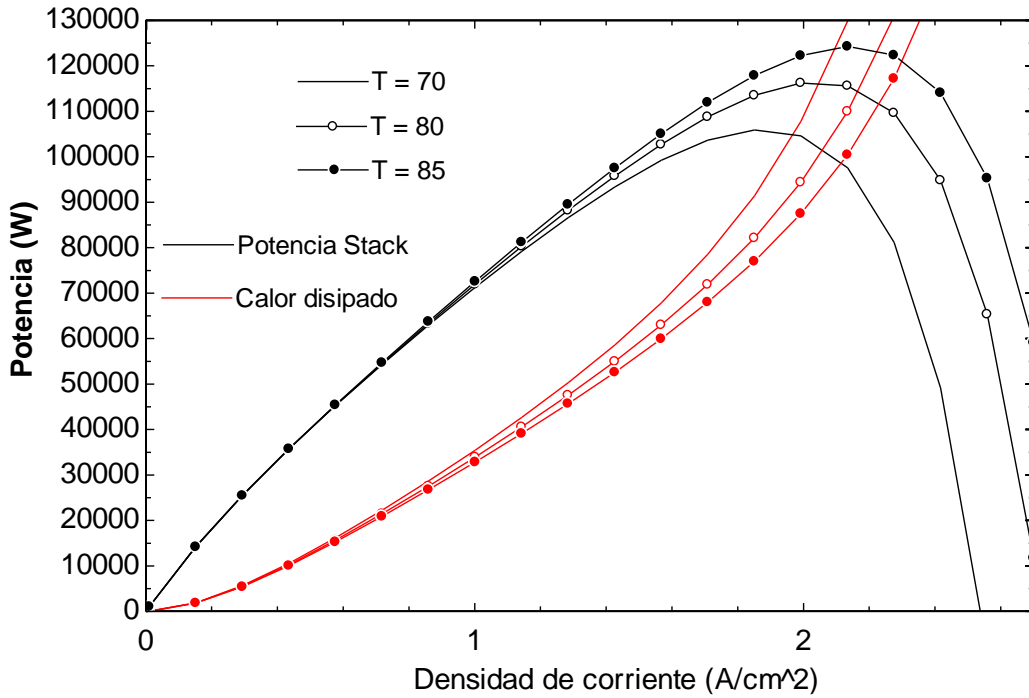


Figura 62. Curva de la potencia del stack y calor disipado para las tres diferentes temperaturas del stack.

### 6.2.3 Estudio a voltaje nominal

Observamos que el incremento de ambas potencias viene acompañado de un incremento del calor que disipa la pila y por lo tanto requeriría un dimensionamiento mayor del sistema de gestión térmica para poder disipar esa cantidad de calor.

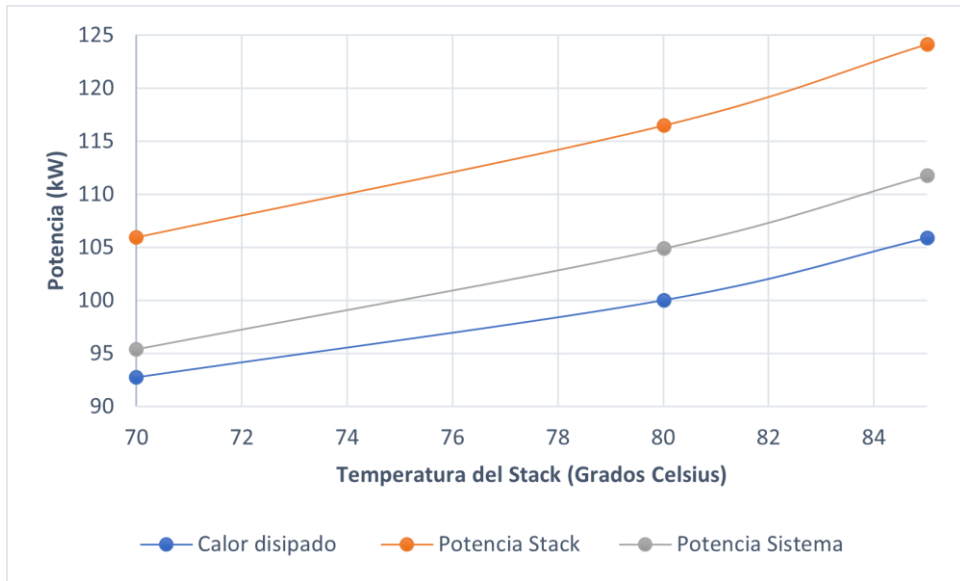


Figura 63. Representación de la potencia del stack, sistema y calor disipado para las diferentes temperaturas a 0,65 V.

Por otro lado, la curva que sigue el rendimiento del sistema, es decir, con recirculación es muy parecida a la curva de polarización.

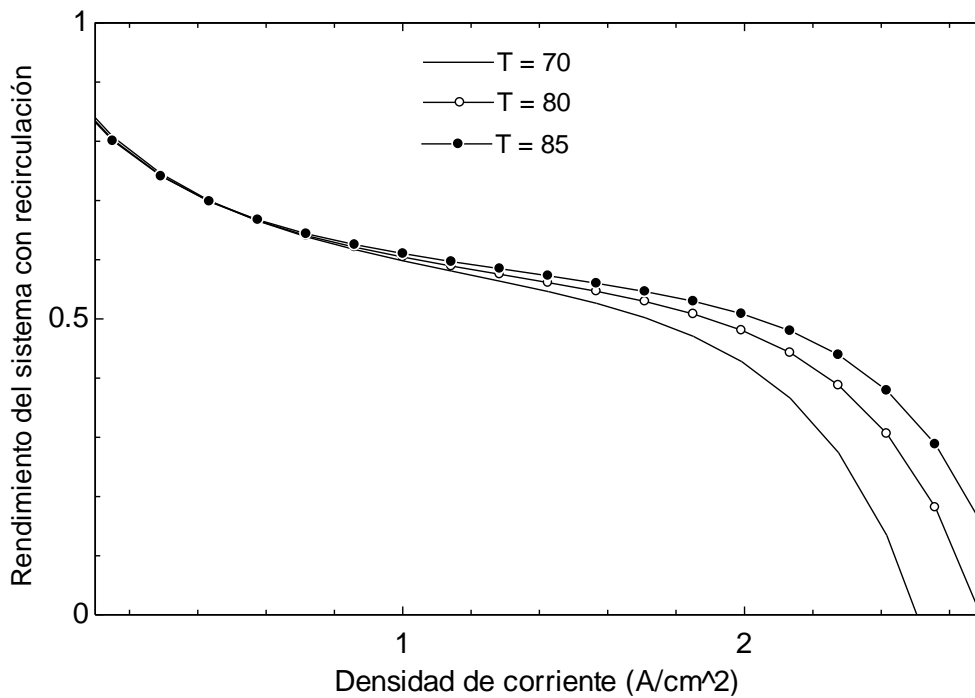


Figura 64. Curva del rendimiento del sistema con recirculación para las diferentes temperaturas de operación del stack.

### 6.2.4 Estudio a potencia constante

Vamos a realizar el estudio a la potencia constante a igual a la nominal de la curva para 70 grados Celsius para poder apreciar los cambios y al tratarse de una potencia máxima en común entre las tres curvas. Es decir, la potencia es igual a 105 kW.

Ambos rendimientos del stack y del sistema sin recirculación de 70 a 80 grados presentan una mejoría de 4 puntos y de 80 a 85 una mejoría de 1.52 puntos. En cuanto al rendimiento con recirculación, de 70 a 80 mejora

5.19 puntos y de 80 a 85 vemos 1.97 puntos. Podemos concluir que existe un mayor aumento del rendimiento para un aumento de temperaturas en el caso de que recirculemos. Para el caso de de 70 a 80 vemos un incremento relativo del 22.92% y de 80 a 85 22.84%, prácticamente el mismo porcentaje de mejoría relativa. En términos absolutos tenemos un 8.75% y 3.2% respectivamente para un aumento de 70 a 80 y de 80 a 85 para ambos casos.

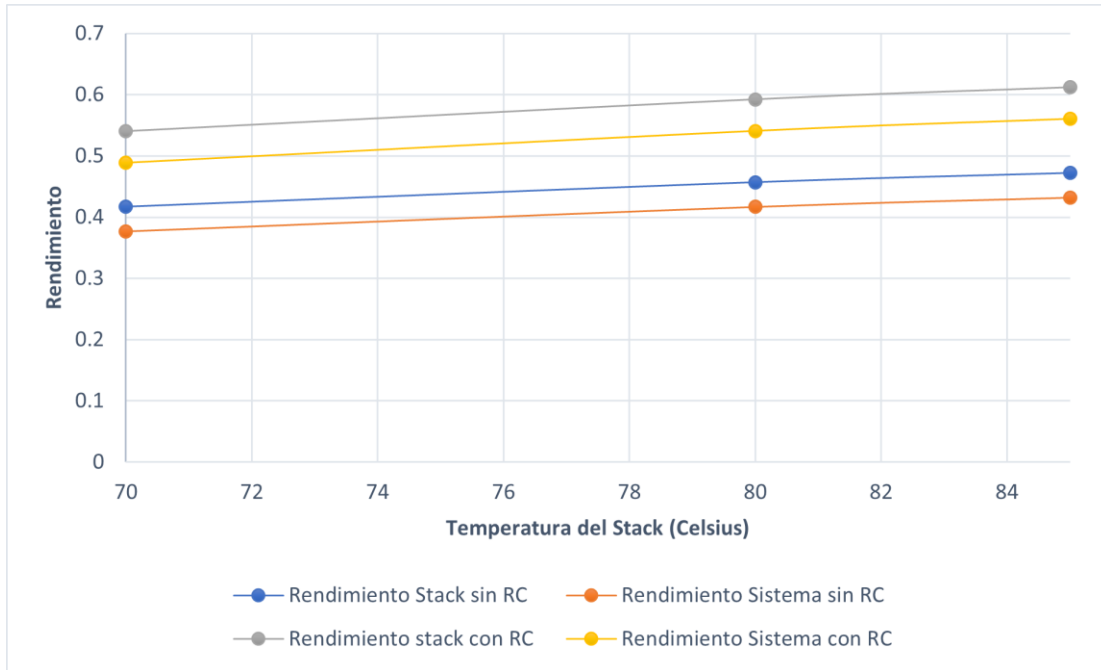


Figura 65. Variaciones del rendimiento con y sin recirculación del sistema y del stack en función de los valores de la temperatura del stack.

## CONCLUSIONES

---

La transición energética es una realidad, la Comisión europea aboga por una Europa climáticamente neutra de aquí a 2050. Por este motivo se ha experimentado un auge en la producción de energía mediante las energías renovables. El hidrógeno se muestra como clara solución al aprovechamiento del exceso de electricidad o calor producido debido a la intermitencia de las renovables y la falta de acoplamiento entre producción de energía y demanda. El objetivo es producirlo mediante fuentes renovables para generar el denominado hidrógeno verde. Se han estudiado métodos muy prometedores y con alto potencial de mejora como el aprovechamiento de concentradores solares de alta temperatura mediante ciclos termoquímicos. Estos son capaces de ser acoplados a la instalación y producir hidrógeno de manera simultánea. De igual manera la electrolisis del agua se muestra como fuerte candidata para aprovechar la energía proveniente sobre todo de la fotovoltaica y de la eólica.

Las pilas de combustible poseen una alta eficiencia energética y existen diferentes tipos dependiendo de su aplicación. El constante desarrollo de esta tecnología es imprescindible para reducir costes y de esta manera poder ser introducida cuanto antes a gran escala en el mercado. Es de vital importancia que los actuales ingenieros, sobre todo los relacionados con el sector de la energía, estén completamente informados y actualizados acerca del desarrollo de esta tecnología, de la misma forma que los ingenieros tuvieron que estudiar en profundidad los motores térmicos.

El vehículo propulsado por pila de combustible, FCEV, ha demostrado presentar mejores prestaciones en cuanto a autonomía, predicción de costes y contaminación que su competidor, el BEV. La contaminación y el posterior reciclaje asociados a las baterías de los BEV resultan ser altamente problemáticos. Las desventajas son su inferior eficiencia energética y su menor disponibilidad de estaciones de recarga, es decir, las llamadas hidrogeneras. Actualmente no existe la infraestructura necesaria para el transporte y posterior consumo del hidrógeno, aunque se prevé que para 2030 aumente de manera exponencial el transporte por gaseoducto del hidrógeno, lo que facilitará la instalación de hidrogeneras. En relación con el coste total de propiedad de los tres tipos de vehículos, ICE, BEV y FCEV, en 2027 se espera que las curvas se crucen, observando una mayor disminución por parte de los FCEV a partir de ese momento. La importancia de este último dato es determinante para concluir la relevancia que tendrá este tipo de vehículos en los próximos años.

El término balance de planta se refiere al conjunto de sistemas auxiliares, además de la unidad generadora, necesarios para la entrega de energía. Con el objetivo de analizarlo se ha desarrollado un modelo analítico del balance de planta de un sistema de propulsión de un vehículo de pila de combustible. Las características que definen al stack como el número de celdas y el área de cada una han sido escogidas del modelo Toyota Mirai, con la finalidad de trabajar sobre un vehículo de referencia. Este modelo ha sido estudiado a través de un software llamado EES en el que hemos incluido el stack y el turbocompresor.

El balance de planta se compone de tres sistemas: suministro de aire, suministro de hidrógeno y sistema de gestión térmica.

En cuanto al subsistema de suministro de aire, a través del estudio paramétrico se ha realizado un análisis del ratio estequiométrico del aire y los efectos que genera en el sistema, aumentando ciertas pérdidas y potencia consumida por el turbocompresor. Como consecuencia del estudio se concluye que el valor óptimo se sitúa en el valor de referencia igual a 1.5. Por otro lado, se ha estudiado la existencia de turbocompresores centrífugos eléctricos que no requieren de aceite para su lubricación, lo que imposibilita la contaminación de aceite en la pila que causaría indeseables consecuencias. La humidificación es un aspecto clave y esencial del que depende la durabilidad y rendimiento del stack. Anteriormente se realizaba mediante un humidificador y recientemente Toyota ha desarrollado un proceso a través del cual se humidifica la membrana de manera interna utilizando una celda de contraflujo. Estas celdas requieren una membrana más fina y reducen el volumen y el peso del sistema en 15 L y 13 kg respectivamente. Estos avances evidencian que aún el sistema puede ser optimizado.

En el subsistema de suministro de hidrógeno, la recirculación de hidrógeno mejora el rendimiento del sistema en 11.8 puntos porcentuales y reduce el consumo de combustible un 22.85%. Además, sin recirculación de hidrógeno no sería posible el método de humidificación mencionado con anterioridad. Hemos estudiado un método cuya utilidad y aplicación resulta interesante para la mejora del rendimiento del sistema cuya principal característica es impedir el paso de nitrógeno y únicamente dejar fluir hidrógeno. De esta manera obtenemos un ahorro de hidrógeno, que sin la aplicación de esta bomba se fugaría mediante la purga de gases inertes, es decir,

del nitrógeno. El sistema al que hemos hecho mención se conoce como “hydrogen pump” aunque realmente es una PEM que puede ser acoplada al stack de diferentes maneras.

El tercer sistema es el de gestión térmica. Conocemos que al aumentar la temperatura de operación aumenta el salto de temperaturas y, por lo tanto, el área del intercambiador de calor disminuye. Sin embargo, hemos analizado que operar a temperaturas por encima de la nominal afecta a la durabilidad y promueve la sequedad en la membrana, aunque hasta un cierto aumento de temperatura mejora las prestaciones como la potencia suministrada y el rendimiento.

Tras haber realizado el estudio paramétrico de las variables operativas del sistema podemos concluir que las condiciones de referencia son las óptimas en cuanto a durabilidad, rendimiento y potencia. Además, la recirculación es un aspecto fundamental y crítico que aún puede ser mejorado, como hemos analizado con el método de humidificación interna o la bomba de hidrógeno.

En definitiva, el modelo desarrollado demuestra ser una herramienta de gran utilidad para el análisis de sistemas de propulsión en vehículos basados en pila de combustible, con objeto de estudiar sus prestaciones y mejorar su eficiencia global.

## REFERENCIAS

---

- [1] D. Guinea, «Un futuro para el transporte: sol, hidrógeno..., pila de combustible,» *La Fundación General del Consejo Superior de Investigaciones Científicas*.
- [2] «Iberdrola,» [En línea]. Available: <https://www.iberdrola.com/medio-ambiente/acuerdos-internacionales-sobre-el-cambio-climatico>.
- [3] «iea,» [En línea]. Available: <https://www.iea.org/data-and-statistics/charts/global-energy-related-co2-emissions-1990-2020>.
- [4] H. Ritchie, «Cars, planes, trains: where do CO2 emissions from transport come from?,» *Our World In Data*, 2020.
- [5] «Our World in Data,» [En línea]. Available: <https://ourworldindata.org/renewable-energy>.
- [6] «Centro nacional de Hidrógeno,» [En línea]. Available: [cnh2.es](http://cnh2.es).
- [7] J. D. Y. J.D.Holladay, «An overview of hydrogen production technologies,» *elsevier*.
- [8] J. L. G. FIERRO, «El hidrógeno: metodologías de producción».
- [9] «U.S department of energy,» [En línea]. Available: <https://www.energy.gov/eere/fuelcells/hydrogen-production-thermochemical-water-splitting>.
- [10] S. a. T. Department Of Energy Office of Nuclear Energy, «Nuclear Hydrogen R&D Plan».
- [11] K. R. A. Z. Noris Gallandat, «An Analytical Model for the Electrolyser Performance Derived from Materials Parameters,» *Scientific Research Publishing*.
- [12] K. R. A. Z. Noris Gallandat, «An Analytical Model for the Electrolyser Performance Derived from Materials Parameters,» *Journal of Power and Energy Engineering*.
- [13] J. L. G. FIERRO, «El hidrógeno: metodologías de producción».
- [14] A. M. M. Prabhakarn Arunachalam, «Chapter 28 - Photoelectrochemical Water Splitting,» de *Noble Metal-Metal Oxide Hybrid Nanoparticles*, pp. 585-606.
- [15] A. E. A. M. Q. I. D. Muhammed Iberia Aydin, «A comparative review on clean hydrogen production from wastewaters,» *elsevier*.
- [16] H. T. H. a. A. Varma, «Hydrogen storage for fuel cell vehicles,» *Elsevier*.
- [17] T. Y. a. K. Kojima, «Toyota MIRAI Fuel Cell Vehicle and Progress Toward a Future Hydrogen Society».
- [18] A. G. García-Conde, «Producción, almacenamiento y distribución de hidrógeno».

- [19] D. China, Fueling the Future of Mobility, 2020.
- [20] S. L. J. P. C. D. Yvonne Ruf, «Fuel Cells and Hydrogen for Green Energy in European Cities and Regions».
- [21] F. Barbir, PEM Fuel Cells, 2013.
- [22] E. a. E. S. ERTRAC, «European Roadmap Electrification of Road Transport,» 2017.
- [23] T. A. Environment, «Comparison of hydrogen and battery electric trucks».
- [24] «Toyota,» [En línea]. Available: <https://global.toyota/en/newsroom/corporate/35209996.html#>.
- [25] Hydrogen Production and Practical Applications in Energy Generation, 2018.
- [26] P. P. E. V. d. Miranda, Science and Engineering of Hydrogen-Based Energy Technologies, Rio de Janeiro: Elsevier.
- [27] I. V. A. P. J.J San Martín, «Análisis del comportamiento dinámico de una pila de combustible PEMFC».
- [28] A. S. a. K. L. Markku Ohenoja, «Model Structure Optimization for Fuel Cell Polarization Curves».
- [29] J. J. M. Sánchez, «ANÁLISIS DE SENSIBILIDAD DE LOS PARAMETROS DE DISEÑO DE LA PLACA BIPOLAR DE UNA PILA DE COMBUSTIBLE TIPO P.E.M.».
- [30] F. Babir, PEM Fuel Cells: Theory and Practice.
- [31] S. L. K. J. J. C. Jeakon Shin, «Optimization of EMC Management Plan for BOP(Balance of Plant) of Fuel Cell Electric Vehicle(FCEV),» *iee*.
- [32] «INN BALANCE,» [En línea]. Available: <https://www.innbalance-fch-project.eu/>.
- [33] A. M. Benjamin BLUNIER, «Air Management in PEM Fuel Cells:State-of-the-Art and Prospectives,» *IEEE*.
- [34] T. v. U. S. S. Wilhelm Wiebe, «Hydrogen pump for hydrogen recirculation in fuel cell vehicles».
- [35] F. A. F. L. N. C. J. M. Correa, «An Analysis of the Dynamic Performance of Proton Exchange Membrane Fuel Cells,» *IEEE*.
- [36] A. A. C. B. Alejandro J. del Real, «Development and experimental validation of a PEM fuel cell dynamic model,» *Elsevier*.
- [37] B. R.-P. R. V.-G. A. I. J. G. Andrea Ramírez-Cruzado, «Experimental Analysis of the Performance and Load Cycling of a Polymer Electrolyte Membrane Fuel Cell,» *processes*.
- [38] «F-chart Software, EES,» [En línea]. Available: <http://fchartsoftware.com/ees/index.php/>.
- [39] A. S. A. A. J. A. S. A. I. D. Gimba, «Theoretical Energy and Exergy Analyses of Proton Exchange Membrane Fuel Cell by Computer Simulation,» *Hindawi*.

- [40] J. H. A. H. S. K. Y. K. Dowon Cha, «Effects of clamping force on the water transport and performance of a PEM (proton electrolyte membrane) fuel cell with relative humidity and current density.,» *Elsevier*.
- [41] A. P. G. D. M. T. M. Georgios Tsotridis, «EU HARMONISED TEST PROTOCOLS FOR PEMFC MEA TESTING IN SINGLE CELL CONFIGURATION FOR AUTOMOTIVE APPLICATIONS».
- [42] I. EG&G Technical Services, Fuel Cell Handbook, Morgantown, West Virginia, 2004.
- [43] A. P. Priego, «Aprovechamiento de recursos energéticos renovables no integrables en la red eléctrica. El caso de la producción de Hidrógeno.,» Universidad de Sevilla.
- [44] T. d. o. B. a. F. i. 2015, «The deployment of BEV and FCEV in 2015,» HAL.
- [45] B. Lakshmanan, *Balance of Plant (BoP) Components Validation for Fuel Cells*, General Motors Company.
- [46] S. J. N. F. R. M. R. B. Alfredo Iranzo, «Determination of time constants of diffusion and electrochemical processes in Polymer Electrolyte Membrane Fuel Cells,» *Elsevier*.
- [47] D. A. Kabza, «Just another Fuel Cell Formulary».

## GLOSARIO

---

FCEV: Fuel Cell Electric Vehicle

BEV: Battery Electric Vehicle

ICEV: Battery Electric Vehicle

HICEV: Hydrogen Internal Combustion Engine Vehicle

TCO: Total Cost of Ownership

MEA: Membrane Electrode Assembly

PEM: Polymer Electrolyte Membrane

# ANEXO

## "!FUNCIÓN MÍNIMO"

Function MINIMO(a,b)

if(a<b) then

MINIMO = a

else

MINIMO = b

Endif

End

## "!CURVA DE POLARIZACIÓN"

$V_{cell} = V_{nernst} + V_{act} + V_{ohm} + V_{conc}$

$V_{nernst} = 1.229 - 0.85e-3 * (T_{cell} - 298.15) + 4.31e-5 * T_{cell} * (\ln(p_{h2}) + 0.5 * \ln(p_{o2})) - 0.1$

$V_{act} = -x1 * (1 - \exp(-i_{rho} / x2))$

$V_{ohm} = -x3 * i_{rho}$

$V_{conc} = -x4 * \exp(x5 * i_{rho})$

"coeficientes"

"activación"

$x1=0.2$

$x2=0.5 - xS_{o2\_act}$

$xS_{o2\_act} = (0.074*(S_{o2}^6) - 1.138*(S_{o2}^5) + 7.1689*(S_{o2}^4) - 23.617*(S_{o2}^3) + 42.769*(S_{o2}^2) - 40.086*S_{o2} + 15.264)$

"óhmicas"

$x3 = 0.08 + xS_{o2\_ohm} + xT_{cell\_ohm}$

$xS_{o2\_ohm} = 0.0396*(S_{o2}^6) - 0.6192*(S_{o2}^5) + 3.9751*(S_{o2}^4) - 13.389*(S_{o2}^3) + 24.921*(S_{o2}^2) - 24.244*S_{o2} + 9.6107$

$xT_{cell\_ohm} = -2e-6*(xT_{cell\_C}^3) + 4e-6*(xT_{cell\_C}^2) - 0.0012*xT_{cell\_C} + 0.0152$

"concentración"

$x4 = 0.001*xS_{o2\_c} + xT_{cell\_conc}*0.002$

$xS_{o2\_c} = -0.104*(S_{o2}^5) + 1.3356*(S_{o2}^4) - 6.7424*(S_{o2}^3) + 16.71*(S_{o2}^2) - 20.334*S_{o2} + 9.7762$

$xT_{cell\_conc} = -5e-6*(xT_{cell\_C}^3) + 0.0002*(xT_{cell\_C}^2) - 0.005*xT_{cell\_C} + 0.0348$

$x5 = 3.3$

## "!VARIABLES DE DISEÑO"

"CÁTODO"

$T_{ca} = 273.15 + 85$

$P_{ca} = p_{o2}$

$fi_{ca} = 0.8$

$fi_{ca1} = p_{h2o} / p_{sat\_vapor\_catodo}$

$$p_{\text{sat\_vapor\_catodo}} = P_{\text{sat\_kpa\_ca}} / 100 \text{ "en bares"}$$

"ÁNODO"

$$T_{\text{an}} = 273.15 + 85$$

$$P_{\text{an}} = 250 \text{ "kPa"}$$

$$f_{i_{\text{an}}} = p_{\text{h2o\_in\_h2}} / P_{\text{sat\_vapor\_anodo}}$$

$$P_{\text{sat\_vapor\_anodo}} = P_{\text{sat\_kpa\_an}} / 100$$

$$p_{\text{h2o\_in\_h2}} = n_{\text{h2o\_in\_h2\_in}} / n_{\text{h2\_in}}$$

"ratios estequiométricos"

$$S_{\text{h2}} = 1.3$$

$$S_{\text{o2}} = 1.5$$

$$r_{\text{o2}} = 0.21$$

$$r_{\text{o2\_in}} = 0.2095$$

"!DATOS"

"constantes"

$$F = 96485 \text{ [C/elentron-mol]}$$

$$R = 8.314 \text{ [J / mol-K]}$$

$$PCS_{\text{h2\_in}} = \text{HigherHeatingValue(H2)}$$

$$PCI_{\text{h2}} = \text{LowerHeatingValue(H2)}$$

"presiones parciales"

$$P_{\text{h2}} = 2.5$$

$$P_{\text{air\_in}} = p_{\text{o2}} / 100$$

$$P_{\text{o2}} = P_{\text{air\_in}} * x_{\text{o2\_aire}}$$

$$P_{\text{n2}} = P_{\text{air\_in}} * 0.79 * (1 - x_{\text{h2o\_aire}})$$

$$P_{\text{h2o}} = P_{\text{air\_in}} * x_{\text{h2o\_aire}}$$

"parámetros de la pila "

$$A_{\text{cell}} = 265$$

$$T_{\text{cell}} = 273.15 + T_{\text{cell\_C}}$$

$$T_{\text{cell\_C}} = 80$$

$$xT_{\text{cell\_C}} = T_{\text{cell\_C}} - 69$$

$$I = i_{\text{rho}} * A_{\text{cell}}$$

$$n_{\text{cell}} = 330$$

$$I_{\text{n\_cell}} = I * n_{\text{cell}}$$

"Pesos moleculares"

$$M_{\text{h2}} = 2.01$$

$$M_{\text{o2}} = 31.99$$

$$M_{\text{n2}} = 28.013$$

$$M_{\text{h2o}} = 18.01$$

$$M_{\text{aire}} = 28.96$$

"!humedades"

"másica"

$$x_{\text{m}} = m_{\text{h2o\_in\_air\_in}} / (m_{\text{air\_in}} + m_{\text{h2o\_in\_air\_in}})$$

"molar"

$$x_{\text{h2o\_aire}} = n_{\text{h2o\_in\_air\_in}} / (n_{\text{air\_in}} + n_{\text{h2o\_in\_air\_in}})$$

$$x_{\text{o2\_aire}} = n_{\text{o2\_in}} / (n_{\text{air\_in}} + n_{\text{h2o\_in\_air\_in}})$$

"total en celda a la entrada contando la generada"

$$x_{\text{masico\_agua\_celda}} = (m_{\text{h2o\_in\_air\_in}} + m_{\text{h2o\_in\_h2\_in}} + m_{\text{h2o\_gen}}) / (m_{\text{air\_in}} + m_{\text{h2\_in}} + m_{\text{h2o\_in\_air\_in}} + m_{\text{h2o\_in\_h2\_in}})$$

**"!potencia y voltaje"**

$$V_{fc} = V_{cell} * n_{cell}$$

$$P_{dot} = V_{fc} * I$$

$$P_{rho\_dot} = V_{cell} * i_{rho}$$

**"para representar pérdidas"**

$$\Delta V_{act} = - V_{act}$$

$$\Delta V_{ohm} = - V_{ohm}$$

$$\Delta V_{conc} = - V_{conc}$$

**"!compresor"**

$$W_{compresor} = 1.005 * T_1 * (1 / \text{rendimiento\_compresor}) * (RC^{(2/7)} - 1)$$

$$W_{dot\_compresor} = W_{compresor} * (m_{air\_in})$$

$$W_{dot\_compresor\_rho} = W_{compresor} * (m_{air\_in\_rho})$$

$$\text{rendimiento\_compresor} = 0.7$$

**"entrada"**

$$p_1 = 101.31$$

$$T_{amb} = 25$$

$$T_1 = T_{amb} + 273.15$$

$$T_{01} = T_1$$

$$p_{01} = p_1$$

$$RC = p_{02}/p_{01}$$

$$RC = 2.3$$

**"relación isentrópica"**

$$1/RC = (T_{01} / T_{02})^{(7/2)}$$

$$T_{02\_C} = T_{02} - 273.15$$

**"!BALANCE DE MATERIA, (gramos/segundo) "**

**"!entrada"**

**"hidrógeno"**

$$m_{h2\_in} = S_{h2} * (M_{h2} / (2 * F)) * I * n_{cell}$$

$$n_{h2\_in} = (S_{h2} * I * n_{cell}) / (2 * F)$$

**"aire"**

$$m_{air\_in} = m_{o2\_in} + m_{n2\_in}$$

$$n_{air\_in} = ((S_{o2}/r_{o2}) * I * n_{cell}) / (4 * F)$$

$$m_{air\_in\_rho} = (S_{o2} * (M_{o2} / (4 * F)) + S_{o2} * (M_{n2} / (4 * F))) * ((1-r_{o2\_in}) / r_{o2\_in}) * i_{rho}$$

**"nitrógeno"**

$$m_{n2\_in} = S_{o2} * (M_{n2} / (4 * F)) * ((1-r_{o2\_in}) / r_{o2\_in}) * I * n_{cell}$$

**"oxígeno"**

$$m_{o2\_in} = S_{o2} * (M_{o2} / (4 * F)) * I * n_{cell}$$

$$n_{o2\_in} = m_{o2\_in}/m_{o2}$$

**"vapor de agua presente en el aire"**

$$m_{h2o\_in\_air\_in} = (S_{o2} / r_{o2}) * (M_{h2o} / (4 * F)) * ((f_{i\_ca} * P_{sat\_kpa\_ca}) / (P_{ca} - f_{i\_ca} * P_{sat\_kpa\_ca})) * I * n_{cell}$$

$$n_{h2o\_in\_air\_in} = ((S_{o2}/r_{o2}) * I * n_{cell}) * ((f_{i\_ca} * P_{sat\_kpa\_ca}) / (P_{ca} - f_{i\_ca} * P_{sat\_kpa\_ca})) / (4 * F)$$

```

T_ca_1 = MINIMO(T_02,T_ca)
P_sat_ca = exp ( a * T_ca_1^(-1) + b + c * T_ca_1 + d * T_ca_1^(2) + e * T_ca_1^(3) +
f1 * ln(T_ca_1) ) " en Pa"
P_sat_kpa_ca = P_sat_ca * 0.001
"constantes"
a = -5800.2206
b=1.3914993
c=-0.048640239
d=0.41764768e-4
e=-0.14452093e-7
f1=6.5459673

```

"!generado"

```

m_h2o_gen =( M_h2o / (2*F) ) * I * n_cell
n_h2o_gen = ( I * n_cell ) / ( 2 * F )

```

"!salida"

"aire"

```

"m_air_out = ((S_o2-1)*M_o2 + S_o2*(1 - r_o2_in / r_o2_in)) * I * n_cell / (4*F)"
m_air_out=m_n2_out+m_o2_out

```

"nitrógeno"

```

m_n2_out = m_n2_in

```

"oxígeno"

```

m_o2_out = (S_o2 - 1) * (M_o2 / (4 * F)) * I * n_cell

```

"!vapor de agua"

```

m_h2o_in_air_out = m_h2o_in_air_in + m_h2o_gen + m_h2o_ElectroD -
m_h2o_BackD

```

```

m_h2o_in_air_out = m_h2o_in_air_out_LIQ + m_h2o_in_air_out_VAP

```

```

m_h2o_in_air_out_VAP = MINIMO ( vap_aire , m_h2o_in_air_out )

```

```

vap_aire = ( (S_o2-r_o2_in) / r_o2_in ) * (M_h2o / (4*F) ) * (( P_sat_kpa_ca) / (P_ca -
delta_P_ca -P_sat_kpa_ca ))* I * n_cell

```

```

delta_P_ca = 10

```

```

epsilon = 0.05 "porcentaje de agua generada que tiene arrastre electroosmotico"

```

```

betha = 1.5 "poccentaje de difusión inversa con respecto la electroosmotica"

```

```

m_h2o_ElectroD = epsilon * ( M_h2o / F ) * I * n_cell

```

```

m_h2o_BackD = betha * M_h2o_ElectroD

```

"hidrógeno"

```

m_h2_reac = m_h2_in - m_h2_out

```

```

SS_h2 = m_h2_reac / m_h2_in

```

```

m_h2_out = (S_h2-1) * (M_h2 / (2 * F)) * I * n_cell

```

"agua en hidrógeno"

```

m_h2o_in_h2_out = m_h2o_in_h2_in - m_h2o_ElectroD + m_h2o_BackD

```

```

m_h2o_in_h2_out = m_h2o_in_h2_out_LIQ + m_h2o_in_h2_out_VAP

```

```

m_h2o_in_h2_out_VAP = MINIMO ( vap , m_h2o_in_h2_out )

```

```

vap = (S_h2-1) * (M_h2o / (2*F) ) * (( P_sat_kpa_an) / (P_an - delta_P_an -
P_sat_kpa_an ))* I * n_cell

```

```

delta_P_an = 10

```

$$P_{sat\_kpa\_an} = P_{sat\_an} * 0.001$$

$$P_{sat\_an} = \exp ( a * T_{an}^{(-1)} + b + c * T_{an} + d * T_{an}^{(2)} + e * T_{an}^{(3)} + f1 * \ln(T_{an}) ) \text{ " en Pa"}$$

$$m_{h2o\_in\_h2\_in} = (S_{h2}-1) * (M_{h2o} / (2 * F)) * (( P_{sat\_kpa\_an} ) / (P_{an} - \delta P_{an} - P_{sat\_kpa\_an})) * I * n_{cell}$$

$$n_{h2o\_in\_h2\_in} = m_{h2o\_in\_h2\_in} / M_{h2o}$$

### "recirculación del h2"

$$m_{h2\_in} = m_{h2\_sumin} + m_{h2\_recir}$$

$$m_{h2\_out} = m_{h2\_recir} + m_{h2\_purga}$$

$$m_{h2\_purga} = m_{h2\_out} * \text{coeficiente\_purga\_nitrogeno}$$

$$\text{coeficiente\_purga\_nitrogeno} = 0.01$$

### "!BALANCE DE ENERGÍA"

$$\text{suma\_entalpias\_entradas} = P_{dot} + Q_{total\_dot} + \text{suma\_entalpias\_salidas}$$

$$\text{suma\_entalpias\_entradas} = h_{h2\_in} + h_{air\_in} + h_{h2o\_in\_air\_in} + h_{h2o\_in\_h2\_in}$$

$$\text{suma\_entalpias\_salidas} = h_{h2\_out} + h_{air\_out} + h_{h2o\_in\_air\_out} + h_{h2o\_in\_h2\_out}$$

### "ENTALPÍAS"

#### "!entrada"

"cp se expresan en J / GRAMOS - K , TEMPERATURAS EN CELSIUS"

$$cp_{h2\_in} = Cp(H2, T=T_{h2\_in\_K}) * 0.001$$

$$T_{h2\_in\_K} = 273.15 + T_{h2\_in}$$

$$T_{h2\_in} = T_{an}$$

$$T_{air\_in\_K} = 273.15 + T_{air\_in}$$

$$T_{air\_in} = T_{ca\_1} - 275.15$$

$$T_{h2\_out} = T_{h2\_in}$$

$$T_{air\_out} = T_{cell}$$

$$cp_{h2\_out} = cp_{h2\_in}$$

$$cp_{air\_in} = Cp(Air, T=T_{air\_in\_K}) * 0.001$$

$$cp_{air\_out} = cp_{air\_in}$$

$$cp_{h2o\_in\_air\_in} = Cp(Water, T=T_{air\_in\_K}, P=P_{h2o}) * 0.001$$

$$cp_{h2o\_in\_h2\_in} = Cp(Water, T=T_{h2\_in\_K}, P=P_{h2o}) * 0.001$$

$$cp_{h2o\_in\_air\_out} = cp_{h2o\_in\_air\_in}$$

$$\text{HigherHeatingValue} = \text{HigherHeatingValue}(H2) / 1000$$

$$cp_{o2} = Cp(Oxygen, T=T_{air\_in\_K}, P=P_{o2}) * 0.001$$

$$cp_{LIQ} = Cp(Water, T=T_{air\_in\_K}, x=0) * 0.001$$

$$cp_{VAP} = Cp(Water, T=T_{air\_in\_K}, x=1) * 0.001$$

#### "hidrogeno"

$$h_{h2\_in} = m_{h2\_in} * ( cp_{h2\_in} * T_{h2\_in} + PCS_0\_grados )$$

$$PCS_0\_grados = \text{HigherHeatingValue} - 25 * ( cp_{h2\_in} + 0.5 * ( M_{o2} / M_{h2} ) * cp_{o2} - ( M_{h2o} / M_{h2} ) * cp_{LIQ} )$$

#### "aire"

$$h_{air\_in} = m_{air\_in} * cp_{air\_in} * T_{air\_in}$$

#### "vapor de agua"

##### "en aire"

$$h_{h2o\_in\_air\_in} = m_{h2o\_in\_air\_in} * ( cp_{h2o\_in\_air\_in} * T_{air\_in} + h_{fg_0} )$$

$h_{fg\_0} = \text{Enthalpy\_vaporization}(\text{Water}, T=273.15) / 1000$

"en hidrógeno"

$h_{h2o\_in\_h2\_in} = m_{h2o\_in\_h2\_in} * ( cp_{h2o\_in\_h2\_in} * T_{air\_in} + h_{fg\_0} )$

"!salida"

"hidrógeno"

$h_{h2\_out} = m_{h2\_out} * ( cp_{h2\_out} * T_{h2\_out} + PCS\_0\_grados )$

"aire"

$h_{air\_out} = m_{air\_out} * ( cp_{air\_out} * T_{air\_out} )$

"vapor de agua"

"en aire"

$h_{h2o\_in\_air\_out\_LIQ} = m_{h2o\_in\_air\_out\_LIQ} * ( cp_{LIQ} * T_{air\_out} )$

$h_{h2o\_in\_air\_out\_VAP} = m_{h2o\_in\_air\_out\_VAP} * ( cp_{VAP} * T_{air\_out} + h_{fg\_0} )$

$h_{h2o\_in\_air\_out} = h_{h2o\_in\_air\_out\_LIQ} + h_{h2o\_in\_air\_out\_VAP}$

"en hidrógeno"

$h_{h2o\_in\_h2\_out\_LIQ} = m_{h2o\_in\_h2\_out\_LIQ} * ( cp_{LIQ} * T_{air\_out} )$

$h_{h2o\_in\_h2\_out\_VAP} = m_{h2o\_in\_h2\_out\_VAP} * ( cp_{VAP} * T_{air\_out} + h_{fg\_0} )$

$h_{h2o\_in\_h2\_out} = h_{h2o\_in\_h2\_out\_LIQ} + h_{h2o\_in\_h2\_out\_VAP}$

"!Potencia neta"

$W_{dot\_compresor\_real} = W_{dot\_compresor} / ( rend\_mecanico )$

$rend\_mecanico = 0.95$

$P_{aux} = W_{dot\_compresor\_real}$

$P_{neta} = P_{dot} - P_{aux}$

$W_{dot\_compresor\_rho\_real} = ( W_{compresor} * m_{air\_in\_rho} ) / rend\_mecanico$

$P_{neta\_rho} = P_{rho\_dot} - W_{dot\_compresor\_rho}$

$perdidas\_parasiticas = P_{aux} / P_{dot}$

"!rendimientos "

$rendimiento_{0.83} = ( v_{cell} / 1.482 ) * 0.83$

$rendimiento_{sh2} = ( v_{cell} / 1.482 ) * rend\_fuel\_utilization$

$rend\_fuel\_utilization = 1 / s_{h2}$

"del stack"

$rendimiento\_in = P_{dot} / ( m_{h2\_in} * 1e-3 * PCI_{h2} )$

$rendimiento\_sumin = P_{dot} / ( m_{h2\_sumin} * 1e-3 * PCI_{h2} )$

"del sistema"

$rend\_sistema\_in = rendimiento\_in * ( 1 - perdidas\_parasiticas )$

$rend\_sistema\_sumin = rendimiento\_sumin * ( 1 - perdidas\_parasiticas )$